

SԵԽՆԻԿԱԿԱՆ ԳԻՏՈՒԹՅՈՒՆՆԵՐԻ ՍԵՐԻԱ СЕРИЯ ТЕХНИЧЕСКИХ НАУК

ԵՄՔԱԳՐԱԿԱՆ ԿՈՂԵԳԵԱ

Այոնց Հ. Տ. (պատ. իսքրագրի պաշտոնակատար), Անունյան Ա. Կ., Դուսպարյան Ա. Մ., նգիազության Ե. վ., Կասման Մ. և հուդավերգյան Վ. Մ., հազարով Ա. Աիմոնով Մ. Ձ., Վ. (պատ. դար):

РЕДАКЦИОННАЯ КОЛЛЕГИЯ:

Адонц Г. Т. (п. о. отв. редактора), Ананин А. К., Гаспарян А. М., Егиазаров И. В., Касьян М. В., Наларов А. Г., Пинаотеян В. В. (оти секретарь), Симонов М. З., Худавердян В. М.

2 ИЗБИЦЦИ ПОР ТРЕПРЕЗПРИВЕР ИНПАРПРИЯТ БРАНИТЕР И З В Е С Т И Я А К А Д Е М И И И А У К А Р М Я Н С К О Я С С Р

Չելունկական գիտութ, ահշխա

X. Ag 6, 19a7

Серия технических наук

СТРОИТЕЛЬНАЯ МЕХАНИКА

а. г. назаров

О МЕХАНИЧЕСКОМ ПОДОБНИ ТВЕРДЫХ ТЕЛ И ЕГО ПРИМЕНЕНИИ К ИССЛЕДОВАНИЮ СТРОИТЕЛЬНЫХ КОНСТРУКЦИЙ И СЕЙСМОСТОЙКОСТИ СООРУЖЕНИЙ

Сообщение 2

В сообщении 1 были приведены: определение подобия твердых тел, основния теорема о подобии, некоторые следствия из нее, а тякже примеры, иллюстрирующие изложенное [1].

1. Температурные и усадочные напряжения в подобных телах

Нетрудно установить ряспределение температуры в теле A', если зядано распределение температуры и теле A, для обеспечения подобия их состояний. Для этого достаточно потребовать, чтобы относительные деформации z_t и z_t , вызванные приращениями температуры Δt и Δt в сходственных точках были подчинены условию

$$\varepsilon_t = \gamma \, \varepsilon_t$$
. (1)

Пусть коэффициенты линейных расширений тел А и А' соответственно равны с, и с. Тогда будем иметь соответственно

$$\varepsilon_{\tau} = \sigma_{\tau} \Delta t$$
.

$$\varepsilon_{v} = z_{v} \Delta t'$$
.

пян, учитывая (1) получим

$$\alpha_{\tau} \Delta t' = \gamma \alpha_{\tau} \Delta t$$
.

Отсюда найдем, что при заданном 24 распределение приращения гемпературы в теле А' должно подчиниться условию

$$\Delta t' = \gamma \frac{\alpha_r}{\alpha_r} \Delta t. \tag{2}$$

При этом условии обеспечивается подобие состояний тел А и А' аричем напряжения о п о' по-прежнему будут свизаны соотношением

$$z' = \beta z. \tag{3}$$

Для обеспечения подобия в распределении напряжений от отно-

сительных усадочных деформаций $I_{\rm pc}$ и $I_{\rm pc}$ необходимо, чтобы они также полчинялись условию

$$\mathbf{E}_{\mathbf{y}\mathbf{c}} = \gamma \mathbf{e}_{\mathbf{j}}$$
 .

2. Составные подобные тела

Пусты два различных тела A и B имеют общую поверхность соприкосновения и находятся в равновесии под действием приложенных к ним внешних сил. При отсутствии сил грения, взаимодействие обоих тел A и B имразится распределенными нормальными напряженнями p по поверхности контакта Σ_a . Если имеет место грение между соприкасающимися поверхностями, то по ими дополнительно позникнут тангенциальные пвиряжения π , в общем случае являющиеся некоторой функцией нормального напряжения, т. е. π f(p) [2, 3]. При законе Кулона f(p) — k есть постоянное число. Мы можем, наконец, допустить, что оба тела A и B спанны по их общей границе — Если устранить связи между обоими телами A и B, то по поверхности Σ_a обоих тел должны быть также определенным образом распределены нормальные и тангенциальные напряжения p и π и общем случае изменяющиеся во времени по некоторому закону

Преобразуем тело A в подобное тело A' при заданных масштабных множителях \mathbf{z} , \mathbf{B} , \mathbf{z} , \mathbf{z} , и при соблюдении условии теоремы 1 и се следствий (1, 2, 3, 4). Осуществим анвлогичное же преобразование тела B и тело B' при соблюдении тех же значений масштабных множителей. Тогда во всех сходственных точких обоих тел A' и B' включая и Σ' должим быть приложены нормальные и тангенциальные напряжения $p' = \frac{2}{7}p$ и $\tau' = \frac{2}{5}\tau$, при чем, при трении, $\tau'/3 = \int p'/3$.

Смещения точек поверхностей \bot обоих тел A' и B' отличаются от смещений сходственных точек поверхностей \bot в \beth раз. Отсюда следует, что в процессе деформаций тел A' и B' их поверхности \bot деформируются таким образом, что они постоянно должны совмещаться между собою, поскольку тикое же условие имеет место для поверхностей \bot тел A и B. Следовательно, A и B можем рассмитривать как некоторое тело C, а тела A' и B' как тело C' подобное телу C. Из изложенного пытекает, что на тела C и C' распространяется теорема I и ее следствия. Мы можем условно звинсать наш вывод, используя симполнку алтебры

$$A + B = C,$$

$$A' - B' = C'.$$

Вывод этот риспространяется и на систему гел A_1 , A_1 ..., A_4 ..., имеющих между собою общие границы, вдоль которых они взаимодействуют указанными выше способами. Таким образом, в общем случае, мы можем рассмотреть составные полобные гела

^{*} В частности при законе Кулона k' = k.

$$A_1 + A_2 + \dots + A_i + \dots = C,$$

 $A'_1 + A_4 + \dots + A_I + \dots = C',$

при одинаковых, конечно, масштабных множителях для всех гел A, Отметим, что в сообщении 1 нами было дано такое определение полобных тел, что под ними можно подразуменать и составные тела. Здесь мы лишь сияли ограничение, наложенное нами на подобные тела, заключающееся в требовании непрерывности изменения механических свойсти с изменением координат, для возможности доказательства теоремы 1 по избранному нами пути. В частности, отсюда вытекает, что составные подобные тела могут включать в себе шарнирные, болтовые, нагельные, закленочные иноночные и тругие соединения. Для составных подобных систем подобне их состояний полностью обеспечивается условнями теоремы 1 и ее следствиями (1, 2, 3, 4). Легко это иллюстрировать непосредствению на сущестнующих теориях (см. ницр. [4]).

Здесь мы рассмотрим частный пример подобия составного стержня. Пусть тело A представляет собою стержень кольцевого сечения с внутренним раднусом R_1 , наружным раднусом R_2 , причем упругие постоянные его E_1 п v_1 . В этот стержень внаян круговой стержень с упругими постоянными E_2 п v_2 . Таким образом стержень состоит из материалов с различными модулями Юнга E_4 и различными коэффициентами Пувссона v_1 . Положим, что этот стержень растянут влоль своен оси симметрии, принимаемой за ось z, продольными напряжениями z_2 , тогда имеем |5|:

$$= \frac{PF}{S_E K_{\rm SS}} \quad (i = 1, 2), \tag{7}$$

$$S_6 = = |R| E_1 + (R) - R||E_2||$$
 (8)

$$K_{33} = \frac{4\pi \left(\nu_1 - \frac{1}{2}\right) \left(R - \frac{R}{2}\right) \left(R - \frac{R}{2}\right)}{(R^2 - R^2) \left(R^2 - \frac{R}{2}\right) \left(R^2 - \frac{R}{2}\right)}; \tag{9}$$

где

$$\alpha_1 - \beta_1 = \frac{2 (1 + \nu_i) (1 - 2\nu_i)}{E_i}; \tag{10}$$

$$= -\beta_0 = \frac{2 (1 + \nu_2) (1 - 2 \nu_2)}{E_1}$$
 (11)

$$\beta_1 = \frac{1 + F_2}{E_2} \tag{12}$$

P — осевая силя.

Смещения отдельных точек влоль оси z и вдоль осей x и у перпендикулярных этой оси равны:

$$= -\frac{xP}{S_E + K_{23}} = -\frac{v_l y P}{S_E + K_{23}} = \frac{P \cdot z}{S_E + K_{23}}$$
 (13)

При преобразованиях подобия имеем

$$P = \alpha^{2} \otimes P, E_{1} = \frac{\beta}{2} E, \quad i_{1} = y_{1}, \quad x' = \alpha x_{1}, \quad y' = \alpha y_{1}$$

$$z' = \alpha z_{1}, \quad R_{1} = \alpha R_{1}, \quad R_{2}' = \alpha R_{2}. \tag{14}$$

Из (8) следует, что

$$S_{\rm E} = -S_{\rm E_1} K_{\rm 3J}^{\rm I} = \frac{\alpha^{\rm s} \beta}{-} K_{\rm 33}.$$
 (15)

Из (71 следует, что

$$z_z = z_1 \cdot \frac{(\alpha^z \ \beta) \left(\frac{\beta}{\gamma}\right)}{\alpha^z \ \left(\frac{\beta}{\gamma}\right)} = \beta \ \sigma_z. \tag{16}$$

Из (13), например, для и следует

$$u_i = u_i \frac{(\alpha) \cdot (\alpha^5 \beta)}{\alpha^5 \beta} = \alpha \gamma u_i, \tag{17}$$

что находится в полном соответствии с изложенным выше выволом

3. Контактная задача для подобных тел

Случай контакта тел A и B по общей совмещающейся границе 🙎 был только что рассмотрен. Здесь разбираем случай, когда тела соприкасаются в отдельных точках или по очень малым площадкам, в результате чего по мере возрастания сил рзаимодействия площадка контакта возрастет . Таким образом размеры площадок контакта и распределение напряжений по этим плоциялкам находятся в зависимости от действующих на тела A и B сил. При преобразовании $\,$ гел Aи B в подобные гела A и B' мы должны потребовать, чтобы площалки контакта были бы подобны в сходетвенные моменты времен / п t' = 🐙 и при сходственных силах. Сохранение геометрического подобия между телами A и B с одной стороны, и A' и B' с другой стороны, в процессе деформации, возможно лишь при условий т 1 (следствие 8 теоремы 1). Преобразуя теперы теля А п В в тела А' и В вместе с их нагрузками при заданных 2, 3, 1, и повторяя те же рассуждения, что и в пункте 2 о распределении напряжений и перемещений в эоне контакта, мы придем к выводу о возможности обеспечения подобия состояний обоих тел при условии т = 1 и соблюдении теоремы 1 и ее следствий (1, 2, 3, 1)1.

Исследование показывает, что при собаюдении некоторого специального усжовия в зоме контакта, ограничение з = 1 можно снять.

Здесь мы не останавливаемся на вопросе о возможности дополнятельного влияния микроструктуры поверхностей в зоне контакта на распределение напряжений [6]. Отметим лишь, что подобие состояний можно обеспечить и в этом случае при требовании, чтобы микрошероховатость тел A' и B' отличалась также в 2 раз от микрошереховатостей тел A и B в зоне контакта.

Квк следует из предыдущего пункта, при наличви одинакового коэффициента трения между подобными парами тел (A,B) и (A',B'), подобне состояний не нарушается

Пример. Пусть два сферических тела, раднусы коих R_1 и R_2 , и упругие постоянные соответственно E_{i_1} и E_2 , прижимаются друг к другу силой нормальной к поверхности их соприкосновения. Относительное сближение обоих тел обозначим через Z_i , а раднус площадки контактв, ограниченной в занном случае кругом, обозначим через Z_i . Тогда имеем [7]

$$\int_{1}^{3\pi} \frac{P(1 + R_1 R_1 R_2)}{R_1 R_2}$$
 (18)

$$k = \frac{3}{16} \frac{9\pi^2}{R_1} \frac{P^0}{R_2} \frac{(R_1 - R_2)!}{R_1 R_2}$$
 (19)

$$k_1 = \frac{1}{\pi E_1}, \qquad k_2 = \frac{1}{\pi E_2} \tag{20}$$

Наибольшее давление $\sigma_{\rm o}$, имеющее место в центре контакта, равно

$$p_0 = \frac{3 P}{2 = a^*} \tag{21}$$

Рассмотрим теперь два сферических тела радиусы коих R и $R'=2R_2$ и упругие постоянные соответственно $E'_1=8E_1$, V_2 . Пусть оба тела прижимаются друг к другу силой P'=-2P. Легко установить, что

$$k_1 = \frac{k_1}{3}, \ k_2^1 = \frac{k_2}{3},$$
 (22)

$$a' = a \sqrt[3]{\frac{\left(\alpha^{2}\beta\right) \cdot \left(\frac{1}{\beta}\right) \cdot \alpha^{2}}{\alpha}} = a \ a, \tag{23}$$

$$\delta' = \delta \sqrt[3]{\frac{(\alpha^2 \beta)^2 \left(\frac{1}{\beta}\right)^2 \alpha}{\alpha^2}} = \alpha \delta, \tag{24}$$

и
$$p'_{0} = \frac{3P'}{2\pi a'^{2}} = \beta p_{0}.$$
 (25)

Полученные результаты нахолятся в соответствив с изложениым выше.

rae

4. Теорема 2 (об устойчивости подобных тел)

Пусть гело А при некотором значении внешних распределенных сил напряженностью око вышло на состояния устойчивого равновесня и приняло новую конфигурацию, отвечающую новой форме равновесия. для возможности уравновещивания внешних сил силами внутренними. Мы видим на основании следствия 8 георемы 1, что для обеспечения подобня состояний тел А и А' в данном случае необходимо, чтобы они и в деформированииом состоянии сохраняли геометрическое подобие, т е. должно быть поставлено грефование о равенстве масштабного множителя для деформаций единице (7 = 1). Если теперь тело А. принявиее новую конфитурацию, рассечь на элементы и эти элементы преобразовать при некоторых значениях 2, 9, у при ч = 1 и преобразованные элементы собрать в том же порядке, то получим тело А', геометрически полобное телу А и находящееся под дейстинем внешних распределенных сил напряженностью з' 3 - 3 Покажем, что нагрузка lpha является критической для тела A , r, e. т_{жр} = 5'. Известно, что критическое состояние характеризуется равенством работы внешних сил приращению энергии деформации при нереходе в новую форму равновесия.

Из следствия 9 теоремы 1 вытеквет, что работы внешных и апутренних сил для тела A' отличаются в a^a 3 раз по сравнения с телом A Следовательно эпергетический критерий устойчивости имеет место и для тела A'. Поэтому деиствительно должно быть $a_{np} = 3$ $a_{np} = 3$.

Итак, вели на тело A действуют внешние силы $z_{\rm ki}$, и $M_{\rm kip}$, вызвавшие его критическое состояние, то тело A' на основании следствий теоремы I также будет в критическом состоянии при

$$\sigma_{\rm kp} = \rho \, \sigma_{\rm kp}, \qquad \alpha \, \beta \, q_{\rm kp},
 \rho \, P_{\rm kp}, \quad M_{\rm kp} = \alpha \, \beta \, M_{\rm kps}$$
(26)

Пример. Для бруса A постоянного сечения с шарнирно—закрепленными концами имеем:

$$P_{+} = \frac{\pi^{2} EI}{I^{2}}.$$
 (27)

Тогда для бруса А' получим:

$$P_{\kappa\rho} = \frac{1}{p^2}$$

rae $E'=\beta$ $E'=\alpha'^4 J$, $I'=\alpha I$.

Подставляя эти значения в формулу [76] получим:

$$P_{\rm mp} = a^2 \, 9 \, P_{\rm mp} \,. \tag{28}$$

что находится в соотнетствии с доказанным выше.

Изложенный здесь критерий устойчивости годен для любых подобных тел при $\gamma = 1$ (при любых соотношениях между деформациями и напряжениями, при ползучести и старении) т. е. обладает большой

общностью. Для некоторых чистных случаев этот критерий известен [8, 9]*.

б. Теорема 3 (о трешинообразования в подобных телах)

Рассмотрим два подобных хрупких тела A и A' при некоторых значениях α , β , γ и γ и несущих распределенные нагрузки Q и Q' в соответствии с условиями теоремы 1 и ее следствии.

Если в теле 1 в какой-либо точке при *банном* напряженном состоянии предел прочности материала рамен $R_{\rm d}$, при котором начинается разрушение и этой гочке, то в ехолственной точке тела A' при подобном напряженном состоянии — 32 предел прочности материала равен $R_{\rm d}=3~R_{\rm n}$.

Пусть теперь нагрузка Q постепенно возрастает и при достижении ею значения $Q \leftarrow Q_0$, в некоторой точке тела. А достигнуто предельное напряженное состояние R_i . При постепенном росте нагрузки Q', приложенной к телу A' и достижении св. значения $Q' = Q_1 = \mathfrak{g}_{-Q_1}$ в схолственной точке a' также будет достигнуто предельное напряженное состояние $R_0 = \mathfrak{F} R_0$. Теперь, при дальнейшем приращении нагрузсь на величины соответственно $\Delta Q'$ и $\Delta Q_1 = \mathfrak{F} \Delta Q_1$, где ΔQ_1 очень малот величана, возможны два случая. Первый случай заключается в том, что тело A разрушается полностью. В этом случае должно полностью разрушиться и тело A' в силу однозначного их соответствия. В этом можно убедиться также доказательством от противного, которое мы применяли выше.

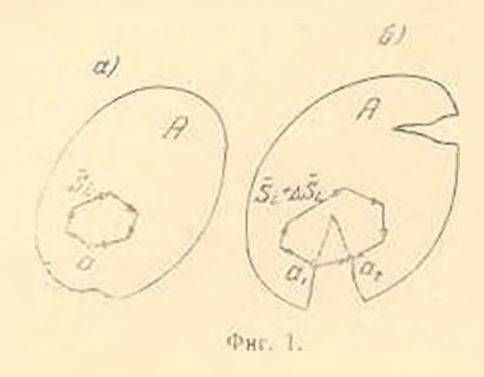
Рассмотрим теверь второй случай. Пусть тело A при нагруаке $Q_1+\Delta Q_1$ дало грещину, прохолящую через точку a в каком-либо направлении и заканчивающуюся в точке b. Тогда и тело A' при нагрузке $Q_1+\Delta Q_1$ даст грешину проходящую через сходственную гочку и в сходственном направлении и которая должна заканчиваться в точке b' в силу все той же однозначности соответствий тел A и A'.

Давая дальнейшие приращения нагрузок ΔQ_a , ΔQ_a ... на тело A и соответственио $\Delta Q_c=3\Delta Q_a$, $\Delta Q_a=3\Delta Q_a$ на тело A', мы убедимся, что трещины в телах A и A' должны расположиться подобным образом.

Установим теперь соответствия в ширинах раскрытия трещии в телах A и A'. Пусть какая-либо точка a тела A_1 лежащая на пути прохождения трещины раскололась на точки a_1 и a_2 , оставинеся на противоположных берегах трещины (фиг. 13 и 1 6)

Проведем через точку а замкнутую ломаную линию, состоящую из малых направленных отрезков s_t , расположенную таким образом, что она пересекает только одну трещину (ср. фиг. 1а, б). Фиг. 1а, представляет тело, к пачалу загружения; фиг. 16 представляет тело, которое было загружено и в ней лоявились трещины. В состоянии (а) очевидно, что

^{*} В силу однодначности спответствий между телами A и A при t=1, к условию t26 приводят и другие кризерии устойчиности.



$$\Sigma s_i = 0.$$
 (29)

После приложения нагрузки, развития деформации и возникновения трешины, каждый элементарный направленный отрезок с получил приращение Δs_i . В силу возникновения трешины, теперь геометрическая сумма новых векторов s_i — Δs_i , должна быть равна

$$Y(s_i + \Delta s_i) = a_1 a_2.$$
 (30)

Имея ванду (29 получим

$$-\Delta s_i = a_1 a_3. \tag{31}$$

Проведем теперь сходственную ломаную со сторонами

в теле A'. После деформаций и возникновения трещины в теле A', в соответствии с теоремой 1, приращения векторов s_i будут ранны

$$\Delta S_i = \alpha \circ \Delta S_i \tag{33}$$

Геометрическая сумма векторов s_{c} , Δs_{c} должна равняться ширине раскрытия трещины в сходственной точке α' равная $\alpha = 0$. Таким образом

$$\Sigma(s_i - \Delta s_i) = a_1 a_2.$$

Учитывая (29), (31), (32) и (33) получим, что

$$a_1 a_2 = a_1 a_1 a_2$$
. (34)

Итвк, мы доказали следующую теорому: при выполнении условий теоремы I и ее следствий (1, 2, 3, 4), трещины в подобных телах располагаются подобно, причем ширины раскрытия трещин в теле А отличаются от ширины раскрытия трещин в теле А в 27 раз.

Пример. В качестве примера приведем результаты теории трещинообразования у железобетонных балок, данную В. М. Мурашовым [10, 11].

Пусть тело 4 представияет железобетонную балку. Тогда расстояние $I_{\rm rp}$ между ближайшими трещинами определяется по формуле

$$I_{\rm tr} = \sup_{\tau \in \Pi_{\theta}} n_{\theta} = \frac{d}{4} \sup_{\theta \in \Pi_{\theta}}$$
 (35)

Злесь

$$\varphi_{\rm rp} = -\frac{W_{\rm ep}}{W_{\rm a} n_{\rm p}} - 1, n_{\rm p} = \frac{E_{\rm a}}{E_{\rm e} (1 - k_{\rm p})},$$

$$W_{1p} = \frac{M_{1p}}{z_{11}} , W_{a} = \frac{M_{a}}{z_{a}}. \tag{36}$$

М р — момент внутренних (или внешних сил относительно моментной точки, расположенной в сжатой зоне сечения;

М. - то же, после появления грещин;

время в прайнем волокие растянутой зоны бетопа;

💈 напряжение в растянутой арматуре;

Е. – модуль упругости арматуры:

 $E_b = модуль упругости бетона;$

 ${\cal L}_p = -$ — коэффициент илистичности при растижении:

R_p - предел прочности бетона при растяжении:

тредел прочности сцепления прматуры с бетоном;

м — коэффициент полноты эпюры сцепления.

Для балки А' соответственно имеем

$$I_{\rm p} = \sigma_{\rm p} n_{\rm p} \frac{d'}{4} \frac{R_{\rm p}}{\sigma_{\rm p}} \tag{37}$$

гле

$$m_{p} = \frac{W_{a} - 1}{W_{a} - n_{p}} - 1 = \pi .$$

$$m_{p} = \pi , \qquad \omega' = \omega, \qquad (38)$$

$$W_{\tau p} = \alpha^{3} W_{\tau p}, \qquad \tau_{e a} = \beta \tau_{e a},$$

$$W'_{a} = \alpha^{3} W'_{a}, \qquad R_{F} = \beta R_{p},$$

$$d' = \alpha d$$
.

Подставляя все эти значения в (37), найдем

$$l_{\rm i} = 2 l_{\rm ip} \,, \tag{39}$$

т. е действительно имеет место подобие в расположении трещни в балках A и A^{\prime} .

Ширина раскрытия трещин для балки А определяется формулой

$$a_{1p} = b_{1p} = l_{1p}. \tag{40}$$

где

$$\psi_{12} = (\psi - \omega_1 \cdot \pi_0) \frac{\sigma_0}{\sigma_d} \right), \tag{41}$$

$$\dot{\gamma} = \frac{t_{+}}{\epsilon_{+}}.\tag{42}$$

средняя деформация прматуры.

ға— деформяция арматуры.

Ширина раскрытия трешии для балки А' определяется формулой

$$a_{\rm th} = \theta_{\rm tp} = \int_{-\infty}^{\infty} I_{\rm tp}$$
 (43)

rae

$$\phi_{\rm rp} = \phi_{\rm rp}, \quad \sigma_{\rm s} = \beta \ \sigma_{\rm s}, \quad E_{\rm s} = \frac{8}{4} \ E_{\rm s}, I_{\rm rp} = \alpha \ I_{\rm rp}, \quad (44)$$

Подставляя эти значения в (43) получим

$$a_{1p} = \alpha \gamma \ a_{1p}, \tag{45}$$

что нахолится в соответствии с доказанной теоремой.

б. Полобие предельных состояний

Пзложенное выше дает основание заключить, что для подобных тел, при статическом загружении по любому закону, удается обеспечить подобие предельных состояний по несущей способности, по деформации и по трещинообразованию (12, 13). Для этого необходимо, в конечном итоге, соблюсти условия основной теоремы и се следствий (1, 2, 3, 4) при дополнительном требовании и 1 в случае рассмотрення контактной задачи или задачи об устойчивости.

Приктический реализации гакой возможности приведет к тем лучным результатам, чем гочнее соотношение между оригиналом и моделью будет приближаться к соотношению между подобными телами в соответствии с их определением.

Как правило, требуется преодоление больших грудностей в технологии изготовления моделей и в технике экспериментирования иля достижения удовлетворительных результитов. г. е. получения возможности достаточно точного перевода с языка модели на язык оригинала.

Нам представляется естественным следующий путь. Вначале надо добиться достаточно точного подобия между отдельными элементами оригинала и модели, а потом уже строить модель любой сложности.

Например, если путем подходящего полбора материала и технологии сможем изготовить модель кладки, достаточно точно отображающую прочностные и деформативные свойства изтуральной кладки, и смысле осуществления подобия гвердых тел, го с помощью этой модели кладки можем построить модель сооружения любой сложности (напр. здания), испытание которого даст достаточно удонлетворительную информацию о поведении соответствующего сооружения и натуре.

Следует также иметь винду грудности моделирования сил тяжести. Наиболее совершенный путь это исследование моделей на центрофуге (14, 15).

Можно, однако, в ряде случаев осуществлять приближенное моделирование объемных сил, достаточно гочное для практики. Затронутые здесь вопросы требуют специального изучения и мы к ним вернемся.

7. Дополнительное замечание

Анализ размерностей применительно к задачам механики приводит к требованию о независимости грех механических величия. За таковые, например, применительно к твердым гелам мы можем прииять длину, напряжение и время. Все остальные механические челичины можно выразить через эти три величины. Им отвечают множители подобия 2, 3 и 🐧 Применение нашего способа анализа подобия состояний привело к возможности получения четвертои независимон величны - относительной деформации, которой мы привисали независимый множитель подобня т. Таким образом мы пришли к четырем независимым множителям подобия, что допускает к рассмотрению более широкую область подобия состояний мехапических систем. Некоторая дополнительная свобода сохраняется для тел в пределах закона Гука, даже ври $\beta = \gamma$, т. с. когда E' = E. Деиствительно, при этом мы имеем тривнальный случан з' 🔭 👢 когда прямолиненная зависимость между в и з афинио преобразуется сама на тебя при множителе 3. Поскольку отпосительная деформация - является величинов отвлеченной, то согласно требованию П-теоремы [16]. оня должия быть одинаковой для всех подобных тел, г. е. ; 1 Расхождение между нашими результатами и И-теоремой находит свол простое объяснение.

Вольное количество задач о твердых телах позволяет ограничиваться рассмотрением малых перемещений, при которых изменение конфигурации тела не имеет значения. В этих случаях можно наести два различных множителя подобия для размеров тела и для сло истремещений, неслотря на их одинаковую размерность. При принятои нами системе обозначений эти множители подобия суть х и хү. В тех случаях, когда имеет значение для описания состоящий твердых тел изменение их конфигурации в процессе деформаций, как это, например, имело место при разборе вопроса о точечном контакте тел или устойчивости, то мы бывали выпуждены принимать ; 1, что равносильно требованию сохранения геометрического подобия тел и процессе деформации. При соблюдении этого условия мы уже не ныходим за пределы 11-теоремы.

В последующем сообщении предполагаем подробнее остановиться из ряде моментов, связанных с подобнем состоянии твердых тел, протекающих во времени.

Институт стройматериалов и сооружений Министерства строительства Арминской ССР. Поступило 11.Х1.1957.

IL 9- GILVERING

ՊԻՆԳ ՄԱՐՄԻՆՆԵՐԻ ՄԵԽԱՆԻԿԱԿԱՆ ՆՄԱՆՈՒԹՑԱՆ ԵՎ ՇԻՆԱՐԱՐԱԿԱՆ ԿՈՆՍՏՐՈՒԿՑԻԱՆԵՐ ՈՒ ԿԱՌՈՒՑՎԱԾՔՆԵՐ ՍԵՑՍԾԱԿԱՑՈՒՆՈՒԹՅԱՆ ՄԵՋ ՆՐԱ ԿԵՐԱՌՄԱՆ ՄԱՍԻՆ

երկրորդ նազորդագրություն

Udhnhaid

Այս քենմային վերարերող առաջին հաղորդադրության մեր բերված էին՝ մարմինների նմանա իկան սահմանումը, նմանա իկան վերարերյալ հիմնական թեորեմը, վերջինեցս թիտոլ մի չանի հետև և ններ, ինչպես և չարադրված նյունի պարդարանող օրինակներ։

Սուլն աշխատանքը, հանդիսանալով ասաջին հաղորդադրության բարունակաթիրոնը, իր մեջ շոշափամ է նման մարմիններին վերաբերող մի դանի այլ ինդիրներ։

Ջերմային և կծկումային լարվածությունները նման մարմիններում։
Որպեսյի A և A մարմինների համար արված ջերմային պայմաններում նմանության վրճակը պահպանվի, ապա ավյալ մարմինների հարարերական դեֆոլոմացիաները պետք է լավարարևն (1) բանաձևին։ Այդ դեպքում լարվածաթիլունները կապված կլինեն (3) հարարերաթիլամբ, իսկ լարվածաթիլան րաշխամը կձկամային պատմանից ելնելով պետք է բավարարի (1) բանաձեին։

խաղակցված նման մարմիններ։ Դիտված ևն A ու B և A' ու B' իրար նման րազակցված մարմինները իրևնց համապատասկան Σ_0 և Σ_0 հպման մակերևալիններով, մի դեպքում երը այդ բաղակցված մարմնի մեջ նրանց բաղակցման մակերևալինում շվում դուտիրան ունի, մլուս դեպքում երը միայն առկա է խորմալ լարվածությունը։

Վիրափոխնլով A մարմինը A նման մարմնի, նախապես արված շ, ձ, լ. լ. մասչատրային ժեծախլաներով և նայնաթյամբ վարվելով B և B' մարմինների նկատմամբ, պաշտպանելով առաջին թեարեմի պարմանները հաթելի է ցույց տալ, որ A ու B և A' ու b բաղակցված ժարմինները կարող հեւ մինել իրար նման մարժիններ՝ հիմքում անենալով (5, հավասարաթելանը։ Այս գրույթի կարևլի է աարածել և այնալիսի մարժինների վրա, որոնջ բաղակցված են մի ջանի ժարժիններից (աևս Իրանաձեր), ըստ որոնք թադակցումը իրականացվում է տարրեր նղանակներով՝ չարնիրային, չեղալաալին, հրիթային, դամային և այլն Բերված մասնավոր օրինսվի վրա պարզաբանված է ներկա գրույթի իսկա թվանը։

Կոնտակաային խնդիբը նման մարմինների համար։ Ար խնդիրը հախորդից տարրերվում է նրանով, որ մարմինների կոնտականները ծորման մարկրեսները վերցվում են կամ որպես կետուլին ծորոմ, կամ էլ որպես չափազանց փութը մակերեսներով ծպում։ Սակայն կրկնելով նույն դատողաթիլունը ինչ որ նախորդ պարագրաժիում է, մենւջ կհամեներ այն բանին, որ (Վ. B) և (Վ. B) նման մարմինների մոտ կարող ննչ ոսանալ միանման վիճակներ։ Այստեղ, իծարկե, կոնտակաի դոնտլում միկրոստրուկատրայի ծնարավոր աղդե

ցութիրանը լարվածության ըստիչման վրա չի դիաված։ Սակար արդ հանդաժանթը իրևնից առանձին րարդություն ուն չի ներկայացնում և այն է ծաչվի առնել, ընդունելով, որ A և B մարմինների ժոտ ժիկավարդուրորդութիրանները տարրերվում են A և 8 մարմինների ժոտ եղածից չ անդամ։

Sighting of the deplace of the site.

Երկրորդ թնորհել էնքուն մարմինների կայունության մասին)։ Թող A ժարժինը ինչ որ 2. լարվածության դեպքում հնիկարկվել է դեֆորժա-ցիայի դուրս է հկել կայուն հավասարակչութիրն վիճակից, ընդուներվ նար ձև արտաքին ուժերին հավասարակչության համար Արդ դեպ-րում առաջին թեորեմի 8 հետևաթիան հիման վրա A և A մարժինների նմանաթիան ապահովման հունար պետք վիրջըններո դեֆորժացիութի են։ Թարկված վիճակում պատարանն իրենց երկրությունական նմանութիրությ

Մարուննելով է ՀՀ, ապացություն է, որ է թևոնվածությունը \!\

Ճարժնի համար կրիակկական է։ Առաջին թևորևժի 9 հետևությունից

հրևում որ \ մարժնի համար ներթին և արտաքին ուժերի կատարաժ

աշխատանքը \ մարժնի հայնանժան աշխատանքից տարրերված և x¹5 ան
դամ։ Հետևարար, կայանաթիրմն էներգիակվական չափանիչը տեղի ունի և

\ մարժնի համար, որի գեպրում պետք է լինի 25 3... հավասարաթիրմը։

Ալնահետև ցալց է արված, որ եթե A ժարմնի վրա ազդող z_{aj} , q_{ap} , p_{ap} , M_{ap} ժեծախիրւնները ավյալ ժարժնին բերում են կրիակերկան դրաթյան, ապա A ժարժինը կշասնի նում վիճակի, եթե բավարարվեն (26) հավասարախիրանները։

Վարտում ընթված է ձողի կրիտիկական ընտի տակ ծաչվման օրինակը։
Երրորդ թնորներ (նման մարմիններում ճարառաջացման մասին)։ Եթե
Վ մարմնի մի որևէ | կետում տվյալ լարվածային վիճակի ճյութի տմրավում առմանը Ա. է, որի դեպքում այդ կետում սկսվում է քայքայումը, ապա A՝
մարմնի նույնանուն | կետում նման չ 32 լարվածային վիճակում նյութի
ամրաթիլան սահմանը ծավասար է R' - Եթե և և և մարմինների վրա
ծաժապատասխանարար թեռնվածաթիլունները մեծացնենը
. ուպա ճարավոր և երևա դեպք՝ կամ երկա մարմինների նման կետերում տեղի կունենա թայքայում, կամ կառաջանան ճա թո է և տ որում ճարր
A մարմնան կատրածվի () կետից մինչև և, իսկ A մարմնան՝ () -ից և հետնրվածաթիլան հասարա ավերացումը կնպասաի ճարկըի րացման մեծացմանը։

Գծագրի 10 և 1 և դերված կառուցվան միջոցով ապացացված է առաջ բաշված քնարենը, այն է առաջին քնարենի պայմանների և նրա 1, 2, 3, և հետևուքվանների պատպանման դեպ բամ նման մարսիններում Հարևրը աաբաժվամ են նույնարար, ըստ արում A մարմնամ հայնիի բացման լայնդր տարրերվամ է A մարմնի ճարերի բացման լայնդից » անդամ:

Այս իներևմի կապակցախլամը օրինակ է բերված երկախրհանցա հեծաններում առաջաղող ճարիրի Վ. Մ. Մարաջոնի տեսուխյան արդյան ընհրից։

Սառմանային վիճակի նմանությունը։ *Նախորդում շարագրվածը խուլլ* տալիս կատարելու Տետելույ եզրակացությունը, նման մարմինների ճամար, ստատիկական եղանակով գտնկագած բեռնավորման դեպքում ննարավոր ելինում ապահովել սաճմանային վիճակների նմահությունը ըստ կրողականության, ըստ դեֆորմացիայի և ճաջառաջացման։ Գրա ճամար անճրաժեշտ

ե պաճալանել ճիմնական թևորհմի և նրա (1, 2, 3, 4) ճետհանրների պայմանները մի լրացուցիչ պաճանջով, այն ե՝ կոնտակտային խնդիրները կամ կայունության խնդիրները դիտելիս պետը և ընդունել գաւ

Ար ինդիրների իրադործումը կապված է րավականին մեծ դժվարուքունների ուղլ ու ան հետ, հատկապես մոզելների պատրաստման տեխնոյոցիայի և դրանց փուտարկման ասպարեզում։ Ընդոմին, որքան մողելի և որիցինայի հարաբերա լունը մոտենում է նման մայմին ևրի ձեռ հղած հարարերանվանը, այնդան ստացվու արդյունները հաշող են լինելու

ЛИТЕРАТУРА

- 1. Hosapos A. F. Massectus AH ApaCCP, rost X. man. 5, 1957.
- Трение и граничная смаяка, Сб. статей под ред. проф. П. В. Краченского, Изд. иностр. лит., М., 1953.
- Краченский И В., Шеорол В. С. Развитие науки о трении (сухое трение). Изд. АП СССР, М., 1956.
- Рисаницыя А. Р. Геория составных стержней строительных конструкций, Стройиздат. М., 1948.
- Мускелишении И. И. Пекоторые основные задачи математической теории упругости. Пад. четвергое. АП СССР. М., 1954.
- Штаермая И. Я. Контактная задача геории упругости. Гостехиздат. М.—Л., 1949.
- 7. Тимошенко С. П. Теория упругости. ОПТИ, ГТТИ, 1934.
- Рабанович И. М. Курс строизельной механики, часть П. Гос. илл. лит. но строит. и архит. М., 1954.
- 9. Штаерман И. Я. Вестник инженеров и техников, 1938, № 9.
- Муричев В. И. Трещиноустойчивость, жесткость и причим га железобетона. Машстроииздат. 1950.
- Сахновский К. Б. Железобетонные конструкции, мол. 7-ос. Гос. изд. лит. по строит. и архит., М.-Л., 1951.
- Расчет строительных конструкции по предельным состояниям. Под ред. В. М. Колдыша, Гос. илл. строит. литер. М.-А., 1951.
- Строительные пормы и правила, часть П. Гос. изг. лит. по. Строит. и прхит. М., 1954.
- 14. Давиденков Н. Н. ЖТФ, № 1, 1933.
- 15. Покровский Г. И. Центробежное моделиронание, ОПГИ, 1935.
- Седов А. И. Методы подобия и размерности в механаке. Изд. третье, Гос. изд. техн.-теорет. лит. М., 1951.

Տեխնիկական գիտութ

X. No 6. 1957

Серия технических паук

ГИДРАВЛИКА

В. Г. МИКАЕЛЯН, Г. А. АМБАРШУМЯН

О КОЭФФИЦИЕНТАХ РАСХОДА ПРИ ИСТЕЧЕНИИ ИЗ-ПОД ПЛОСКИХ ШИТОВ, ПЕРЕКРЫВАЮЩИХ КОРОТКИЕ ТРУБЫ

В прригационной практике большое значение имеет правильное определение величины расхода воды при истечении из-под щита, перекрывающего напорные водоводы при раздичных степенях открытия щита. В частности этот вопрос является актуальным при определении расхода воды, подаваемого потребителям через автомат-водовынуск системы Арм. НИИГиМ-1 [1]. Имеющиеся исследования в основном относятся к случаям истечения по трубе без регулирующего щити. Вопросы изменения величины коэффициента расхода, в зависимости от изменения отношения сторои входного сечения [5], создания условий обеспечивающих плавное изменение величины коэффициента расхода, в зависимости от степени открытия щита и т. д., еще окончательно не решены. Задачей данной работы является уточнение существующих зависимостей для определения величины коэффициента расхода в зависимости от степени открытия регулирующего шита, а также разработка способи обеспечивающего плавное изменение величины коэффициента расхода в зависимости от степени открытия щига при истечении в атмосферу.

Для определения величины расхода воды при истечении из-под щита, необходимо определить величину потерь, возникающих из-за сопротивления щита, пазов, расширения и сужения потока в системе водовыпуска и т. д.

Коэффициент расхода такой системы выражается зависимостью

$$p = \frac{1}{V G_{+} + G_{-}}, \quad (1)$$

где ... — сумма коэффициентов сопротивления (кроме цита), которую можно принять постоянной для данного водовода;

 коэффициент сопротивления шита, пазов и управляющих механизмов, который изменяется с изменением степени открытия щита.

Следовательно, величина ченет, изменяется с изменением коэффициента сопротивления ζ_0 щита, в зависимости от степени открытия щита.





Определение величины коэффициента сопротивления щита имеет вековую давность, вместе с тем все еще отсутствуют систематические исследонания и рекомендации по данному вопросу.

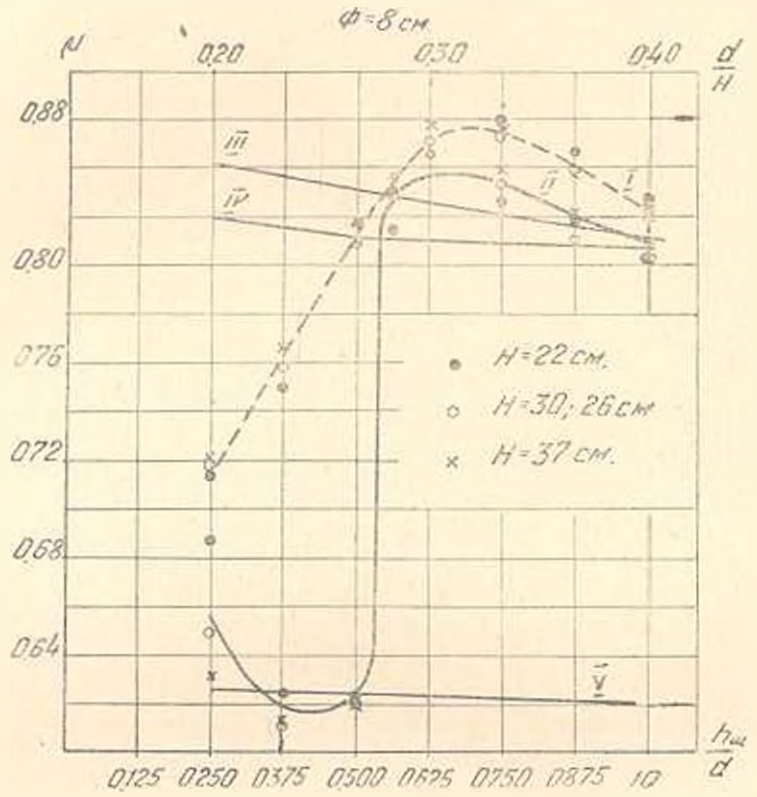


Рис. 1. Кривая I — затопленное истечение; II — спободное истеч име; $V = \mu = f\left(\frac{a}{H}\right), \quad n = 0.50.$

Экспериментальные значения коэффициента расхода, полученные для моделей малых масштабов (d=2,5-4 см), не универсальны и необходимо было или подтвердить эти результаты (для других размеров), или ввести соответствующие уточнения.

С этой целью нями и гидротехнической лаборатории Арм. НИП иМ в стеклянном лотке шириной 0,4 м, высотой от 0,4 до 1 м, длиной 8 м были поставлены исследования истечения жидкости через круглую трубу диаметром d=8 см и прямоугольные трубы соотношением сторон b/a=1 (a=b=7,8 см), b=2.35 (a=5 см, b=11,8 см) и b=3,25 (a=4,3 см, b=14 см). Длина исследуемых труб l=0.4 м. Трубы были расположены в боковой стенке лотка. Исследования произнодились при условии свободного и затопленного истечения. Анализ обработанных данных этих опытов показывает, что величина коэффициента расхода при различных открытиях щита для случая за-

топленного истечения изменяется более плавно и имеет большее значение, чем для свободного истечения (рпс. 1, 2, 3, 4). Увеличение

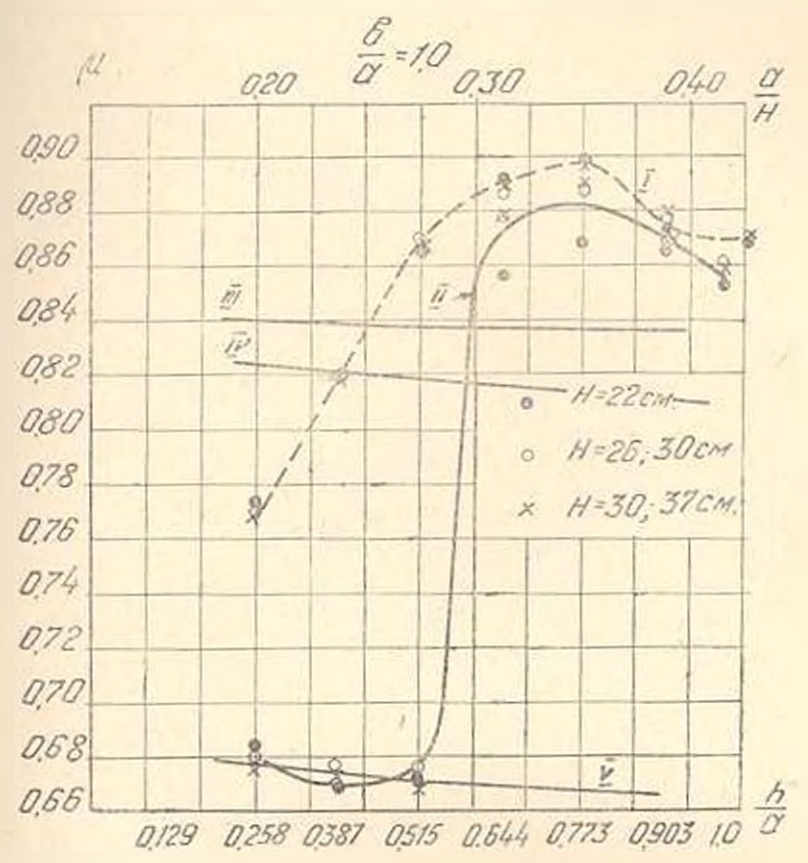


Рис. 2. Кривая 1— захопленное истечение; II — слободное истечение; III $n=0.62; \qquad n=1.0;$ $V-\mu=f\left(\frac{\pi}{H}\right), \quad n=0.55.$

коэффициента расхода получается порядка 13%. Рассмотрим в отдельности два принципиально различных случая, а именно случай свободного и затопленного истечения.

Свободное истечевие

Рассматривая наменение величины коэффициента расхода в зависимости от степени открытия щита (рис. 1, 2, 3, 4), установленного веред трубой, можно выделить следующие три зоны изменения коэффициента расхода истечения: истечение из отверстия (первая зона); неустойчивое истечение (иторая зона); истечение через насадок (третья зона).

Первая зона (истечение из отверстия): Случай, когда откры-

тие щита колеблется в пределах $0 < n \le 0.5$, где $n = \frac{h_{\rm min}}{a}$ ($h_{\rm min} = 0.5$), высота открытия щита, a = 0.5 высота трубы).

В этой зоне величина коэффициента расхода изменяется в зависимости от степени открытия шита. При небольших открытиях шита

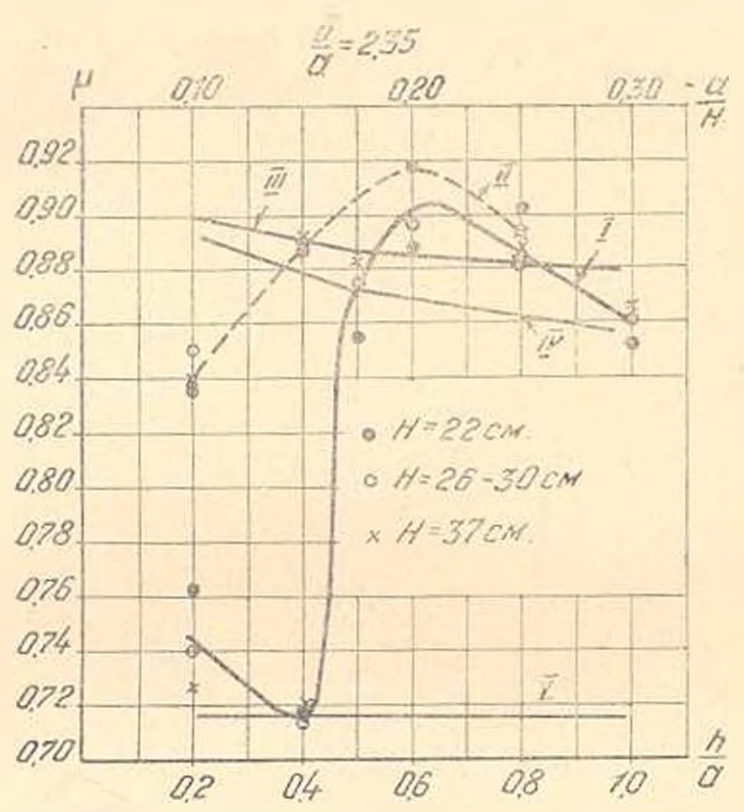


Рис. 3. Криная I — спободное истечение; II — затопленное истечение; III — $\mu = f\left(\frac{a}{if}\right), \quad n = 0.50;$ $V = \mu = f\left(\frac{a}{H}\right), \quad n = 0.40.$

рекст. имеет большое значение, а в цальнейшем, с унеличением открытия щита до n=0.5 р уменьшается трис. 1, 2, 3, 4) и доходит до своего минимального значения.

Большее значение величины и при перконачальных открытиях щита обусловлено сравнительно большим влиянием вакуума, нозникающего в начале трубы в зоне между струей и дном трубы (участок т на рис. 5). Влияние возникшего вакуума на струю малой высоты, каковое имеется при малых открытиях щита, больше чем на струю большей высоты (при больших открытиях щита).

Малые значения коэффициента расхода в первой зопе обусловлены тем, что при открытив щита до n=0.5 поток из бурного состояния (глубиной $h_{\rm c}$) переходит в спокойное состояние вне тру-

бы, не заполняя полностью сечение трубы. При длине трубы, превышающей испытание, возможно упеличение гидраплических со-

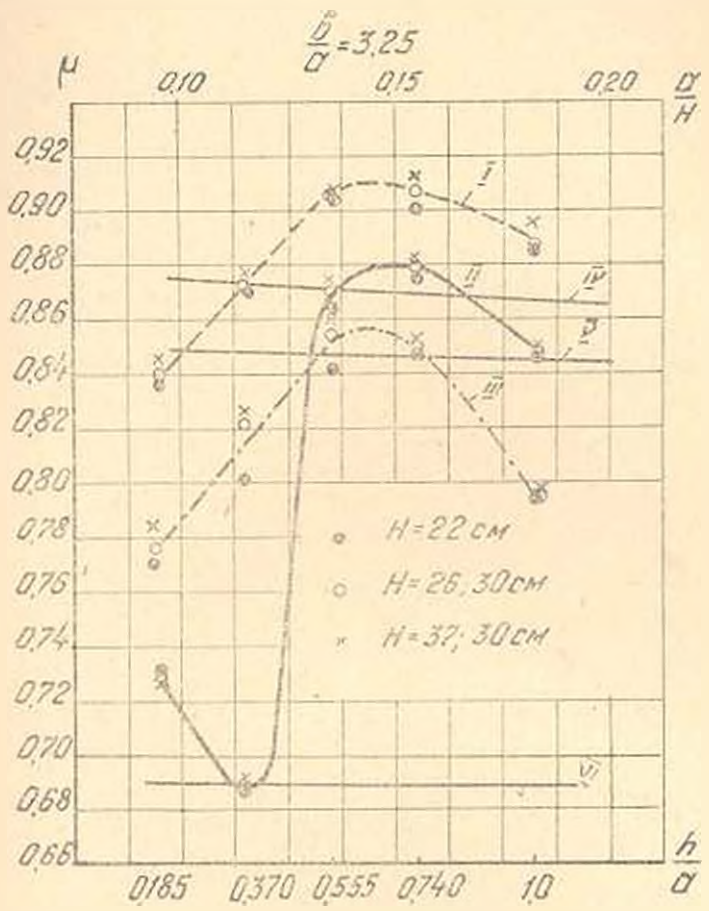


Рис. 4. Криван I — затопленное истечение; II — свободное истечение; III — дополнительное сопротивление; IV — μ = -n 0.55; V — μ = $f\left(\frac{a}{n}\right)$, n 1.0; VI — n 0.37.

противлений по пути потока и переход из бурного состояния в спокойное в пределах трубы (глубиной h_c см. рис. 5). Этим самым возн и кают условия образования и удержания вакуума в начале трубы, в о всему периметру, в результате чего увеличивается коэффициент расх ола.

Для практических расчетов необходимую длину трубы, при которой обеспечивается первая зона истечения, можно определить по метолу Муромова [2]. Трубы, у которых длина не влияет на величину пропускиой способности, называются короткими трубами. В зависимости от уклона, глина такои трубы [3] определяется следующими зависимостями:

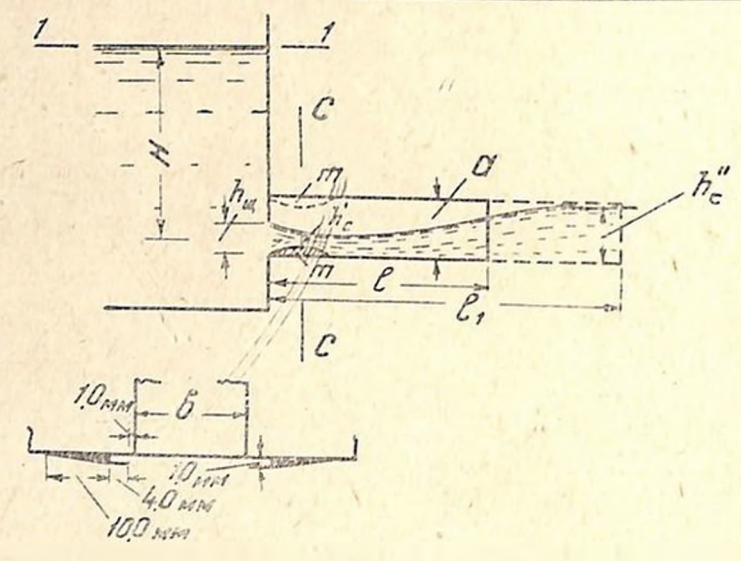


Рис. 5.

При уклоне трубы $i \approx 0$

 $4H \le l \le (64 - 163 \, m)H$

или

 $4 H \le l \le (106 - 270 \, m) \, h_{\rm K}$

где H — напор;

l — длина трубы;

m — коэффициент расхода;

 h_{κ} — критическая глубина в трубе.

В общем случае верхний предел длины определяется в зависимости от длины кривого подпора l_0 между глубинами h_c и h_κ (рис. 6). Предельная длина определяется как сумма трех величин $l_0 + l_{nx} + l_{cn}$, где для случая $0 \le i < i_\kappa$ (по данным Водгео) $l_{nx} \approx 53,3$. (0,385 — m) $h_\kappa \approx 32$. (0,385 — m) $H_{ij} = 1,2$ $H_{ij} = 1,3$ $H_{ij} = 1,4$ $H_{ij} = 1,4$ H

Вторая зона (неустойчивая): случай, когда открытие щита изменяется в пределах n = 0,4-0,6 (рис. 1, 2, 3, 4). В этой зоне изменение величины коэффициента расхода в зависимости от степени открытия щита претериевает разрыв непрерывности, т. е. изменение р происходит скачкообразно. Скачкообразное изменение и имеет при определенных открытиях щита (n = 0.4 - 0.6). При подъеме щита скачкообразное увеличение коэффициента расхода происходит в пределах n=0,4-0,6, а при спуске щита скачкообразное уменьшение μ происходит в пределах n=0,3-0,4. Из сказанного выше следует, что вторая зона является неустойчивой. В этой зоне имеет место процесс перехода от обыкновенного истечения из отверстия к истечению из насадка. Когда открытие щита находится в пределах n=0,4-0,6, переход потока из бурного состояния в спокойное происходит в трубе и труба, заполняясь полностью, начинает работать полным сечением. При работе трубы полным сечением у входа получается замкнутая зона (область m рис. 5), из которой течением воды отсасывается воздух, находящийся в этой зоне. Это приводит к возинкновению вакуума в начале трубы. Возникающий у входа в трубу вакуум (в зоне m) воздействует на сжатое сечение [5] струн и тем самым увеличивает его, по сравнению с сжатым сечением при истечении из отверстия. В силу этого, коэффициент расхода, при работе трубы полным сечением, получается больше, чем при работе неполным сечением. Разница между коэффициентом расхода насадки и отверстия составляет около $30^{\circ}/_{\circ}$. Этим и обусловлено скачкообразное увеличение коэффициента расхода при открытии щита в пределах n=0,4:0.6 (рис. 1,2,3,4).

Условия перехода от одного вида движения жидкости в трубе к другому, зависит кроме отмеченных факторов, также от длины трубы, шереховатости стенок и от величины относительного напора. Из даниых рисунка 5 следует, что при увеличении напора истечения, сжатое сечение вытекающей струи отодвинется вниз по течению от входа в трубу. Следовательно процесс перехода потока из бурного состояния в спокойное произойдет на значительном расстоянии от входа в трубу. В наших опытах изучалась зона a/H в пределах $0.11 \div 0.35$, имеющих практическое значение. При этих значениях a/H место сжатого сечения вытекающей струи оставалось в пределах длины испытанных труб. В частности, при n=0.4 этот процесс имеет место в пределах трубы, когда b/a=2.35 и 3.25; Для круглой и прямоугольной трубы при b/a=1, n=0.6 (рис. 1, 2, 3, 4).

Третья зона (истечение через насадок): Случай, когда короткая труба работает полным сечением, как насадок, при открытии щита в пределах $0.5 \le n \le 1$. В этой зоне коэффициент расхода, а также и величина вакуума у входа изменяется в зависимости от степени открытия щита и приобретает максимальные значения при n' = 0.75 (рис. 1, 2, 3, 4).

Высокое значение и при n=0.75 можно объяснить малыми гидравлическими сопротивлениями, возникающими в пространстве от входа в трубу до расширения потока в нем.

Как видно из кривых (рис. 1, 2, 3, 4), для одного и того же напора, при полном открытии щита величины р и vac. меньше по сравнению р и vac. при n=0.75.

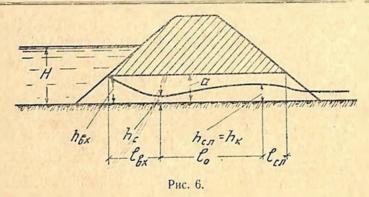
Действительно, из уравнення Бернулли, записанного для сечений 1-1 и С — С (рис. 6), имеем:

$$\frac{V_1^2}{2g} + \frac{P_a}{\gamma} + H_1 = \frac{P_c}{\gamma} + \frac{V_c^2}{2g} + h_{\tau p}. \tag{2}$$

Так как $V_{\rm c}^z=rac{V^z}{{
m s}^2},\,h_{
m 1p}=\zeta_{
m r.c.}\,rac{V^z}{2g}=rac{\zeta_{
m r.c.}}{{
m s}^2}\,rac{V^z}{2g}$ и кроме того $rac{V_{
m i}^2}{2g}$ по сравне-

нию с остальными величинами пренебрежимо мало, то для вакуума в силу (2) получим:

$$\frac{P_{\rm a}-P_{\rm c}}{\gamma}=\frac{V^{\rm s}}{2\rm g}\left(\frac{1+\zeta_{\rm r.c.}}{\epsilon^2}\right)-H_{\rm o}.$$
 (3)



Анализ уравнения (3) показывает, что при постоянных значениях $\zeta_{\text{т.с.}}$ и ϵ величина вакуума в трубе (в сжатом сечении) зависит от напора истечения, от коэффициента скорости и коэффициентов гидравлических сопротивлений, и при малых значениях потерь напора, величина вакуума будет больше¹. Одновременно, из уравнения (3) следует, что при высоком значении vac. потери напора (при различных открытиях щита и при одном и том же напоре) должно быть меньше, чем при малых значениях vac. Следовательно, коэффициент расхода трубы (насадки) при n=0.75 также должен быть больше при максимальном значении vac, поскольку потерь напора при этих значениях получается меньше, а величина μ в основном зависит от потерь напор. При работе трубы—пасадки полным сечением коэффициенты расхода и скорости будут равны и можно их определить из зависимости:

$$p = p = \frac{1}{\sqrt{1 + \zeta_{\text{t.c.}} + \zeta_{\text{B.p.}} + \zeta_{\text{t.p.}}}}.$$
 (4)

Величина коэффициента расхода круглой и квадратной трубы, как показали наши исследования, можно принять одинаковыми (рис. 7). Для прямоугольных труб при соответствующих открытиях щита, коэффициенты расхода почти не меняются и не зависят от соотношения сторон трубы — b/a (рис. 8). Поэтому коэффициент расхода при истечении из-под щита для прямоугольной трубы можно определить одной зависимостью (13).

На основании наших экспериментов величина коэффициента расхода прямоугольных труб (при соответствующих открытиях щита) больше круглых и квадратных труб.

Затопленное истечение

В этом случае изменение коэффициента расхода в зависимости от степени открытия щита происходит более плавно, не имеется скач-кообразных изменений и следовательно трех зон изменений (рис. 1, 2, 3, 4). Как видно из кривых (рис. 1, 2, 3, 4) величина коэффи-

¹ Полученные нами данные о величине вакуума у входа в труоу, в зависимости от степени открытия щита, здесь не приводятся. Подрооно об этом смотри [6].

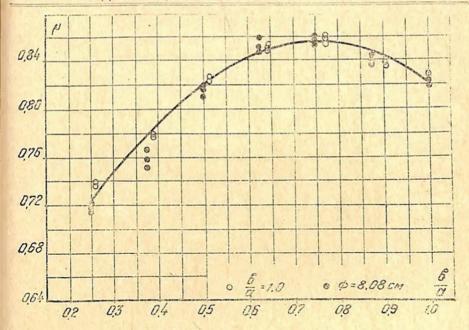


Рис. 7. Кривая на рис. вычислена по формуле:

$$\mu = \frac{1}{\sqrt{2.06 + \frac{1.05}{\epsilon^2} - \frac{2}{\epsilon} + 2.1 \left(\frac{1}{n} - 2\right)^2 + \zeta_{\text{TP}}}}$$

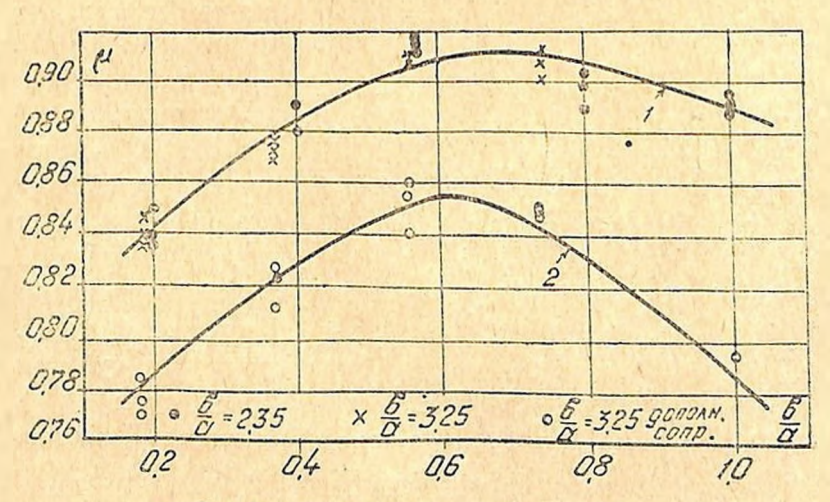


Рис. 8. Кривая 1 вычислена по формуле

$$\mu = \frac{1}{\sqrt{2,06 - \frac{1.06}{\varepsilon^2} - \frac{2}{\varepsilon} + 1.45 \left(\frac{1}{n} - n\right)^{\varepsilon} + \zeta_{\text{Tp.}}}};$$

$$\mu = \frac{\text{Кривив 2 — по формуле}}{\sqrt{2,254 + \frac{1,06}{\epsilon^2} - \frac{2}{\epsilon} + 1,75\left(\frac{1}{n} - n\right)^2 + \zeta_{1p}}}.$$

циента расхода при истечении из-под щита, в зависимости от степени открытия щита при затопленном истечении, обладает большим значением по сравнению со случаем свободного истечения во всей зоне.

Сравнительно большее значение р и плавное изменение коэффициента пои затопленном истечении объясняется тем, что выходная часть

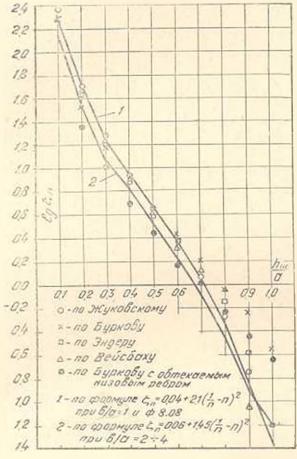


Рис. 9.

трубы затовлена и потому труба при всех открытнях шита работает как насадок. Результаты наэкспериментальных HIHX исследовании подтверждают правильность теоретических положений высказанных Н. Е. Жуковским (рис. 9). При всех степенях открытия щита и при соотношении сторон выпускного отверстия b/a = 1 опытные данные совпадают с теоретическими.

Для случая когда bia = 2 - 4, обнаружинается расхождение с данными теории.

Анализ показал, что при открытии щита, когда $n=0\pm0.85$, расхождение между ланными теории и опытов (кривая 2 на рис 9) можно объяснить прогибом кромки шита. Деформация кромки по существу увеличивает угол 6.

Выражение коэффициента гидранлического сопротивления, возникающего при наличии щита у входа в трубу можно написать в следующем виде [4]:

$$z_n = \left(\frac{1}{nz_n} - 1\right)^2. \tag{5}$$

гле 🖫 — коэффициент сопротивления, зависящий от степени открытия щита:

$$n = \frac{h_m}{\mu}$$
 — степень открытия щита:

5n — коэффициент вертикального сжатия потока, зависящий от степени открытия щита.

В урявиении (5) неопределенной величиной является только €_п. Теоретическое значение €_п и зависимости от открытия щита, при свободном истечении из отверстий, дал И. Е. Жуковский. Эти исследования дали позможность установить значение €_п для отверстий. Ряд аругих исследователей опытным путем получили значение І_п для труб снабженных щитом-регулятором, установленным не у яхода в грубу, а вначичительно ниже по грубе. Исходя из этого нами были поставлены лабораторные исследования над трубями снабженными регулирующими щитами у начала трубы. На основании обработки опытных данных получены новые экспериментальные зависимости для определения значения €_п для груб при b/a = 1 и b/a = 2 — 4.

Качановский, использован эмпирические данные Вейсбаха, дал формулу для определения коэффициента сопротивления шита в слезующем виде:

$$z = 1.9 \left(\frac{1}{n} - n\right)^{\alpha}. \tag{6}$$

тде п - степень открытия щита.

В уравнении (6), не учитываются потери возникающие от назов в управляющих механизмов. Действительно, при волном открытии щита, когда n=1 в силу (6) получим $\xi_n=0$. Фактически при полном открытии щита $\xi_n \neq 0$.

Уравнение (6) в общем виде можно записать в следующем виде:

$$\zeta_{n} = k + k_1 \left(\frac{1}{n} - n\right)^{\frac{1}{n}},$$
 (7)

гле k — коэффициент сопротивления пазов и управляющих механизмов при полном открытии шита. Этот коэффициент по величине постоянен для данной формы грубы и кромок щита:

 k_1 — постоянный коэффициент для данной формы трубы.

На основании наших опытов для определения неличины коэффишента сопротивления можно рекомендовать следующие зависимости:

В случае когда труба имеет круглое или квадрачное сечение в силу (7):

$$= 0.04 + 2.1 \left(\frac{1}{N} - y \right)^{\frac{1}{2}}. \tag{8}$$

В случае когда труба имсет прямоугольное сечение, при $b_i a = 2 \div 4$:

$$z_n = 0.06 \div 1.45 \left(\frac{1}{n} - n \right)^2$$
 (9)

Зависимости (8) и (9) удовлетворительно согласуются с результатами теории Н. Е. Жуковского, а также с экспериментальными данными полученными Вейсбахом и нами. На основании (1) и (7) получаем следующую расчетную зависимость для определения коэффициента расхода системы при затоплеином истечении:

$$p_{\mathbf{z}} = \frac{1}{\sqrt{\left[\frac{1}{s_{,\text{cu.}}} + k + k_1 \left(\frac{1}{n} - n\right)^{\mathbf{z}}\right]}},\tag{10}$$

rae

$$\zeta_{\text{c.ii.}} = 1 + \frac{0.06}{\epsilon^2} + \left(\frac{1}{\epsilon} - 1\right)^2 + \zeta_{\text{tp.}}$$

В частности, для княдратных и круглых труб уравнение (10) будет иметь вид:

$$\mu_{s} = \frac{1}{\sqrt{2,04 + \frac{1,06}{s^{2}} - \frac{2}{s} + 2,1(\frac{1}{n} - n)^{2} + \zeta_{rp.}}},$$
(11)

где s — на основании наших исследований [6] определяется по формуле:

$$t = 0.648 + 0.034 \ b.a = 0.002 \ (b'a)^{t},$$
 (12)

Для прямоугольных труб (когда $b_{\ell}a=2-4$) соответственно получим:

$$V = \frac{1}{\sqrt{2,06 + \frac{1,06}{z^2} - \frac{2}{z} + 1,45 \left(\frac{1}{n} - n\right)^2 + \zeta_{tp.}}} + (13)$$

На графиках (рис. 7 и 8) даны кривые выписленные по уравнениям (11) и (13). Точками показаны результаты опыта.

Нетрудно заметить, что максимальное расхождение между данными вычисленными по формулам и получениям экспериментальным путем состапляет 1.6%, при $n=0.8\div0.9$.

Для проверки достоверности полученных данных и закономерностей, которые нами рекомендуются для практического применения, ниже приводятся данные о коэффициенте расхода двух круглых груб и = 23.5 см. (при боковом откоде), снабженных цитом, испытанных в натурных условиях при спободном истечении.

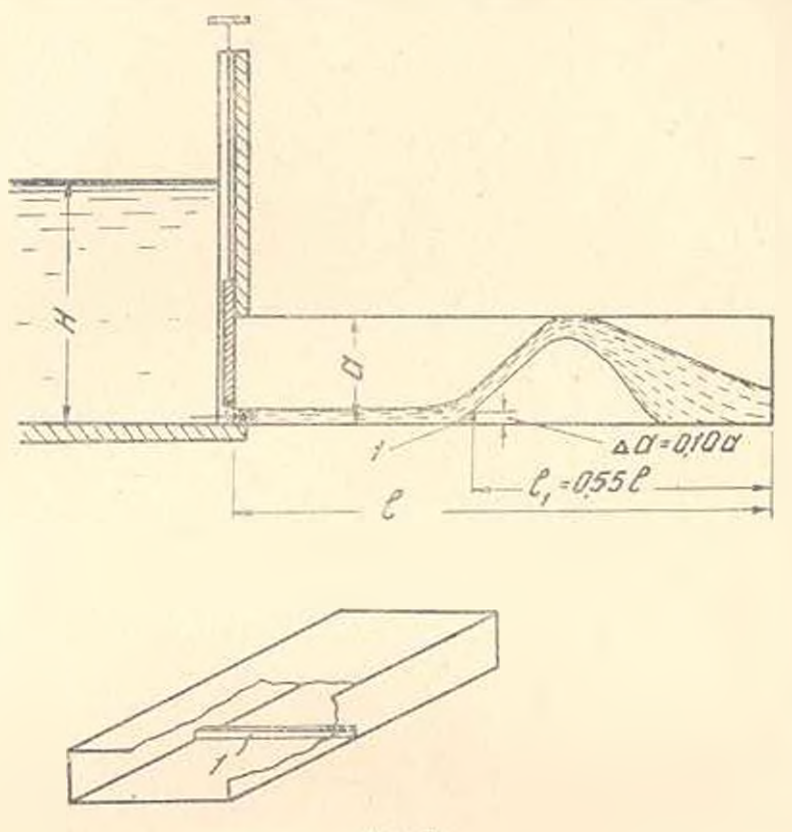
На основании приведенных данных можно следать ряд выводов. При свободном истечении через короткую грубу, для исследованных нами напоров, груба работает не полным сечением, и завачение в при этом равно значению и при истечении из отверствия. При больших открытиях щита когда и 0,5, груба по величине коэффициента расхода работает как отверстве. Это можно объяснить тем, что длина трубы педостаточна для создания потерь напора, обеспечивающих в пределах трубы переход от бурного состояния потока к спокобному. Возможно получить большое значение коэффициента расхода при больших открытиях шита и 0,5, но так как отводящий канал в данном случае имел значительную ширину, по сравнению с диаметром

Данна трубы $t=1.7$.и		Длина грубы (1.5 м	
и тия била степсир птиры-	коэффициент расхола О ———————————————————————————————————	степень откры- тия шита и	коэффициент расхола Q
0:34 0:32 0:53 0:64 0:75 0:86	0,637 0,634 0,619 0,649 0,649 0,649 0,684	0.16 0.57 0.61 0.79 0.90	0,650 0,632 0,611 0,639 0,631 0,639

трубы, и большой уклои, то выходная часть трубы не затоплялась и тем самым не создавались условия для образования вакуума у входа в трубу. Сравнивая данные, лабораторных и натуры на блюдений (ряс. 1) для круглых труб можно заключить, что формули: (11), (13) и (14) применимы для практических целей.

Лабораторное и натурное изучение работы сифонов, которые работают по тому же принципу, что и короткие трубы изсадки, показало, что расхождение и неличине козффициента расхо и колученные в натуре и в лаборатории из большие Т. В. Инанове, сти опице попоебросы, часть 1). Это расхождение можно объяснить тем, что потери напора на трение и сифоне для модели и натуры различик в между моделью трубы и трубой в натуре, по сравнению с сифонами пазличие меньше, поэтому разница между величинами коэффициента расхода модели трубы и трубы в натуре будет меньше. Исходя из условия согласованности совпадения экспериментальных и теоретических дзиных, считаем, что перенос результатов опыта на натуру с помощью известных положений моделирования вполис законно.

Анализируя полученные нами экспериментальные данные для своболного истечения, а гакже исследования других авторов [2] приходим к выяоду, что для прямоугольных труб при свободном истечении можно получить не скачкообразное, а плавное изменение величины коэффициента расхода в зависимости от степени открытия щита. Для этого рекомендуется в трубе, от начала входа на расстоянии $l_1 = 0.15 \ l_2(l - длина трубы) поместить добавочное сопротивление вы$ еотой порядка $\Delta a = 0.10$ a = (a - высота трубы) в виде струенановаляющего носика (рис. 10). В этом случае труба при малых открытиях щита (п > 0,15) будет работать полным сечением, при высоком значении коэффициента расхода, по сравнению с свободным истечением. При малых открытиях щига струя, при помощи носика, направляется к нерхней стенке грубы и тем самым предотвращает возможность понадания воздуха в трубу со стороны выхода. Постеденно струя, узлекая воздух, находящийся в началькой части трубы, приводит к образованию вакуума вначале грубы, вследствие



Pac. 10:

чего труба начинает работать полным сечением при высоком значе нии коэффициента расхода. Нами была испытана прямоугольная тру ба с носиком и без посика, когда a=4.35 см, b=14.2 см (b/a=3.25) В этом случае максимальное расхождение величины коэффициента расхода, при открытии щита $0 < n \le 0.5$, составляло 15%, причем ве личина коэффициента расхода трубы с носиком оказалясь больше чем без носика. При открытии щита в пределах $0.5 \leqslant n \leqslant 1.0$, нан большия разница величины коэффициента расхода трубы с носико: составляет 6.5% по сравнению с той же трубой без носика /рис. 4 Таким образом, при наличии восяка (в трубе) расход волы увелячи вается тогда, как степень открытия щита колеблется в предела. n=0:0.5; когда n=0.5-1.0 расход воды через трубу уменьшает ся. В коротких трубах, ири наличии носика, отсутствуют зоны резко го изменения величниы коэффициента расхода и зависимости от сте пени открытия шита при свободном истечении, при этом наблюдаетс плавное изменение коэффициента расхода.

Для определения величины коэффициента расхода грубы с носи ком, в силу (7), получено следующее уравнение:

$$\bar{\mu} = \frac{1}{V_{2,254 + \frac{1.06}{\epsilon^2} - \frac{2}{\epsilon} + 1.75 \left(\frac{1}{n} - n\right)^2 + \zeta_{\text{sp.}}}},$$
(14)

где в — определяется по формуле (12). Арм. НИМГиМ

Поступняю 20.7.1 чыс

4. 1. UPRUBLICATE, S. U. MUTTURAPHERUS,

ՀԱՐԹ ՎԱՀԱՆԻ ԱՌԿԱՅՈՒԹՅԱՆ ԴԵՊՔՈՒՄ ԿԱՐՃ ԽՈՂՈՎԱԿԻՑ ԱՐՏԱՀՈՍՎՈՂ ՋՐԻ ԵՐՔԻ ԳՈՐԾԱԿՑԻ ՄԻԾՈՒԹՅԱՆ ՀԱՐՑՐ

Udhnhaid

Իրիդացիոն և այլ հիդրոսոնիննիկական թետ կատ և ընհիր խողարկվող չրի կքը այի լու - այն կարդավորհիա համար օմտված են կարդավու րիւ չրխող վայասու

Արայիսի վածանով է կարգավորվում և չափվում մասնավորապիս . -իդդոտհինիկալի և մելիորացիալի չալկական գիտահետազոտական ինստիտուտի գիտեմ և ելթի ավտոմատ — կարգավորի, ջինողով արտահոսվող օրի ելբր։

Ինսաիստան շիգրուսնինիկական լարորաառրիայում և գաչատրին պայժաններում այս ավառմատերարգավորիչի փորձարկումը այս այից որ կարդավորիչ շարի վաշտնում օժաված օրինոլ խողովակի ևլքի դորձակցի ժեծությունը դպայի փոփոխախկաններ է կրում կախված վաշտնի թացվածքի աստինանից՝ ո :

Ալո փորձևրի արդյու բարի ըննարկամը ցույց է տայիս (դմ. 1, 2, մ. 4) որ եւթի գործակցի մեծախյան փոփոխա կունը տարբեր ձևով է արտա--արտվում ազատ և սուրված արտահոսման հայրամ

Ուսումնասիրևլով ևլդի գործ այհ փափոխավկանը կախված վահանի բացվածքի աստիճանից, կարևլի է նչել, որ աղատ արտահոսժան դեպրում և գործակցի մեծուխլան փոփոխուխյան կորը, կախված Ա-ից ———— է բաժանել հրեր լուրահատուկ դոտիների (դմ. 1.2.3,4)

1. Ազմուս առում անցրից, 2. անցման անկալուն դուսի և 3. արտահատում երափորից

Առուջին գոտում է-ի վափոխությունը ընդգրկում է վաճանի թացված բի ժեծության ()

Երկրորդ դուսին ընդգրկում է ը-ի փուփոխութելան 0,1:0,6 արժերները։ Ար գոտում 11-ի արժերի մեծացման հետ միաժամանակ մեծանում է չէ-ն, ըստ որում այդ աեր տեղի է ունենում թեռիչքի ձևով։ Երրորդ դուսում, որն դրրկում է 11-ի 0,7 և ավելի արժերները չէ-ն վահանի բացվածրի աստիճանի աճին գուղընվաց կրում է փորը փոփոխութելուն։

Սուղված արտաշտումն ասումնասիրելիս նչված երեր դոտիները բացակարոժ են։ Այս դեպրում «-ն իր բացարձակ արժերով դդալիորեն զերազանայում է ազատ արտասաշտոմանը համապատասխանայ ելբի դործակիցներին։

ելքի դործակիցը վահանի բասվածոր մեծության առին զուդրնիժաց

անում է և հաստում եր առավելացույն արժերին n=0.7 (), 75 դեպքում։ n-1 Տետացա անը ընթում է n-1 փորբացմանը։

Մայնանուր դեպքում, օրխող կառուցված քերի սիստեմի ելքի դուսակարություն է (1) բանաձևով, որտեղ է հրդրավլիկական դիմադրությանների դումարն է, որի մեծությունը կարեկի է ընդունել հաստատան ավյալ օրթող կառուցված քի համար, — կարդ վորիչ վահանի դեմասնի դարձակիցն է, որի մեծությունը կախոլուծ վահանի տորակած ի համար դրականության մեծ արվում է պրոկատունից։ Հայ-ի որոշման համար դրականության մեծ արվում է պրոկատունովոկը և հորինակների բանաձևերը, որոնը լրիվ կերպով հատկարարում երևույթի առմանական արժև քնականի արժև քնակարին արժև քնակարությունների և վահանական կորվի հետևյալ ձևով (2), որոնալ և կարդավորող մեիանականի և վահանակա դիմադրության դործակիցն է, վահանի լրի ընդացված քի դնալում, է, համաստուն դործակիցն է, ավյալ ձևի իրալումակի համար

Հայդի առնելով մեր փորձերի արդյունքները (7) թանաձեր կարելի է արել հետևյուլ ձևով

- 1. Արթ իսողովակը անի կլոր կում թատակուսի կարված ը, թանաձևը կղբըվի (S) ձևով.
- 2. Աւդղանկյունի օրքեսդ իսողովակների շաժար հրդ. b;a=2+4, բանա- ձևը կընդունի (9) անտրը։

Տևդագրերով է_ո-ի արժերը (+) բանաձևից (1) մեջ, ռուդված արտատամաս ելքի դործակցի չամար ընցհանուր դեպքում կոսանանը (10₇։

Մաստավորապես, կրբ և դատակասի ջրինողների համար կտամանց (11), -ն կորոշվի (12) րանաձևով։ Արդանկյան ջրինող իտղակակների համար, երբ b:a=4 և բանաձևը կրնդունի (13) տեսքը։

ЛИТЕРАТУРА

- 1. Амбариумян Г. А. Автом гические получеры половынуски-регуляторы системь Арм. ИПИППМ. Ерепан, 1957 г.
- Муромов В. Об истечения через насадки и короткие грубы. Гидротех. Стровтельство № 8, 1948 г.
- 3. Спраночинк по гидротехнике, Москва, 1955 г.
- Абалев А. С. Гидравлические гопротивления плоских элгворов, перекрывающих на поряме подоводы, прв различных открытиях. Известия ВНИИ гидрогехние № 42, 1950 г.
- Микаелян В. Г. О коэффициенте расхода для прямоугольных коротких труб, сифонов и отперстий. Трузы Арм. ПИИГиМ, том П. 1957 г.
- Минастин В. Г. Поление и лабораторные исследования вигомата-сегулятора расхода воды системы Арм. НПППиМ диссертания).

циента расхода при истечении из-под щита, в зависимости от степени открытия щита при затопленном истечении, обладает большим значением по сравнению со случаем свободного истечения во всей зоне.

Сравнительно большее значение р и плавное изменение коэффициента пои затопленном истечении объясняется тем, что выходная часть

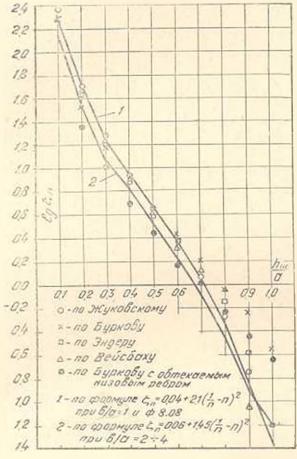


Рис. 9.

трубы затовлена и потому труба при всех открытнях шита работает как насадок. Результаты наэкспериментальных HIHX исследовании подтверждают правильность теоретических положений высказанных Н. Е. Жуковским (рис. 9). При всех степенях открытия щита и при соотношении сторон выпускного отверстия b/a = 1 опытные данные совпадают с теоретическими.

Для случая когда bia = 2 - 4, обнаружинается расхождение с данными теории.

Анализ показал, что при открытии щита, когда $n=0\pm0.85$, расхождение между ланными теории и опытов (кривая 2 на рис 9) можно объяснить прогибом кромки шита. Деформация кромки по существу увеличивает угол 6.

Выражение коэффициента гидранлического сопротивления, возникающего при наличии щита у входа в трубу можно написать в следующем виде [4]:

$$z_n = \left(\frac{1}{nz_n} - 1\right)^2. \tag{5}$$

гле 🖫 — коэффициент сопротивления, зависящий от степени открытия щита:

$$n = \frac{h_m}{\mu}$$
 — степень открытия щита:

5n — коэффициент вертикального сжатия потока, зависящий от степени открытия щита.

В урявиении (5) неопределенной величиной является только €_п. Теоретическое значение €_п и зависимости от открытия щита, при свободном истечении из отверстий, дал И. Е. Жуковский. Эти исследования дали позможность установить значение €_п для отверстий. Ряд аругих исследователей опытным путем получили значение І_п для труб снабженных щитом-регулятором, установленным не у яхода в грубу, а вначичительно ниже по грубе. Исходя из этого нами были поставлены лабораторные исследования над трубями снабженными регулирующими щитами у начала трубы. На основании обработки опытных данных получены новые экспериментальные зависимости для определения значения €_п для груб при b/a = 1 и b/a = 2 — 4.

Качановский, использован эмпирические данные Вейсбаха, дал формулу для определения коэффициента сопротивления шита в слезующем виде:

$$z = 1.9 \left(\frac{1}{n} - n\right)^{\alpha}. \tag{6}$$

тде п - степень открытия щита.

В уравнении (6), не учитываются потери возникающие от назов в управляющих механизмов. Действительно, при волном открытии щита, когда n=1 в силу (6) получим $\xi_n=0$. Фактически при полном открытии щита $\xi_n \neq 0$.

Уравнение (6) в общем виде можно записать в следующем виде:

$$\zeta_{n} = k + k_1 \left(\frac{1}{n} - n\right)^{\frac{1}{n}},$$
 (7)

гле k — коэффициент сопротивления пазов и управляющих механизмов при полном открытии шита. Этот коэффициент по величине постоянен для данной формы грубы и кромок щита:

 k_1 — постоянный коэффициент для данной формы трубы.

На основании наших опытов для определения неличины коэффишента сопротивления можно рекомендовать следующие зависимости:

В случае когда труба имеет круглое или квадрачное сечение в силу (7):

$$= 0.04 + 2.1 \left(\frac{1}{N} - y \right)^{\frac{1}{2}}. \tag{8}$$

В случае когда труба имсет прямоугольное сечение, при $b_i a = 2 \div 4$:

$$z_n = 0.06 \div 1.45 \left(\frac{1}{n} - n \right)^2$$
 (9)

Зависимости (8) и (9) удовлетворительно согласуются с результатами теории Н. Е. Жуковского, а также с экспериментальными данными полученными Вейсбахом и нами. На основании (1) и (7) получаем следующую расчетную зависимость для определения коэффициента расхода системы при затоплеином истечении:

$$p_{\mathbf{z}} = \frac{1}{\sqrt{\left[\frac{1}{s_{,\text{cu.}}} + k + k_1 \left(\frac{1}{n} - n\right)^{\mathbf{z}}\right]}},\tag{10}$$

rae

$$\zeta_{\text{c.ii.}} = 1 + \frac{0.06}{\epsilon^2} + \left(\frac{1}{\epsilon} - 1\right)^2 + \zeta_{\text{tp.}}$$

В частности, для княдратных и круглых труб уравнение (10) будет иметь вид:

$$\mu_{s} = \frac{1}{\sqrt{2,04 + \frac{1,06}{s^{2}} - \frac{2}{s} + 2,1(\frac{1}{n} - n)^{2} + \zeta_{rp.}}},$$
(11)

где s — на основании наших исследований [6] определяется по формуле:

$$t = 0.648 + 0.034 \ b.a = 0.002 \ (b'a)^{t},$$
 (12)

Для прямоугольных труб (когда $b_t a = 2 - 4$) соответственно получим:

$$V = \frac{1}{\sqrt{2,06 + \frac{1,06}{z^2} - \frac{2}{z} + 1,45 \left(\frac{1}{n} - n\right)^2 + \zeta_{tp.}}} + (13)$$

На графиках (рис. 7 и 8) даны кривые вычисленные по уравнениям (11) и (13). Точками показаны результаты опыта.

Нетрудно заметить, что максимальное расхождение между данными вычисленными по формулам и получениям экспериментальным путем состапляет 1.6%, при $n=0.8\div0.9$.

Для проверки достоверности полученных данных и закономерностей, которые нами рекомендуются для практического применения, ниже приводятся данные о коэффициенте расхода двух круглых груб и = 23.5 см. (при боковом откоде), снабженных цитом, испытанных в натурных условиях при спободном истечении.

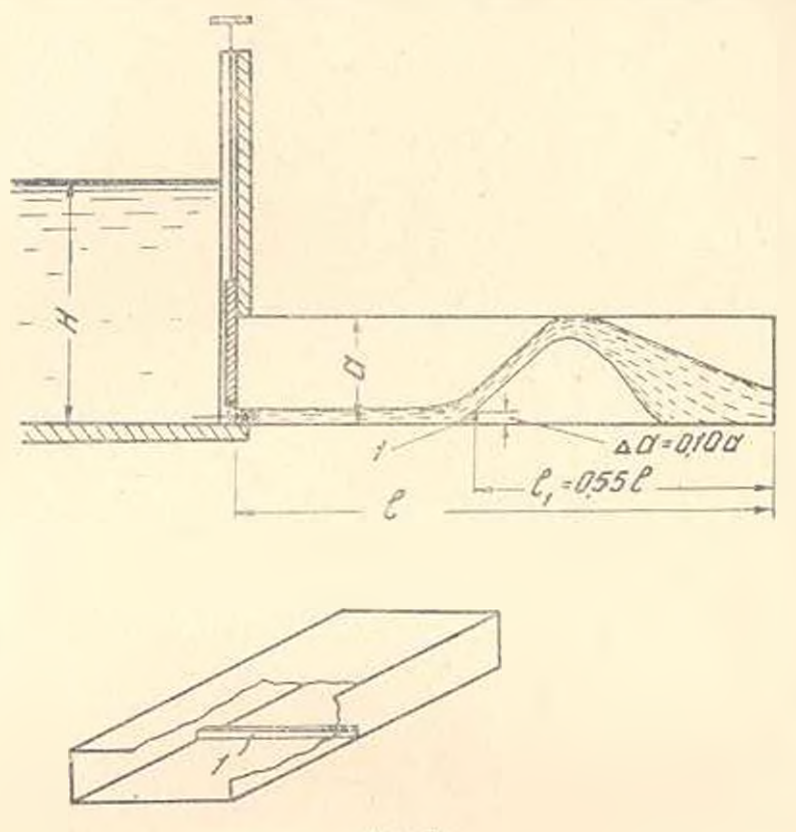
На основании приведенных данных можно следать ряд выводов. При свободном истечении через короткую грубу, для исследованных нами напоров, груба работает не полным сечением, и завачение в при этом равно значению и при истечении из отверствия. При больших открытиях щита когда и 0,5, груба по величине коэффициента расхода работает как отверстве. Это можно объяснить тем, что длина трубы педостаточна для создания потерь напора, обеспечивающих в пределах трубы переход от бурного состояния потока к спокобному. Возможно получить большое значение коэффициента расхода при больших открытиях шита и 0,5, но так как отводящий канал в данном случае имел значительную ширину, по сравнению с диаметром

Rанна трубы $t=1.7$. u		Дляна грубы t = 1.5 лг	
и тия йила степси» пенры-	коэффициент расхола О — 1 2gH	степень откры- тия шита и	коэффициент Фасхола О
0:34 0:32 0:53 0:64 0:75 0:86	0,637 0,634 0,619 0,649 0,649 0,649 0,681	0.16 0.57 0.61 0.79 0.90	0,650 0,632 0,611 0,636 0,651 0,629

трубы, и большой уклои, то выходная часть трубы не затоплялась и тем самым не создавались условия для образования вакуума у входа в трубу. Сравнивая данные, лабораторных и натуры на блюдений (рис. 1) для круглых труб можно заключить, что формули: (11), (13) и (14) применимы для практических целей.

Лабораторное и ватурное изучение работы сифонов, которые работают по тому же принципу, что и короткие трубы изсадки, показало, что расхождение и величине коэффициента расхоза полученные в натуре и в лаборатории не большие Т. В. Навном, что опшее вопоебросы, часть 1). Это расхождение можно объяснить тем, что потери напора на трение и сифоне для модели и натуры различиы а между моделью трубы и трубой в натуре, по сравнению с сифонами пазличие меньше, поэтому разница между величинами коэффициента расхода модели трубы и трубы в натуре будет меньше. Исходя из условия согласованности совпадения экспериментальных и теоретических данных, считаем, что перенос результатов опыта на натуру с помощью известных положений моделирования вполие законно.

Анализируя полученные нами экспериментальные данные для своболного истечения, а гакже исследования других авторов [2] приходим к выяоду, что для прямоугольных труб при свободном истечении можно получить не скачкообразное, а плавное изменение величины коэффициента расхода в зависимости от степени открытия щита. Для этого рекомендуется в трубе, от начала входа на расстоянии $l_1 = 0.15 \ l_2(l - длина трубы) поместить добавочное сопротивление вы$ еотой порядка $\Delta a = 0.10$ a = (a - высота трубы) в виде струенановаляющего носика (рис. 10). В этом случае труба при малых открытиях щита (п > 0,15) будет работать полным сечением, при высоком значении коэффициента расхода, по сравнению с свободным истечением. При малых открытиях щига струя, при помощи носика, направляется к нерхней стенке грубы и тем самым предотвращает возможность понадания воздуха в трубу со стороны выхода. Постеденно струя, узлекая воздух, находящийся в началькой части трубы, приводит к образованию вакуума вначале грубы, вследствие



Pac. 10:

чего труба начинает работать полным сечением при высоком значе нии коэффициента расхода. Нами была испытана прямоугольная тру ба с носиком и без посика, когда a=4.35 см, b=14.2 см (b/a=3.25) В этом случае максимальное расхождение величины коэффициента расхода, при открытии щита $0 < n \le 0.5$, составляло 15%, причем ве личина коэффициента расхода трубы с носиком оказалясь больше чем без носика. При открытии щита в пределах $0.5 \leqslant n \leqslant 1.0$, нан большия разница величины коэффициента расхода трубы с носико: составляет 6.5% по сравнению с той же трубой без носика /рис. 4 Таким образом, при наличии восяка (в трубе) расход волы увелячи вается тогда, как степень открытия щита колеблется в предела. n=0:0.5; когда n=0.5-1.0 расход воды через трубу уменьшает ся. В коротких трубах, ири наличии носика, отсутствуют зоны резко го изменения величниы коэффициента расхода и зависимости от сте пени открытия шита при свободном истечении, при этом наблюдаетс плавное изменение коэффициента расхода.

Для определения величины коэффициента расхода грубы с носи ком, в силу (7), получено следующее уравнение:

$$\bar{\mu} = \frac{1}{V_{2,254 + \frac{1.06}{\epsilon^2} - \frac{2}{\epsilon} + 1.75 \left(\frac{1}{n} - n\right)^2 + \zeta_{\text{sp.}}}},$$
(14)

где в — определяется по формуле (12). Арм. НИМГиМ

Поступнаю 20.7.1 чыс

d. . Uprublisher, s. u. lubburgapibane,

ՀԱՐԹ ՎԱՀԱՆԻ ԱՌԿԱՅՈՒԹՅԱՆ ԴԵՊՔՈՒՄ ԿԱՐՃ ԽՈՂՈՎԱԿԻՑ ԱՐՏԱՀՈՍՎՈՂ ՋՐԻ ԵՐՔԻ ԳՈՐԾԱԿՑԻ ՄԻԾՈՒԹՅԱՆ ՀԱՐՑՐ

Udhnhaid

Իրիդացիոն և այլ հիդրոսոնիննիկական թետ կատ և ընհիր խողարկվող չրի կքը այի լու - այն կարդավորհիա համար օմտված են կարդավու րիւ չրխող վայասու

Արայիսի վահանով է կարդավորվում և չափվում մասնավորապես, ֊իդբոտեխնիկայի և մեկերբացիայի հայկական գիտահետազոտական ինստիտուտի «իստեմի ելրի ավտոմատ — կարդավորի, ջրխողով արտահոսվող օրի ելրը։

Ինստիստան հիդրոտնիննիկական լարորատորիայում և դաչտային պայժաններում այս ավտոմատ-կարգավորիչի փորձարկումը — յց այի ց. օր կարդավորիչ հարե վահանով օժաված օրենս խողովակի ևլքի դորձակցի ժեծությունը դդայի փոփոխախկաններ է կրում, կախված վահանի թացվածքի աստինանից՝ ո — :

Ալս փորձևրի արդյու բարի ըննարկամը ցույց է տայիս (դմ. է. 2. մ. եր որ ելթի գործակցի մեծության փոփոխու կունը տարբեր ձևով է արտաարտվում ազատ և սուղմած արտահոսման հայաս

Ուսումնասիրևլով ևլդի գործ այհ փափոխավկանը կախված վահանի բացվածքի աստիճանից, կարևլի է նչել, որ աղատ արտահոսժան դեպրում և գործակցի մեծուխլան փոփոխուխյան կորը, կախված Ա-ից ———— է բաժանել հրեր լուրահատուկ դոտիների (դմ. 1.2.3,4)

1. Ազմուս առում անցրից, 2. անցման անկալուն դուսի և 3. արտահատում երափորից

Առուջին գոտում է-ի փոփոխությունը ընդդրկում է վաճանի թացված բի ժեծություն ()

Երկրորդ գոտին ընդգրկում է ը-ի փոփոխուխյան 0,1:0,6 արժերները։ Ար գոտում Ո-ի արժերի ժեմացման նետ միաժամանակ մեմանում է չեն, ըստ որում այդ աճը տեղի է ունենում խորչըի ձևով։ Երրորդ դոտում, որն արգիում է Ո-ի 0,7 և ավելի արժերները չեն վահանի բացվածրի աստիճա-Տի աճին գույրնվաց կյում է փորը փոփոխուխիսնա

Սուղված արտաշտումն ասումնասիրելիս նչված երեր դոտիները բացակարոժ են։ Այս դեպրուժ ուշն իր բացարձակ արժերով դդալիորեն զերազանարուժ է ազատ արտասանումանը համապատասխանայ ելջի դործակիցներին։

ելքի դործակիցը վահանի բասվածոր մեծության առին զուդրնիժաց

անում է և հաստում եր առավելացույն արժերին n=0.7 (), 75 դեպքում։ n-1 Տետացա անը ընթում է n-1 փորբացմանը։

Էնդեանուր դեպքում, օրխող կառուցված քերի սիստեմի ելքի դուսակություն է (1) բանաձևով, որտեղ է հիդրավլիկական դիմադրուխյանների գործակիցների դումարն է, որի մեծուխյունը կարևին է ընդունել հաստատան ավյուլ ջրխող կառուցված քի համար, — կարդ վորիչ վաշանի անկան դրվանին է, որի մեծուխյունը կախոլուն է վահանը բացված է որտեմ և որտեմ համար դրականուխյան մեծ արվամ է պրոֆ, տուսիճանից։ Հայ-ի որտշման համար դրականուխյան մեծ արվամ է պրոֆ, հաշանովոկան և հրևուլիկ ռահմանակի բանաձևերը, որտեղ կրիվ կերպով «արախորարում երևուլիկ ռահմանակն արժեղների կանուների արմերներին բավարարող ըստաձևը կղթվի հետևյալ ձևով (2), որտեղ և կարդավորող մեկանիկների և վահանակա դեմագրության դործակիցն է, վահանի լրխ ըստվում քին դեպրում, է, համաստուն դործակից է՝ ավյալ ձևի իտորական չի դեպրում, է, համաստուն դործակից է՝ ավյալ ձևի

Հայդի առնելով մեր փորձերի արդյունքները (7) թանաձեր կարելի է արել հետևյուլ ձևով

- 1. Երբ իսողովակը անի կլոր կում թատակուսի կարված ը, թանաձևը կղբըվի (S) ձևով.
- 2. Արդյանկումնի օրինալ իսողովակների շամար հրդ. b:a=2+4, բանա- ձևը կրնդունի (9) անտրթ։

Տևդագրերով Հո-ի արժերը (+) բանաձևից (1) ժեջ, ռուդված արտատաժան ելքի գործակցի Հաժար ընցհանուր դեպքում կոսանանը (10)։

Մաստավորապես, կրբ և դատակասի ջրխողների համար կտամանց (11), .-ն կորոշվի (12) րանաձևով։ Արդանկլան ջրխող իտղակակների համար, երը b:a=4 և բանաձևը կրնդունի (13) տեսքը։

ЛИТЕРАТУРА

- 1. Амбариумян Г. А. Автом гические получеры подовынуски-регуляторы системь Арм. ИПИППМ. Ерепан, 1957 г.
- Муромов В. Об истечения через насадки и короткие грубы. Гидротех. Стровтельство № 8, 1948 г.
- 3. Спраночинк по гидротехнике, Москва, 1955 г.
- Абалев А. С. Гидравлические гопротивления плоских элгворов, перекрывающих на поряме подоводы, прв различных открытиях. Известия ВНИИ гидрогехние № 42, 1950 г.
- Микаелян В. Г. О коэффициенте расхода для прямоугольных коротких труб, сифонов и отперстий. Трузы Арм. ПИИГиМ, том П. 1957 г.
- Минастин В. Г. Поление и лабораторные исследования вигомата-сегулятора расхода воды системы Арм. НПППиМ диссертания).

ЭЛЕКТРОТЕХНИКА

Т. Т. АДОНЦ

МЕТОД РАСЧЕТА ПАРАМЕТРОВ ЧЕТЫРЕХПОЛЮСНИКА И УГЛА СДВИГА МЕЖДУ ВЕКТОРАМИ НАПРЯЖЕНИЙ НА ЕГО ЗАЖИМАХ

Целью пастоящей статьи является разработка метода расчета параметров четырехполюсника и угла г вига между векторами напряжений на его зажимах если изпестны абсолютные неличины: нопряжений (модули), активных и реа тивных мощностей на зажимах четырехполюсника. На рис. 1, где показана схема пассивного четырехполюсника, через $P_{\rm k}, Q_{\rm s}, E_{\rm s}, P_{\rm s}, Q_{\rm s}$, с обозначены заданные (навестные) величины активной, реактивной мощностей и илпряжений на зажимах ${\rm k}^{\rm s}$ и ${\rm k}^{\rm s}$ четырехполюсника. Искомыми (неизвестными) величинами служат собственные

$$Z_{11} = r_{11} + jx_{11} = z_{11}$$
 $Z_{12} = r_{11} + jx_{22} = z_{23}$ и взаимный $z_{22} = r_{12} + jx_{12} = z_{33}e$ (1)

комплексные сопротивления четырехполюсника, а также угол сдвига между векторами $E_{\rm w}$ и $E_{\rm m}$, отсчитываемый от $E_{\rm w}$, обозначенный на рис. 1 через $\sigma_{\rm wx}$. Отличительной особенностью поставленной задачи является то, что принимаются неизвестными не только параметры ченырехполюсника, но и угол сдвига между векторами напряжений, действующих на его зажимах. В такой постановке задача о четырехполюсниках рассматривается впервые.

Для получения исходных уравнений, обеспечивающих решение поставденной задачи, воспользуемся уравнениями четырехполюсника, авписываемыми, согласно схеме рис. 1, в следующем виде:

$$\dot{I}_{4} = \frac{\dot{E}_{4}}{Z_{11}} - \frac{\dot{E}_{4}}{Z_{12}}$$

$$\dot{I}_{4} = -\frac{\dot{E}_{4}}{Z_{11}} + \frac{\dot{E}_{4}}{Z_{41}}$$
(2)

Такая форма записи уравнений четырехполюсника, хотя и отличается от формы, известной из теории цепей, но является общепринятой в литературе по теории электрических систем. Уравнения (2) могут быть представлены и в следующем виде:
3 Изв. ТН. № 6, 57

$$\dot{E}_{\text{K}} = AE_{\text{M}} - B\dot{I}_{\text{M}},$$

$$\dot{I}_{\text{K}} = C\dot{E}_{\text{M}} - D\dot{I}_{\text{M}},$$
(3)

где A, B, C. D — пяраметры четырехнолюсника, равные:

$$A = \frac{Z_{21}}{Z_{22}} \cdot B = -Z_{21} D = \frac{-Z_{21}}{Z_{11}} C - \frac{Z_{21}Z_{12}}{Z_{11}Z_{22}Z_{12}}.$$

Выбор формы уравнений четырехполюсника в виде системы (3) и знаков минус перед $I_{\rm w}$ и $E_{\rm w}$ в системе (2) продиктован соображениями построения расчетного аппарата применительно, в первую очередь, к решению задач по режимам электроэпергетических систем, когда четырехполюсник является общей нагрузкой для питающих его двух источников энергии. Для приведения расчетных выкладок статьи к формам записи, принятым в геории четырехполюсников, достаточно произвести следующие подстановки:

$$Z_{11} = \frac{1}{Y_{11}}, Z_{12} = -\frac{1}{Y_{12}}, Z_{22} = \frac{1}{Y_{22}}, Z_{21} = -\frac{1}{Y_{21}},$$
 (3a)

Уравнения (3) могут быть преобразованы и представлены как уравнения мощностей на зажимах четырехполюсника:

$$S_{x} = i_{x} E_{x} = \frac{E_{x}}{Z_{11}}$$

$$S_{x} = i_{x} E_{x} = \frac{E_{x}}{Z_{12}} e^{\frac{\pi z_{11}}{Z_{12}}} - \frac{E_{x} E_{x}}{Z_{x}} e^{\frac{\pi z_{12}}{Z_{12}}}$$
(4)

В рассматриваемом случае принимается $Z_{12}=Z_{24}$. Ниже рассматриваются отдельно случан симметричного и несимметричного четырехполюсников.

1. Случай симметричного четырехполюсника

1. В качестве исходных уравнений, подлежащих решению, рассматриваются следующие уравнения (1), записанные для двух отличающихся друг от друга режимов электропередачи:

$$P_{u1} + jQ_{u1} = \frac{E}{Z_{11}} e^{-it} \frac{E_{1}}{Z_{12}} e^{-it} \frac{E_{1}}{Z_{12}} e^{-it} \frac{E_{1}}{Z_{12}}$$

$$P_{u1} + jQ_{u2} = \frac{E_{1}}{Z_{22}} \frac{E_{1}}{Z_{12}} e^{-j(\delta_{uu} + \phi_{12})}$$

$$P_{u2} + jQ_{u2} = \frac{E_{u}}{Z_{22}} e^{j\phi_{23}} - \frac{E_{1}E_{u}}{Z_{12}} e^{-j(\delta_{uu} + \phi_{12})}$$

$$(5)$$

Здесь искомыми являются величины: $Z_{11}=z_{11}$, $z_{11}, Z_{12}=z_{12}$, z_{12} и два угла $c_{\text{мал}}$ и — 1. е. всего четыре неизвестных. Исходная система (5) содержит четыре комплексных уравнения. Для рассматриваемого случая симметричного четырехполюсника — имеет место $A=\Pi$, или Z_{11} . Такое ограничение налагается из-за того, что в число неизвестных, подлежаних определению, входят углы между векгорами напряжений, т. е. — и $b_{n,m}$, которые в обычных задачах синтеза четырехнолюсников принимаются известянми. В статье для индексов углов в принято следующее правило $c_{nn}=-c_{nn}$ (5a).

Системя уравнений (6) имеет единственное решение при условии соблюдения хотя-бы обного из следующих неравенств:

$$P_{\text{Al}} = P_{\text{A2}}; \quad P_{\text{M1}} \neq P_{\text{M2}}; \quad Q_{\text{R1}} \neq Q_{\text{A2}}$$

$$Q_{\text{R1}} = Q_{\text{R2}}; \quad E_{\text{M2}}; \quad E_{\text{M2}}; \quad E_{\text{M2}}.$$
(6)

Выбор режимов электропередачи, по данным которых произволится расчет нараметров четырехнолюсника, или, говоря иначе, выбор какого-либо из неравенств (б) или нескольких из них, зависит от характера решаемой задачи, из числа перечисленных в конце статьи задач.

Так, например, при решении задячи о параметрах коронирующей высоковольтной линии электропередачи желателен выбор режимов с соблюдением условий $E_{\rm el}=E_{\rm m},\,E_{\rm vl}=E_{\rm w2}.\,$ Для получения-же зависимости параметров коронирующей линии от уровня напряжения или граднента потенциала на проводах достаточно для каждого из уровней напряжения выбирать два режима, для которых соблюдается хотя бы одно из первых четырех неравенств (6).

- 2. В результать решения системы уравнений (5) получаются:
- а. Выражения для вычисления собственных сопротинлений симметричного четырехполюсника

$$z_{11} = z_{22} = \sqrt{\frac{Y_1^2 + Y_2^2}{Y_3^2 + Y_4^2}},$$
 (7)

$$tg\varphi_{11} = tg\varphi_{21} = \frac{Y_1Y_4 - Y_2Y_3}{Y_1Y_2 + Y_2Y_4},$$
 (8)

$$I_{1} = \frac{1}{E_{\text{M1}}^{2}} \quad E_{\text{M2}}^{2} \quad E_{\text{M1}}^{2} - \frac{P_{\text{M2}}}{E_{\text{M2}}^{2}};$$

$$Y_{1} = \frac{Q_{\text{M3}}}{E_{\text{M2}}^{2}} \quad Q_{\text{M1}} \quad Q_{\text{M2}};$$

$$E_{\text{M1}}^{2} \quad E_{\text{M2}}^{2} \quad E_{\text{M2}}^{2};$$

$$\frac{P_{\text{M1}} P_{\text{M1}} - Q_{\text{K1}} Q_{\text{M1}}}{E_{\text{M1}}^{2} E_{\text{M2}}^{2}} - \frac{P_{\text{M2}} Q_{\text{M2}}}{E_{\text{M2}}^{2} E_{\text{M2}}^{2}};$$

$$\frac{P_{\text{M1}} Q_{\text{M1}} + P_{\text{M1}} Q_{\text{M1}}}{E_{\text{M1}}^{2} Q_{\text{M2}} + P_{\text{M2}} Q_{\text{M2}}};$$

$$\frac{P_{\text{M1}} Q_{\text{M1}} + P_{\text{M1}} Q_{\text{M1}}}{E_{\text{M2}}^{2} Q_{\text{M2}} + P_{\text{M2}} Q_{\text{M2}}};$$

 Выраження для вычисления взаимного сопротивления четырехиолюсиика

 $Z_{13} = \frac{Z_{23}E_{31}E_{31}}{\sqrt[4]{\Delta}}, \quad (9)$

гле

$$\Delta = [2E_{\rm kl}^2 (P_{\rm kl} r_{22} - Q_{\rm kl} x_{22}) - E_{\rm kl}^4 - S_{\rm kl}^2 + E_{\rm kl}^4 - E_{\rm kl}^4 + E_{\rm kl}^2 + E_{\rm kl}^4 +$$

$$\frac{Z_{22}^{2}(P_{u1}|Q_{u1} + P_{u1}Q_{u2}) - E_{u1}^{2}v_{3}}{(E_{u1}^{2} - E_{u1}^{2})^{2} \sin 2z_{22}} = \frac{Z_{22}^{2}(P_{u1}|Q_{u1} + P_{u1}Q_{u2}) - E_{u1}^{2}v_{3}}{v_{3}v_{4} - 2|Q_{u1}Q_{u}|} \frac{(E_{u1}E_{u1})^{2} \sin 2z_{22}}{(E_{u1}E_{u1})^{2} \sin^{2}z_{23}|} = \frac{Q_{u1}E_{u2}}{(10)}$$

$$v_{1} - Q_{u1}x_{2}, \quad P_{u1}x_{22}; \quad v_{2} = Q_{u1}x_{23} - P_{u1}F_{23};$$

$$v_{3} = Q_{u1}F_{22} + P_{u1}X_{22}; \quad v_{4} = P_{u3}X_{22} - Q_{u1}F_{22}$$

в. Выражения для вычислевия угла сдвига между векторами

Угол сдвига 6, м - в первом режиме электропередачи

$$\cos \delta_{\text{RMI}} = \frac{E_{-1}z_{+}}{E_{\text{MI}}} \left[\frac{1}{z_{+}} \cos \left(z_{+2} - z_{+} \right) - Y_{\text{N}} \cos \left(z_{+2} - z_{+} \right) \right]. \tag{11}$$

$$tg\psi_{\text{NI}} = \frac{Q_{\text{NI}}}{P_{\text{MI}}} - Y_{\text{MI}} = \frac{\sqrt{|P_{\text{NI}}^2| + Q_{\text{NI}}}}{E_{\text{MI}}^2}$$

где

Угол сдвига выше — во втором режиме электропередачи

$$\cos \frac{1}{E_{\pi}} \left[\frac{1}{-\cos \left(\varepsilon_{12} - \varepsilon_{11} \right)} - Y_{\kappa 2} \cos \left(\varepsilon_{12} - \psi_{\kappa 2} \right) \right]$$
 (12)

где

$$Y_{\kappa 2} = \frac{Q_{\kappa 2}}{P_{\kappa}}; \quad Y_{\kappa 2} = \frac{|P_{\kappa 2}^2 + Q_{\kappa 2}|}{E^2}.$$

По найденным величинам $Z_{11},\ Z_{12}$ легко определяются параметры элементов схем замещения четырехполюсника (Т , Γ I-образные или мостовые схемы). Так например, параметры Т-образной схемы замещения четырехполюсника определяются полученным решением по формулам:

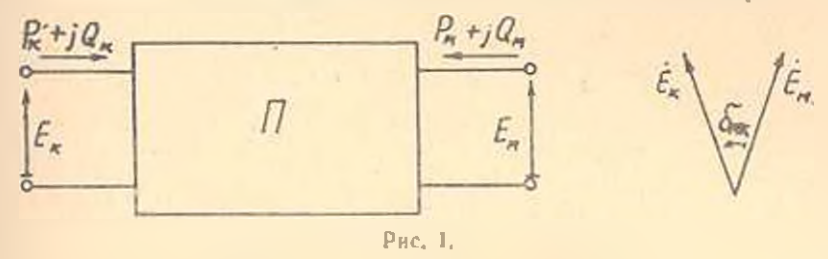
$$Z_{\kappa} = Z_{11} = Z_{12} \frac{Z_{12} - Z_{11}}{Z_{12} - Z_{11}Z_{12}}$$

$$Z_{\kappa \kappa} = \frac{Z_{11}Z_{12}Z_{12}}{Z_{12} - Z_{11}Z_{12}}$$
(13)

Здесь $Z_{\mathbf{x}}$ — сопротивление илеча на стороне станции К.

3. Числовой пример, иллюстрирующий расчет, по предлагаемым формулам, приводится ниже

А. Для концов линии передачи (станции К и М), представляемой схемой по рис. 1. известны следующие исходные для расчета ве-



личины: напряжение (E), активная (P) и реактивная (Q) мощности в двух (1 и 2) отличающихся друг от друга режимах электропередачи. Расчеты проводятся для трех отдельных случаев, каждый из которых представляется двумя режимами.

Исходные данные сведены в таблицу 1.

Таблина 1

			Случак						
Стан-	Вели-	Расмер-		1		П		11	
Hila	инни	ность	реж	KHM	режим		режим		
			1	2	1	2	1	5	
К	E ₀	KU,	420	395	420	415	395	395	
	P_n	мгит	429,9	130,4	754.9	553,9	757,1	776	
	Q_{b}	фгвар	194,7	—231, I	93	-133.4	322	447,6	
M	Eu	KE,	112	350	412	418	380	350	
	Pa	urnt	-411,3	-125,6	698,8	525,9	-678,9	-692,1	
	Qu	мгаар	163,5	-252.1	162,4	58.2	374.6	501,5	

Б. Результаты вычислений по формулам (7) и (8) величии совротивления Z_{22} и угла z_{22} для линии электропередачи, данные о режимах которой представлены в табл. 1, приводятся ниже в таблице 2.

Тоблина 2

Случан	Y 1	Y :	Y ₃	Y4	299	Υ25
Случан	×10 ⁻⁴	×10-4	10 ,6	×10-6	OM	град.
1	0,43	11,61	3,64	0,49	316,3	84135
11	-0,45	25,92	8,19	0,66	315,4	84 24
m	-1,15	-16,84	5,28	0,85	315.6	84°50′

В четырехполюснике, для которого ведется расчет, величины Z₁₁ и ϕ_{22} равны, соответственно, 315 ом и 84 25'. Таким образом, погрешности в расчете находятся в допустымых пределах. В. Аналогично, пользуясь исходными данными табл. 1 по формулам (9) и (10) вычисляются величины полного сопротивления z_{**} и угла φ_{1*} . Результаты вычислений представлены в таблице 3

Таблина 3

Случан	- tr1	U±	יי	v.	Δ	7,1	Ŷ1 3
	×1010	×1010	×1010	10 ¹	1044	OM	град.
1	-7,43	3,55	14,04	-13,39	45,96	206,4	86*21
11	0,57	7,26	23,95	-21,4	45,95	206,4	961217
111	9,31	13,54	24,32	-20,12	25,67	206	86 26'

В рассчитываемом четырехполюснике, действительно, z_{12} =206 ом и = 86°26′, что совпадает с результатами таблины 3.

1. Величины углов сдвига $a_{\rm km1}$ (для режимов 1) и (для режимов 2) между векторами $E_{\rm r}$ и $\dot{E}_{\rm m}$, вычисленные по формулам (12) и (13), представлены и габлице 4.

Таблица 4

Случая	21 (On 1712 - 722)	cos(q ₁ 1-q ₁₁)	cos 711 - 412	Soil	New 2
1	0,6534	-0,3557	-0,5359	305	10"
11	0,6531	0,1937	-0,1731	60°	40"
111	0,6531	0,4179	0,5471	50'	90*

В правильности предлагаемых расчетных формул можно убедиться путем производства обратных вычислений нахождений: $P_{\mathbf{k}}$, по формулам (5), используя в них найденные: $z_{\mathbf{j}\mathbf{a}}$, $\varphi_{\mathbf{k}}$, $\varphi_{\mathbf{k}}$ и величины $E_{\mathbf{k}}$ и $E_{\mathbf{k}}$.

В резудьтате такого расчета получаются исходные данные таблицы 1.

Случай несимметричного четырехполюсника

Уравнения 15). дополненные следующими уравнениями (14), записанными для третьего отличающегося от первых двух режимов электропередачи, представляются инже в качестве исходных подлежащих решению для случая несимметричного четырехполюсника

$$P_{\text{K3}} - jQ_{\text{K3}} = \frac{e^{j\varphi_{11}} - e^{j}}{1 - e^{j\varphi_{12}}} e^{j} \qquad (14)$$

$$P_{\text{K3}} + jQ_{\text{K3}} = \frac{e^{j\varphi_{22}}}{z_{12}} e^{j\varphi_{22}} \frac{E_{\text{K3}}E_{\text{K}}}{z_{12}} e^{j(\xi_{\text{KMJ}} + \varphi_{12})}.$$

В системе из шести уравнений (5) и (14) искомыми являются три комплексных величины: $Z_{11}=\dots Z_{2}=z_{12}$ φ_{12} $Z_{22}=z_{22}$ φ_{22} и три величины: $\delta_{\text{мк2}}$, $\delta_{\text{мк2}}$, $\delta_{\text{мк2}}$ углоя сдвига между векторами напряжений на зажимах четырехнолюсника и трех режимах электропередачи. В отличие от случая семметричного четырехнолюсника, здесь

Условия (6), обеспечивающие единственность решения системы уравнений (5), зополняются, для случая несимметричного четырехнолюсника условием соблюдения еще хотя-бы одного из следующих неравенств:

$$P_{\text{M1}} \neq P_{\text{M3}}; \quad Q \neq Q_{\text{M1}}$$
 (15)
 $Q_{\text{M1}} = Q_{\text{M5}}; \quad E_{\text{M}} = E_{\text{M3}}; \quad -$

Соблюдение двух каких-либо неравенств из числа (5) и (15) означает, что грв исходных режима электропередачи должны отличаться друг от друга неравенством: или напряжений, или активной или реактивной мощностей, или их сочетанием.

- 2. В результате решения системы уравнений 5) и (14) получаются:
- а. Выражения для вычисления собственных и взаимного сопротивлений несимметричного четырехполюсияма

$$\frac{\Delta}{Y_{\text{H}1}Y_{\text{H}3}(Y_{\text{M}1} - Y_{\text{M}3})} = \frac{\Delta}{Y_{\text{H}1}Y_{\text{H}2}Y_{\text{H}3}(Y_{\text{M}3} - Y_{\text{H}2})}$$

$$\frac{\Delta}{(16)}$$

$$\frac{\Delta}{Y_{\text{H}1}Y_{\text{M}1}(Y_{\text{M}2} - Y_{\text{M}1}) + Y_{\text{K}2}Y_{\text{M}2}(Y_{\text{H}3} - Y_{\text{H}1}) - Y_{\text{K}3}Y_{\text{M}3}(Y_{\text{M}1} - Y_{\text{M}2})}$$

$$\frac{Z_{\text{H}2}^2}{Z_{\text{H}3}^2} = \frac{Z_{\text{H}3}^2}{(Y_{\text{M}1}Z_{\text{H}3} - 1)(Y_{\text{M}1}Z_{\text{H}2} - 1)}$$

$$= Y_{\text{K}1}(Y_{\text{K}1} - Y_{\text{M}2}) + Y_{\text{K}2}Y_{\text{M}3}(Y_{\text{M}3} - Y_{\text{H}1}) - Y_{\text{K}3}Y_{\text{M}3}(Y_{\text{M}1} - Y_{\text{M}2})$$

$$= Y_{\text{K}1}(Y_{\text{K}1} - Y_{\text{M}2}) + Y_{\text{K}2}Y_{\text{M}2}(Y_{\text{M}3} - Y_{\text{H}1}) - Y_{\text{K}3}Y_{\text{M}3}(Y_{\text{M}1} - Y_{\text{M}2})$$

$$= Y_{\text{K}1}(Y_{\text{K}1} - Y_{\text{M}2}) + Y_{\text{K}2}Y_{\text{M}2}(Y_{\text{M}3} - Y_{\text{H}1}) - Y_{\text{K}3}Y_{\text{M}3}(Y_{\text{M}1} - Y_{\text{M}2})$$

$$= Y_{\text{K}1}(Y_{\text{K}1} - Y_{\text{M}2}) + Y_{\text{K}2}Y_{\text{M}2}(Y_{\text{M}3} - Y_{\text{H}1}) - Y_{\text{K}3}Y_{\text{M}3}(Y_{\text{M}1} - Y_{\text{M}2})$$

$$= Y_{\text{K}1}(Y_{\text{K}1} - Y_{\text{M}2}) + Y_{\text{K}2}Y_{\text{M}2}(Y_{\text{M}3} - Y_{\text{H}1}) - Y_{\text{K}3}Y_{\text{M}3}(Y_{\text{M}1} - Y_{\text{M}2})$$

$$= Y_{\text{K}1}(Y_{\text{M}1} - Y_{\text{M}2}) + Y_{\text{K}2}Y_{\text{M}2}(Y_{\text{M}3} - Y_{\text{H}1}) - Y_{\text{K}3}Y_{\text{M}3}(Y_{\text{M}1} - Y_{\text{M}2})$$

$$= Y_{\text{K}1}(Y_{\text{M}1} - Y_{\text{M}2}) + Y_{\text{M}2}(Y_{\text{M}3} - Y_{\text{M}1}) - Y_{\text{K}3}Y_{\text{M}3}(Y_{\text{M}1} - Y_{\text{M}2})$$

$$= Y_{\text{K}1}(Y_{\text{M}1} - Y_{\text{M}2}) + Y_{\text{M}2}(Y_{\text{M}3} - Y_{\text{M}1}) - Y_{\text{K}3}Y_{\text{M}3}(Y_{\text{M}3} - Y_{\text{M}3})$$

$$= Y_{\text{K}1}(Y_{\text{M}1} - Y_{\text{M}2}) + Y_{\text{M}2}(Y_{\text{M}3} - Y_{\text{M}1}) - Y_{\text{K}3}Y_{\text{M}3}(Y_{\text{M}3} - Y_{\text{M}3})$$

$$= Y_{\text{K}1}(Y_{\text{M}1} - Y_{\text{M}2}) + Y_{\text{M}2}(Y_{\text{M}3} - Y_{\text{M}3}) + Y_{\text{M}3}(Y_{\text{M}3} - Y_{\text{M}3})$$

$$= Y_{\text{K}1}(Y_{\text{M}1} - Y_{\text{M}3}) + Y_{\text{M}2}(Y_{\text{M}3} - Y_{\text{M}3}) + Y_{\text{M}3}(Y_{\text{M}3} - Y_{\text{M}3})$$

$$= Y_{\text{K}1}(Y_{\text{M}3} - Y_{\text{M}3}) + Y_{\text{M}2}(Y_{\text{M}3} - Y_{\text{M}3}) + Y_{\text{M}3}(Y_{\text{M}3} - Y_{\text{M}3})$$

$$= Y_{\text{K}1}(Y_{\text{M}3} - Y_{\text{M}3}) + Y_{\text{M}2}(Y_{\text{M}3} - Y_{\text{M}3}) + Y_{\text{M}3}(Y_{\text{M}3} - Y_{\text{M}3})$$

$$= Y_{\text{K}1}(Y_{\text{M}3} - Y_{\text{M}3}) + Y_{\text{M}2}(Y_{\text{M}3} - Y_{\text{M}3}) + Y_{\text{M}3}(Y_{\text{M}3} - Y_{\text{M}3})$$

$$= Y_{\text{K}1}(Y_{\text{$$

Здесь индексы при Y, 4, P, Q, E берутся одинаковыми из сочетания индиксов зажимов четырехполюсника κ , κ и режимов 1, 2, 3, используемых в системах уравнений (5) и (14)

- \dot{Z} величиня, сопряженная комплексу Z=r+jx.
- 6. Выражения для вычисления углов между векторами напряжений на зажимах четырехполюсника в режимах 1 и 2 в форме (11) и (12). Для вычисления угла сдвига между этими же векторами в режиме 3 электропередачи используется следующее выражение:

$$\cos a_{\text{MK3}} = z_{12} \frac{1}{I_{\text{Md}}} \left[\frac{1}{I_{\text{Md}}} \cos (\phi_{11} - \phi_{12}) - Y_{\text{K3}} \cos (\phi_{\text{K3}} - \phi_{12}) \right], \tag{17}$$

$$Y_{k3} = \frac{1 P_{k3} - Q_{k3}^2}{E_{k2}^2}$$

Параметры элементов схемы замещения четырехполюсника определяются по найденным величинам $Z_{11},\ Z_{12},\ Z_{32}.$ Так, например, нараметры Т-образной схемы замещения в случае иссимметричного четырехполюсника определяются формулами (13) и следующей (18)

$$Z_{13}Z_{13} = \frac{Z_{13} - Z_{22}}{Z_{12} - Z_{13}} \tag{18}$$

Z— сопротивление влеча на стороне станции М.

Числовой пример.

Для несимметричного четырехполюсника (по рис. 1) известны (табл. 5) следующие данные о грех различных его режимах электропередачи между станциями к и М.

Таблица 5

6	Вели	4 11 11 14	Размеры			
Станция	обозначения	размерность	1	2	3	
К	Eh PH Oh	кв мгит мгнар	420 291,7 247,1	415 643,1 17,9	395 654 — 90	
М	E _M P _M	wrnap wrnap	412 134.9 879.6	405 -44,4 -1109,7	350 450,5 1078,2	

Согласно формулам (16) определяются следующие, сначала, промежуточные для расчета величины и представленные в таблице 6:

Таблица о

Величины	Медуль ×10−4	Аргумент в град.	Дейст. часть × 10 ⁻⁴	Мыим. часть ×10-4
\dot{Y}_{k1}	21,67	40,28	16,61	<i>j</i> 14,01
1782	37,34	1,6	37,34	j 1,04
$\dot{Y}_{\kappa 3}$	42,32	352,1	41,20	-j 5,77
Σ_{m1}	52,41	261,3	7,95	—j 51 ₁ 93
3 M2	73,24	247,4	-29,13	- <i>j</i> 67,6
Y _{M3}	81,79	245,96	-33,27	-j 74,67

Результаты расчета искомых параметров четырехполюсивка, вычисленные по формулам (16), принодится ниже в таблице 7.

Tabauua 7

Велнчикы	Молуль в омах	Действи- тельная часть	Минмая часть
Z ₁₁ Z ₂₁ Z ₁₈	319,0 102,4 206,9	31,54 12,19 —204,00	/ 216,49 / 101,64 / 30,90

Г. Углы сдвига между векторами напряжений на зажимах (К. М.) четырехполюсника и его трех (1, 2, 3) режимах электропередачи, вычисленные по формулам (11, (12) и (17), оказались равными:

$$a_{\text{max}} = 20.50^{\circ}; \quad a_{\text{max}} = 49.5 ; \quad a_{\text{max}} = 60.55^{\circ}.$$

Возможные случан практического применения предлагаемого метода расчета

Метод расчета параметров симметричного и несимметричного четырехполюсников и углов сдвига между векторами напряжений на зажимах четырехполюсника по заданным рабочим режимам электропередачи может получить применение для решения целого ряда задач, встречающихся в практике эксплуатации энергосистем и в экспериментальных научно-исследовательских работах в области расчета и синтеза электрических цепей. Перечислим некоторые из таких задач.

- 1. Построение схемы замещения коронирующей высоковольтной линии электропередачи (ЛЭП) в рабочих режимах ее эксплуатации при произвольных изменениях: потоков энергии, напряжений и углов сдвига между векторами напряжений на концах ЛЭП.
- 2. Определение нараметров четырехнолюсника по данным рабочих режимов его работы, взамен используемого в таких случаях известного метода опытов холостого хода и коротких замыканий".
- 3. Определение состояния загрязненности изоляции высоковольтных ЛЭП путем вычислений поперечной проводимости ЛЭП.
- 4. Определение дискретных значений параметров пелинейного четырехнолюсника и построение на их основе характеристики зависимости параметров от напряжения или тока, обусловливающих неланейность.
- 5. Вычисление углов сдвига между векторами напряжений на концах ЛЭП.

Числовые примеры расчета выполнены Э. Джангировой

Лаборатория электротехники

АН Арминской ССР

Поступило 7.Х. 1957 г.

\$. ԱԳՈՆՑ

ՔԱՌԱՔԵՎԵՌԱԿԻ ՊԱՐԱՄԵՏՐԵՐԻ ԵՎ ՆՐԱ ՄԵՎՄԱԿՆԵՐԻ ՎՐԱ ԼԱՐՄԱՆ ՎԵԿՏՈՐՆԵՐԻ ՄԻՋԵՎ ԵՂԱԾ ՄԱՀՔԻ ՍՆԿՅԱՆ ՀԱՇՎԱՐԿԻ ՄԵՐՈԳԸ

Ամփոփում

Նևրկա հոդվածի հեղինակը նպատակ է գրել ստեղծել թառաբենոտկի պարաժետրերի և նրա սեղժակների լարժան վեկտորների միջե նդած սահթի անկրան հաշվարկի մեխող. եխև հայտնի են լարումների (մողույների), ակտիվ և ռեակտիվ հղորախկանների թառաբենակի բացարձակ մեծուխյունները սեղմակներում։

$$Z_{11} = r_{11} + jx_{11} = -e^{jz_1}.$$

$$Z_{12} = r_1 + jx_{22} = z_{22} \cdot e^{jz_2}.$$
 to the following the degree of $z_{12} - r_{12} + jx_{12} = z_{12} \cdot e^{jz_2}.$

թառարհեսակի կոմպլհ թատ և գիմադրա թկանները, ինչպես և E_u և E_u վեկ-տորների միջև եղած սահքի անկլունը, հաշված E_u -ից, որ պատկերված է նկ. 1-ում δ_{xx} -ով։

Առաջադրված խնդիրը ընհարկվամ և սիմետրիկ և ոչ սիմետրիկ բառաբևեսակի համար։ Այդ խնդրի լածամր ապահովող հավասարումները ներկարացված են (5) ձևով սիմետրիկ և (5) և (14) ձևերով ու սիմետրիկ ըստարևեսակի համար։ Մնդրի լածումները տրված են հաչվարկային բանաձևերի տևորով, համապատասիսանարար (7) — (12) սիմետրիկ և (16) (17), (11), (12) ոչ սիմետրիկ բառարհեսակների համար։

Առատարիվող մեկնոդը կարող է գործնական կիրառում դանել մի շարբ պրակաիկ ինեղիրների լուծման համար, այդ Մահան հետևչայների համար

- եր գտղաչում։ գիրիասեչորեր դիմը բմաց ռուշեի տրվեաչդորեր վաղտեսվայր փոփոխուդ քարույրը գիտքի չունիսի։ հանուղջրեր բամանովուր մգրի գտներերը հանուղջրեր սիրըանի իրումերը լանուղջրի ը շաժանովուր մգրի գտներերը հանուղջրեր 1- բերիանաչուժանվարդ իսևոչումբում հանուրանին մգր արժակակութ
- հառաբենոակի պարամեարերի որոշում ըրստ Նրա տշխատանքային ռեժիմների ավլալների, նման դեպրիրամ տղաադործվող ապանի «պարապ անացրի փորձերի և կարձ միացումների մեխուլի» փոխարեն։
- 3. Իարձրավոլու էլևկտրահաղորդման դունրի մեկուսացման ադտավորվածության վիճակի որոշումը։
- 4. Ոչ-գծալին ըստարհետակի պարումեարհրի դիսկրետ նշանակութելունների որոշումը և նրանց հիման վրա ոչ-ղծալնութելունը պայմանավորող լաթուսից կամ հոսանրից պարամետրերի — հցած կախման բնութեագրերը կառուցելու ժամանակ։
- ծ. Էլևկարահաղորդման դժերի ծակրերին դարումների վեկտորհերի միջև արտ տաերի անկումների հարվարկման ժամանակ։

ЭЛЕКТРОТЕХНИКА

К. А. МЕЛИК-ВАРТАНЯН

ЗООКОП В ВИНАХУТАЕ МИЖЗЯ ЙНЯЭВЗШИВЗР ВООТЛЬНИЕ ХИМЭРИТИЗИВИЕ ВИНАМОУПОЧПЭН

Ввеление

Методы синтеза электрических ценей, г. е. построение электрических схем по их частотным характеристикам, тесно сиязаны с задачей приолижения функций. При этом наиболее улобными оказываются методы апроксимации, разработанные замечательным русским изтематиком П. Л. Чебышевым. Проблема апроксимации приобретает исе большее значение в электротехнике в связи с тем, что слитез ценей находит широкое применение в самых различных отраслях техники: в автоматике и телемеханике, в проектировании фильтров корректирующих цепей различных гидравлических и механических устройств и т. д.; существенное значение имеет синтез также в связи с вроблемой автоматизации и телемеханизации энергосистем.

В настоящей работе описан метод расчета фильтров, основанный на чебыщевской апроксимации; показана зависимость формы частотной характеристики затухания в полосе непропускания электрического фильтра от степени апроксимирующей функции. Установлено, что число минимумов и максимумов функции затухания в случае четных апроксимирующих функций f(x) равно n, а и случае нечетных равно n-1.

В работе также дано определение чебышевского режима затуха-

Общие положения

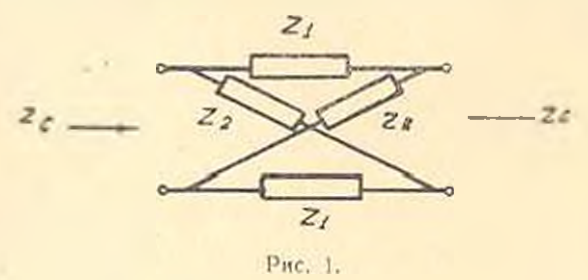
В последние годы в теорию и практику расчета электрических фильтров начинают все больше внедрять методы апроксимации характеристик фильтров по П. Л. Чебышеву При этом оказывается, что по сравнению с гладкой апроксимирующей кривой, получившей в зарубежной литературе название кривой "Бутерворта", чебышевское приближение имеет ряд преимуществ.

Прежде всего ясно, что "монотонная" кривая, находясь по одну сторону апроксимируемом кривой, не использует в полной мере допустимых отклонений, в то время как чебышевская кривая, имеющая в пределах основного отрезка колебательный характер, достигает повеременно верхнего и вижнего допустимых пределов, принимая меж-

лу двумя смежными экстремальными точками точное значение функции. Кроме этого, мостовые фильтры, основанные на чебыневской апроксимации, всегда допускают эквивалентное преобразование в другие формы фильтров, более выгодиые с точки эрения физической реализации — например ценине, чего нельэя сказать о мостовых фильграх, в основу расчета которых положена апроксимация с помощью гладких кривых (ср. например, методы расчета фильтров по Кауару и Боде [8]. Последнее обстоятельство получает существенное значение, поскольку мостовые четырехнолюсники, имея значительные теоретико-расчетные преимущества и поэтому служа основой расчета различных методов расчета фильтров, в то же время не выгодны для физической реализации, так как будучи схемой уравновешенной, требуют для своего осуществления большее количество элементов, чем ценине.

Инженериме методы расчета фильтров развиваются в настоящее время по двум направлениям. В основу первого принята цепная схема, состоящая из каскадного соединения симметричных Т- и П-образных звеньен, а также Г-образных полузвеньев типа К и их м и мм производных. Схемы этого типа вногда называют лестинчными. В основу вгорого метода принята симметричная мостовая схема, имеющая то преимущество, что она дает возможность независимого изменения характеристических параметров— характеристического сопротивления $Z_{\rm c}$ и характеристической меры передачи g. Недостатком первого, так называемого обычного метода расчета фильтров является паличие произвольных требований в отношении характеристических параметров, причем пезависимое изменение одного из них и желательном направлении невозможно, так как приводит к изменению и второго параметра, часто в нецелесообразном направлении.

Материал изложенный ниже относится к мостовому четырехполюснику, который ввиду своей универсальности признан канонической формой четырехполюсника (рис. 1). Основное достоинство этого



четырехполюсника, отмеченное выше — пезависнмость Z_c и σ друг от друга объясияется тем, что они являются функциями различных параметров: характеристическое сопротивление является функцией частот

среза и резонансных частот в полосе непропускания, а характеристическая мера передачи—функция частот среза и резонансных частот в полосе пропускания. Возможность независимой регулировки каждого из параметров следует также и из самих формул (1) и (2):

$$th \frac{R}{2} = \sqrt{\frac{Z_1}{Z_2}}.$$
 (1)

$$Z_i = V \overline{Z_i} \overline{Z_i}$$
 (2)

Таким образом g зависит от отношения сопротивлений плеч моста, а от их произведения. Для удобства расчетов вводят в рассмотрение так называемые пормализованные сопротивления Z_1' и Z_2' при этом

$$Z_{i} = \frac{Z_{t}}{R}, \quad (3a) \qquad Z'_{i} = \frac{Z_{t}}{R} \tag{36}$$

тле R— номинальная величина характеристического сопротивления в волосе пропускания фильтра, ранная сопротивлению нагрузки (при согласованном включении). Нормализованное характеристическое совротивление будет равно:

$$\frac{Z_1}{R} = \begin{bmatrix} \frac{Z_1}{R} & \frac{Z_2}{R} & 1/Z_1 Z_2 \end{bmatrix}$$
 (4)

а характеристическая мера передачи

$$t h \frac{g}{2} = \begin{bmatrix} Z_1 \\ Z_2 \end{bmatrix}$$
 (5)

Примем следующие обозилчения

$$\alpha = 1/Z_1Z_1 \qquad (4a), \qquad \beta = \sqrt{\frac{Z_1}{Z_1}}. \qquad (5a)$$

Эти функции играют важную роль в расчете фильтров основанных на мостовой схеме. Их произведение и отношение дают нормаяизованные сопротивления плеч моста:

$$z\beta = Z_1^*. (6)$$

$$\frac{\alpha}{\beta} = Z_1^*. \tag{7}$$

Функция ж действительна в полосе пропускания и мнима в полосе затухания; функция 3, наоборот. действительна в полосе не пропускания и мнима в полосе пропускания; при этом, ж и 8 являются функциями резонансных частот и частот среза плеч моста.

Цель приведенного ниже расчета заключается в подборе этих частот таким образом, чтобы функции и и в в диапазоне своих действительных значений, наименее отличались от единицы.

В самом деле, при

$$\alpha = 1, \quad Z_c = R. \tag{8}$$

т. с. характеристическое сопротивление будет равно своей номинальной величине во всей полосе пропускания фильтра. Это гот идеальный случай, который обеспечивает согласованную работу фильтра во всем диапозоне прозрачности

При
$$\beta = 1$$
, $th \frac{R}{2} = 1$, (9)

$$g = b = \infty, \tag{10}$$

т. е. в полосе непропускания собственное затухание (действительная

часть д) равна бесконечности. Это является также идеальным чаем, поскольку все частоты и диапозоне пепрозрачности полносты: задерживаются фильтром.

Реальные фильтры в тои или иной степени могут приближаться к идеальным. Ввиду того, что применяемый в настоящей работе метод рясчета фильтров основан на чебышевской апроксимации, ниже приведены краткие сведения о полиномах Чебышеви, используемых в квчестве апроксимирующих многочленов.

Полиномы П. Л. Чебышева

Полиномы Чебышева степени и в алгебранческой форме имеют вид:

$$T_n(x) = \frac{1}{2} \left[(x + \sqrt{x^2 - 1})^n + (x - \sqrt{x^2 - 1})^n \right]$$
 (11)

в представляют собой полином степени и, с коэффициентом при старшем члене 2^{n-1} .

Поскольку х рассматривается на отрезке [1; 1], легко получи тригонометрическую форму полиномов Чебышева. Полагая $x - \cos \phi_0$

$$T_n(x) = \cos n a r \varepsilon \cos x, \tag{11a}$$

откуда видно, что нулями полинома $T_n(x)$ являются точки

$$x = \cos \frac{2k-1}{2n} \pi$$
, $(k = 1, 2, ..., n)$, (12)

а точками экстремума —
$$x = \cos \frac{l \pi}{n}$$
. $(l = 1, 2, ..., n - 1)$, (13)

нули и точки экстремума расположены на отрезке [1,-1] неравномерно, слушаясь к его концам. При I четном, $T_{\pi}(\mathbf{x})$ проходит черег максимум, равный

$$T_n(x) = \cos I = +1$$

а при / нечетном - через минимум, равный

$$T_n(x) = -1.$$

В конце основного промежутка в точках (1) полиномы Чебышев принимают следующие значения:

$$T_n (=1) = \begin{vmatrix} T_n (\div 1) & \div 1, \\ 1 & \text{при } n \text{ нечетном} \\ 1 & \text{при } n \text{ четном}. \end{vmatrix}$$

Вне основного промежутка полиномы Чебышева монотонно возрастаю или монотонно убывают. Рекуррентная формула для последовательного вычисления полиномов Чебышева такова:

$$T_{n+1}(x) = 2x T_n(x) - T_{n-1}(x).$$

В явном виде многочлены $T_{ij}(x)$ имеют следующий вид:

$$T_1(x) = x$$
 $T_4(x) = 8x^4 - 8x^2 + 1$

$$T_s(x) = 2x^2 - 1$$
, $T_s(x) = 16x^6 - 20x^3 + 5x$, $T_s(x) = 4x^2 - 3x$, $T_s(x) = 32x^6 - 48x^6 - 18x^2 - 1$.

В пределах основного промежутка полиномы Чебышева ортогональны в отношении дифференциального веса

$$\frac{1}{1-x^1}$$

Петрудно получить также ортогонально нормированную систему полиномов Чебышева [4].

Расчет фильтров, основанных на чебышевской апроксимации.

Одним из методов расчета фильтров, основанных на чебышевской апроксимации, является метод Кауэра, который первым использовал преимущества расчета мостовых четырехиолюсников по сравнению с другими типами четырехиолюсников |Т-образных, П-образных и их производных). Сущность метода заключается в следующем. Заменив в функциях и в переменную и новой переменной х, а резонансные частоты и соответствующими параметрами х, легко их привести к тождественному виду для всех классон фильтров. В случае фильтров низких и высоких частог, х является функцией текущей частоты и частоты среза, а х, функция резонансных частот и частоты среза. В случае полосовых и режекторных фильтров х—функция текущей частоты и частот среза и резонанса, а х, —функция резонансных частот и частот среза.

Таким образом, функции ж и 3 приводятся к виду

$$f_{2a}(x) = H^{-1} \frac{\sqrt{1 - \frac{x^2}{x_1^2} \left(1 - \frac{x^2}{x_3^2}\right) \cdot \dots \cdot \left(1 - \frac{x^2}{x_{n-1}^2}\right)}}{\left(1 - \frac{x^2}{x_2^2}\right) \left(1 - \frac{x^2}{x_4^2}\right) \cdot \dots \cdot \left(1 - \frac{x^2}{x_n^2}\right)}$$
(15)

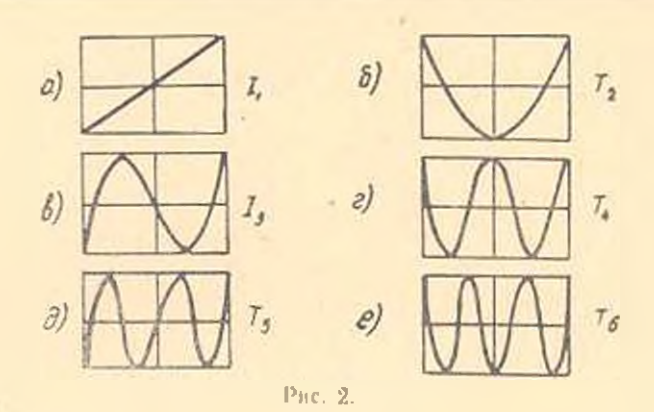
для четных функций, причем

$$1 = x_1 < x_2 < x_3 < \dots < x_n < \infty,$$

и к виду

$$f_{2n+1}(x) = \sqrt{\frac{1 - \frac{x}{x_1} \left(1 + \frac{x}{x_2}\right) \left(1 - \frac{x}{x_3}\right) \cdot \dots \cdot \left(1 \pm \frac{x}{x_n}\right)}{1 + \frac{x}{x_1} \left(1 - \frac{x}{x_2}\right) \left(1 + \frac{x}{x_3}\right) \cdot \dots \cdot \left(1 \pm \frac{x}{x_n}\right)}}$$
(16)

для функций нечетных. Верхний знак у экспоненты 11 в выражении (15), а также у последних множитслей числителя и энаменателя выражения (16), берется при n-четном, инжинй—при n нечетном. Чтобы обеспечить функциям f_{2n-1} чебышевскую апроксимацию единицы, параметры x_n следует определять по формулам (17) и (21) приведенным ниже:



а) для четных функций

$$N = \frac{1}{sn\left(\frac{n-i-1}{n}\right)^{n}} \qquad (i = 1, 2, \dots, n), \qquad (17)$$

где *зи* эллинтическая функция Якоби (эллинтический синус), *К* — полный эллинтический интеграл первого рода, который представляет собой значение эллинтического интеграла первого рода при значения верхнего предела —:

$$K = \sqrt{\frac{d\psi}{1 + k^2 \sin^2 \psi}} \tag{18}$$

Точки, в которых функция пересекает единичную прямую определяются по формуле:

$$x = k \ sn \ \frac{1}{2 \ n}$$
 $i = 1, 3, 5, \dots, 2 \ n - 1$, (19)

а точки экстремума по формуле:

$$x = k \ sn \frac{i \ K}{n}, \qquad [i = 0, 1, 2, \dots, n];$$
 (20)

б) для нечетных функций параметры определяются по формуле

$$x_{i} = \frac{1}{sn \left| \frac{2(n-t)+1}{2n-1} \right|}$$
 [i = 1, 2, ..., n]. (21)

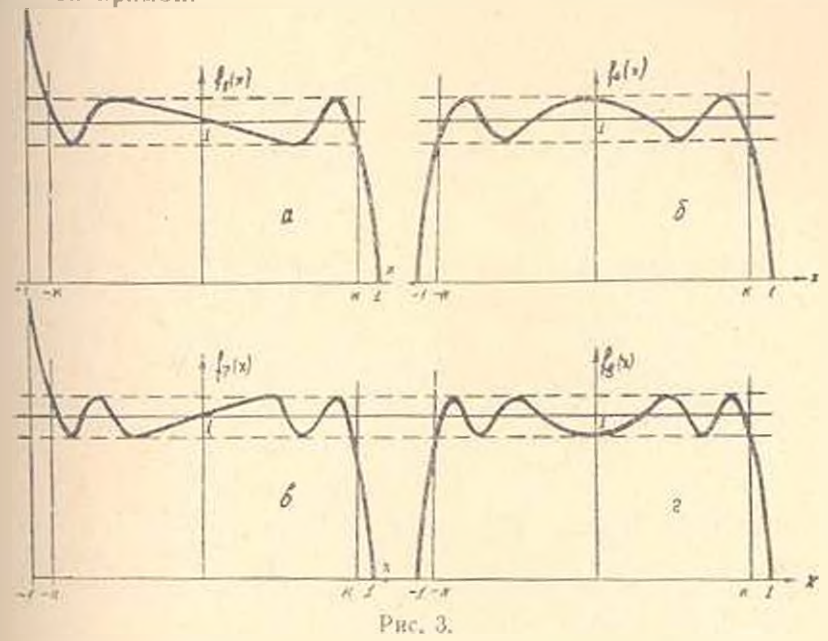
Точки пересечения с единичной прямой определяются по формуле:

$$x = k \operatorname{sn} \frac{2^{i} K}{2n - 1}$$
 [$i = 0, 1, 2, \dots, n - 1$], (22)

а точки экстремумя в соответствии с

$$x = k \sin \frac{i K}{2n-1}$$
, $[i = 1, 3, 5, \dots, 2n-1]$. (23)

На рис. З показан характер апроксимации функциями f_1 f_0 f_7 и f_8 линчной прямой.



Чебышевский режим затухания

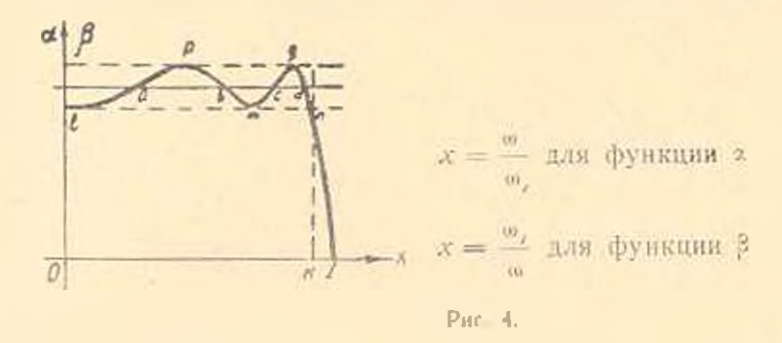
Предлагаемый ниже метод расчета фильтров иллюстрирован на римере, показывающем характерный вид формы кривой затухания в полосе непропускания фильтров при чебышенской апроксимации.

Пусть, например, функция f_{κ} (x) выбрана в качестве функций α и β

$$f_{s}\left(x\right) = \frac{\sqrt{1 - \frac{x^{2}}{x_{1}^{2}}} \left(1 - \frac{x^{2}}{x_{3}^{2}}\right)}{H\left(1 - \frac{x^{2}}{x_{2}^{2}}\right) \left(1 - \frac{x^{2}}{x_{4}^{2}}\right)}$$

В соответствии с рис. Зг чебышевская апроксимация функцией (x) единичной прямой являющейся идеальной частотной характеристикой, изображена на рис. 4. Отрезок [0—1] по оси абсцисе соответствует диапазону нормированных частот, в пределах которых функции и в действительны. Следонательно, для функции и это будет полоса пропускания, для функции в — полоса непропускания.

Апроксимация функцией 2 единичной прямой обеспечивает стабильность характеристического сопротивления в диапазоне прозрачности и согласованную работу фильтра; это было отмечено выше, Поскольку нас интересует частотная характеристика фильтра, т. е. зависимость затухания от частоты, рассмотрим несколько более подробно график функции 3. Точки пересечения функцией 3 единичной прямой, обозначенные буквами a, в. с. d. соответствуют частотам беспонечного затухания. Точки наибольшего отклонения функции от 4 ил. ТН. № 6, 57



единицы, обозначенные точками l, m, n, p, q (независимо от знако соответствую с частотам минимального затухания. Следует отметить что допускаемые отклонения функций f(x) таковы, что помимо развества порозны всех максимумов и минимумов между собов, нх среднее геометрическое равно, единице:

Это обстоятельство обеспечивает равенство минимумов затухания во всей полосе непропускания фильтрон — характерный признак чебышевского режима затухания. В самом деле, решин уравнение (1) относительно g, будем иметь

$$g = \ln \frac{1+1}{1-\sqrt{\frac{Z_1}{Z_2}}} = \ln \frac{1+3}{1-3}.$$
 (1a)

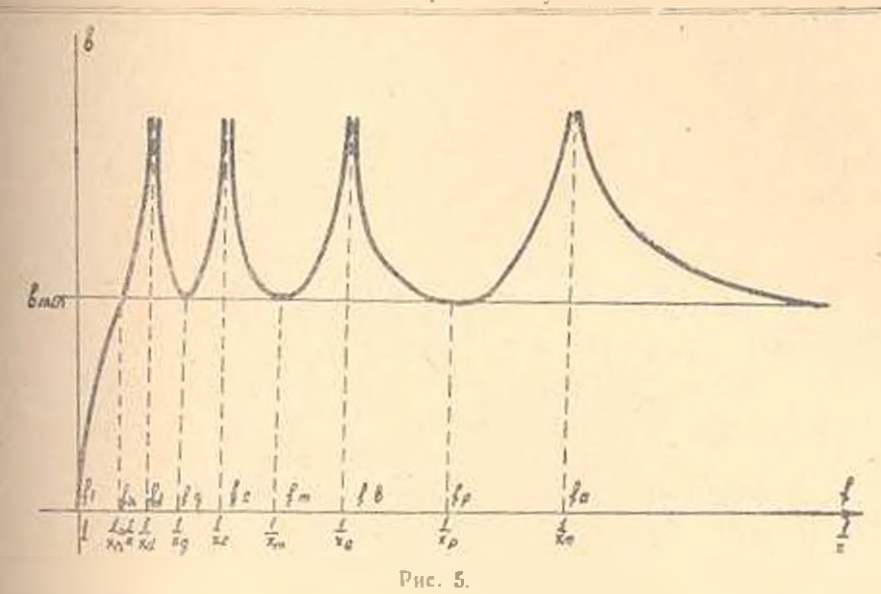
откуда затухание в определится по формуле

$$b = \ln \left| \frac{1+\beta}{1-\beta} \right| \tag{16}$$

Из формулы (16) видно, что $8_{min} = \frac{1}{p_{min}}$ длет то-же самое загухания что и $3_{min} = \frac{1}{p_{min}}$

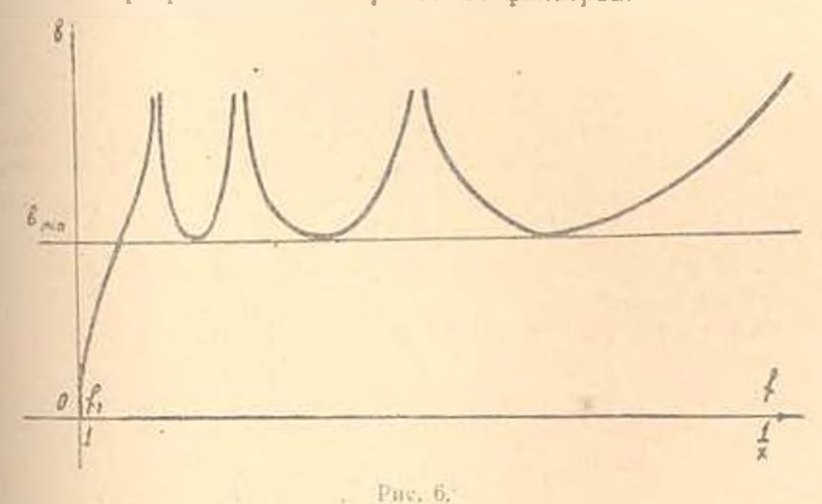
На рис. 5 показана частотная характеристика загухания полосненропускания низкочастотного фильтра, рассмотренного выше. Поси абсиист отложена величина обратная нормированной частоте, иноо. в другом масштабе, текущая частота f. При частоте соответствующей точке n (рис. 4) затухание впервые достигает допстимого минимума. Дианазон частот от f_1 ,до следует рассматриванкая переходную область, где и находится частота среза.

Число частот бесконечного затухания, ранное числу частиминимума затухания (включая и $f=\infty$), определяется степенью апросимирующей функции 3. В рассмотренном случае (при четной степии) оно равно $n=\frac{8}{2}=4$.



Использонав в качестве апроксимирующей крикой $f_7(x)$, как можно видеть из рис. Зв. мы получим частотную характеристику затухания, последняя вствь которой уходит в бесконечность (рис. 6). Вдесь также число частот минимума затухания равно числу часто выконечного загухания, если только ограничиться рассмотрением конечных частот, исключий полюс функции затухания в бесконечно далленной точке. Таким образом, принимая во внимание эти условия, можно дать следующее определение чебышейскому режиму затухания

в полюсе непрозрачности электрических фильтров:



Фильтр с частотной характеристикой затухания, имеющей в полосе непропускания одинаковые минимумы, число которых равно числу частот бесконечного затухания, обладает чебышевским режимом затухания и полосе непропускания. Розможно, в дальнейшем, данное подвергнется уточнению и расшинению, пончем в него будут включены понятия ограниченного и полного чебышевского режимов. Следует отметить, что функция 3, определяя кривую собственного затухания в полосе непропускания фильтра, и то же время характеризует также фазокую меру передачи в полосе прозрачности. Следовательно фазовая характеристика при чебышевской апроксимации получается нелинейной, что является ее нелостатком. Выпрямлении характеристики можно достичь с помощью фазокорректирующих пепей.

. Іаборатория электротемики АН Армянской ССР

Поступнае 5.IX.1957 г.

N. R. BELLER JUPARABLA

ՄԱՐՄԱՆ ՉԵՐԻՇԵՎՏԱՆ ՌԵԺԵՐԸ ԷԼԵԿՏՐԱԿԱՆ ՖԻԼՏՐՆԵՐԻ ՉԲՈՂԱԳՄԱՆ ԳՈՏՈՒՄ

Uddindinid

Էլնկարական օղժաների ռինվժերի մեխողները անուիջականորեն կապվ<mark>ած</mark> հեւ ֆունկցիաների մատարկման (ապրակակմացիայի) ինդրի շետ։

Այդ տեսակետից ամենահարմար մոտարկման մեխող հանդիոտնում է ուս մեծ մախիմատիկու Չերիջեի մշակած մեխութը։ Չերիշելան մեխոդը էլեկտրատեկներիալում մեծ դեր է խաղում բնորհիվ այն բանի, որ էլեկտրական շղխաների սինխեղը մեծ կիրասամ անի ավատմատիկայում, տելեմեխանիկալում, ֆիլաբների հաշվարկման դործում, ինչպես նաև տարրեր հիդրավլիկական ու մեխանիկական կառացվածըներում։

Հայգածում տրված է ֆիլարների հաշվարկի մեխայր, արը հանդած է Ձերի լան մատարկման վրա։ Յայց է արված ֆիլարների հաճախականություն բնությացրի ձևի կապր տարակսիմ ացիոն ֆունկցիայի տարեններ հանախահետ։ հաստապած է, որ մարման ֆունկցիայի մինիմունեերի և մաջորմամ-ների խիկը, երբ մատարկման ֆունկցիան առաջ է՝ աղատար Հո-ի, իսկ երբ հետո է հավասար է և 1-ի

Հոդվածում արված է նույնպես Չերիչելան մարման ռեժիմի որոշումը Հյեկտրական ֆիլտըների համար։

ЛИТЕРАТУРА

- 1. Акимлер И. И. Лекция по теория апроксимации, 1949 г.
- 2. Ахиезер П. П. Элементы теории эллиппических функций, 1949 г.
- 3. Босый И. Л. Электрические фильтры, 1955 г.
- 4. Гарновский 11. 11. Теоретические основы электропроводной связи. 1956 г.
- 5. Микеладле 111 1. Числениве метолы матиматического аналила, 1953 г.
- 6. Чебышев П. Л. Набраниме труды. Изд. AH 1955 г.
- 7. Cauer W. Theorie der lineaten Wechselstromschaltungen 1954.
- 8. Guillemin E. A. Communication network- # 11, 1947.
- 9. Molle J. H. Filter design data for communication engineers, 1952.

нижгиерная сеисмология

B. E. XAUMRH

колебание вруса, под действием СЕЙСМИЧЕСКИХ УДАРА И ТОЛЧКА С УЧЕТОМ РА ССЕЯНИЯ ЭНЕРГИИ:

В работе рас матриваются изгибные и сдвиговые колебания кономьного бруса постоянного сечения, вызванные перемещением его оспования под действием сейсмических удара и голчка.

Сейсмический удар характеризуется значительным сейсмическим вкорением, вызывающим резкое изменение в скорости перемещения почны за короткий промежуток времени. Сейсмический толчок хато втеризуется мгновенным возникновением большего ускорения с повымующим его сохранением [1].

§ 1. Изгибные колебания

Уравнения своболных колебаний консольного бруса (рис. 1 при учете только изгиби и с учетом рассения эпергии может быть записано в следующем виде [2]:

 $= E \frac{\partial^2 U}{\partial x^4} + \frac{q}{r} \frac{\partial^2 U}{\partial t^2} = 0$

E = модуль упругости материала

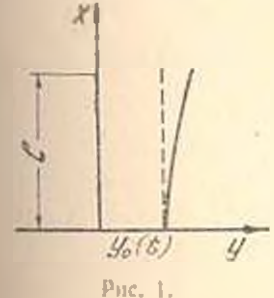
/ - момент инерции поперечного

где y(x, t) — перемещения точки на стержия:

стержия;

сечения:

(I,I)



вес стержия на единицу длины;

I - данна стержия:

 ковффициент внутреннего трения, обычно мялая величина. Нами принята а 0,08, что отвечает коэффициенту поглощения энергии

Подстановкой $y_t(x, t) = Y_t(x) q_t(t)$, где $Y_t(x)$ фундаментальные рукания и q. (f) нормальные координаты, для фундаментальных функций получим [2]:

[&]quot; Из материалов к проекту "Положения по строительству в сейсмических passance.

$$Y_{n}(x) = \frac{\sin x + \sin x}{\cos x + \cot x} (\cos x - \cot x) + \sin \alpha x - \sin \alpha x, \quad (1.2)$$

где

$$z = \sqrt{-\frac{gEI}{gEI}} \tag{1.3}$$

р₁ — круговая частота спободных колебаний, которая определяется из характеристического уравнения

$$\cos \mu \cosh \mu = 1 = 0, \tag{1.4}$$

первые три кория которого следующие:

$$\mu_1 = 1.875$$
; $\mu_2 = 4.694$. $\mu_2 = 7.855$.

Пормальные копраннаты, карактеризующие колебания рассматриваемого брусв при колебаниях почвы в направлении оси у (рис.1), удовлетворяют уравнению

$$q_1 + \rho_1^* e^{i\alpha} q_1 = -3_1 y_0$$
 (1.5)

где у_в (t) — закои донжения почны, а

$$= \frac{2}{\mu_{\mu}} \left(\frac{\cos \mu_{\mu} + \cosh \mu_{\mu}}{\sin \mu_{\mu} + \sinh \mu_{\mu}} \right)^{\alpha} \tag{1.6}$$

Общим решением этого уравнения является

$$q_{i}(t) = e^{-p_{i} \frac{\pi}{2} t} (A_{i} \cos p_{i} t + B_{i} \sin p_{i} t) -$$

$$-\frac{z_{l}}{p_{l}}\int_{0}^{\infty} \frac{1-1}{p_{l}}y_{0}\left(\xi |\sin p_{l}(l-\xi)|dt\right) dt \qquad (1.7)$$

Обычно в начальный момент землетрясения, смещение и скорость точек сооружения равны нулю, поэтому при этих начальных условиях выражение (1.7) примет вид:

$$q_{j}(t) = \frac{3}{2} \int_{0}^{t} e^{-tt} \int_{0}^{t} f(t) \sin p_{j}(t-t) dt.$$
 (1.8)

Сейсмический удар Допустим, что в основании споружения имеет место сейсмический удар, вызванный большим ускорением почны за очень короткий промежуток времени. Такое сейсмическое ускорение называется кратковременным сейсмическим ускорением [2]. В работах [1], [2], установлено, что кратковременное сейсмическое ускорение вызывает статический эффект отно ительно фундаментальной функции У. (х), если соответствующий период свободных колебаний Т намного менее длигельности этого ускорения. Кратковременное сейсмическое ускорение оказывает импульсивное воздействие на сооружение (сейсмический удар), если период сисо имых колеба-

ний T, по крайней мере в четыре раза превышает его длительность. При этом закон изменения кратковременного сейсмического ускорения не имеет значения. Значение имеет лишь скорость, которую приворетает почва в конце действия кратковременного сейсмического ускорения.

Рассмотрим предельный случай, когда имеет место математический точный импульс характеризуемый мгновенным ускорением

за промежуток времени $\Delta t \to 0$, т. е. когда основанию сооружения за время Δt сообщается скорость равная v. В этом случае для всех обертонов колебаний $Y_r(x)$ имеет место импульсивное действие, вызывающее свободное колебание системы.

В данном случае

при

$$0 < \epsilon < \Delta t$$
 $y_0(\epsilon) = \frac{1}{\epsilon}$.

при

$$1 - 2t \quad y_0(z) = 0.$$

Применяя в (1.8) теорему о среднем и переходя к пределу при условия $\Delta t \to 0$, получим:

$$q_{\varepsilon}(t) = --v_{\varepsilon} - r = t \sin \nu t. \tag{1.9}$$

Изгибающий момент, отвечающий /-ой фундаментальной функции бруса запишется так:

$$\mathcal{M}_{j} = EI \frac{d^{2}Y_{j}}{dx^{2}} q_{j}. \tag{1.10}$$

Подставляя значення Y, и q из выражений (1.2) и (1.9) и (1.40) восле некоторых преобразований получим:

$$M_{i} = -\frac{qP}{\pi} v p_{i} e^{-p_{i}} \pm t \gamma_{i} (x \sin p). \tag{1.11}$$

7.20

$$= \frac{2}{\mu_{I}} \left[\frac{\cos \mu_{I} + \cosh \mu_{I}}{\sin \mu_{I} + \sin \mu_{I}} \right] \left[\cosh \mu_{I} \frac{x}{I} + \cos \mu_{I} \frac{x}{e} \right]$$

$$= \left(\frac{\cos \mu_{I} - \cosh \mu_{I}}{\sin \mu_{I} + \sinh \mu_{I}} \right) \left(\sin \mu_{I} \frac{x}{I} + \sin \mu_{I} \right)$$
(1.12)

Значения для нервой, яторой и третьей формы свободных колебаний аля каждой двадцатой доли длины бруса приведены в табл. 1.

Полное значение нагибающего момента будет:

$$M = -\frac{qt^2}{2} v \sum p_{ijj} = v + t \sin p_i t. \tag{1.13}$$

На основании (1.3) вычислим периоды свободных колебания

$$p_j = \frac{\mu_j^2}{l!} \sqrt{\frac{gEI}{g}}. \qquad (1.14)$$

							Таблица 1
x/1	Tı	Ţs	13	x[I	11	n,	7.0
0,05 0,10 0,10 0,15 0,20 0,20 0,30 0,40 0,45	0,445 0,415 0,354 0,354 0,322 0,293 0,263 0,263 0,205 0,178	0,0391 0,0300 0,0206 0,0115 0,00275 0,00310 0,0195 0,0225 0,0225 0,0361	0.00925 0.00502 0.00153 -0.000935 -0.00326 -0.00490 -0.00510 -0.00391 -0.00205	0.50 0.53 0.60 0.65 0.73 0.73 0.73 0.95	0,181 0,126 0,102 0,1035 0,0665 0,0135 0,0255 0,0149 0,00748	-0.0251 0.0252 -0.0269 -0.0243 -0.0164 -0.0164 -0.00544 -0.00360 -0.003999	0,000158 0,00239 0,00351 0,00515 0,00515 0,00246 0,00246 0,00242 0,00242

Следовительно

$$T_{i} = \frac{2\pi}{p_{i}} = \frac{2\pi}{y_{i}} = \frac{2\pi}{y_{i}} = \frac{q_{i}}{gEI} \tag{(115)}$$

или можно написать

$$T_{\mu}^{\mu} = \text{const}$$

откуда считая 7, заданным, находим

$$T_j = \left(\frac{\mu_1}{\mu_j}\right)^2 T_1$$

На основании (1.14) вмеем

$$p_{j} = \frac{2\pi}{T_{T}} \left(\frac{\mu_{j}}{\mu_{1}} \right)^{4} \qquad (1.16)$$

Подставлян значения 1.16 в г 1.13 г для изгибающего момента, получим:

$$\mathcal{M} = -\frac{ql^2}{g} \frac{2\pi}{T_1} = \sum_{i=1}^{n} \left(\frac{1}{2}\right)^{\frac{n}{2}} \frac{1}{2} \sin \frac{2\pi}{T_1} \left(\frac{1}{2}\right)^{\frac{n}{2}} \left(\frac{1}{2}\right)^{\frac{n}{2}}$$

RAIN

$$M = -\frac{qI^2}{g} \frac{2\pi}{T_1} va(x, t),$$

где

$$z(x, t) = \sum_{n} {n \choose n} z(x) e^{-\frac{2n}{T_1} \left(\frac{n}{n_1} \right)^{\frac{n}{2}}} = z = \frac{2\pi}{T_1} \left(\frac{n}{n_2} \right)^{\frac{n}{2}}$$
(1.18)

Коэффициенты ряда (1.17) достигают максимальных значений последовательно, начиная с самых высцих при значениях $t=\frac{r_{ij}}{4}$. Первая форма колебаний, соотпетствующая наибольшему периолу 7, достигает максимального значения в по ледиюю очередь.

Таким образом, за время, равное одной четверти периода первой формы $t = \frac{T_1}{\pi}$ процесс колебания проходит через все свои харак-

териме стадии в смысле распределения инверционных нагрузок Конечно, процесс колебаний не является периодическим и во исе последующие отрезки времени, равные $\frac{T_1}{T_1}$ не повторяется в точности те состояния, которые имели место за время $\frac{T_2}{T_1}$. Но, если принять во внимание затухание колебаний, в силу которого амилитули всех, особенно, высшах форм в последующие вромежутки премени должны убывать, то можно считать, что для приклических целей состояние системы при t — не будет пр дставлять большего интересо, чем за первую ч тверть первого периода.

На этом основании можно приня 6, что для изучения максимальных инпраженных состояний ст ржия достаточно эграничиться рассмотрением окрестиисти первои четверти первого периоли. Нами исследови промежуток премени от 0,18 T_1 до 0,30 T_1 . В результате или различных сечения в различное времи получены следующие значения для коэффициента z(x, t), приведенные в табл. 2.

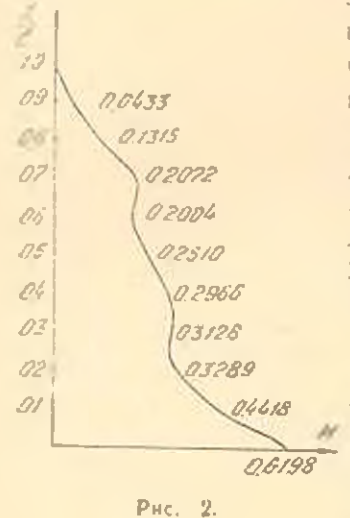
Tab.iuna 2

						renegation a
1	1 T ₁	1 (x, t)	z = 0.39 T ₁	$I = \frac{T_1}{4}$	1- I4 +	ไม่งาวมอส
			* (x. 1)	legar 2)	ile ti	форме
0,00 0,05 0,10 0,15 0,20 0,25 0,30 0,35 0,40 0,45 0,55 0,60 0,65 0,70 0,75 0,55	0,19 0,19 0,19 0,21 0,21 0,27 0,27 0,27 0,27 0,27 0,29 0,29 0,29 0,29 0,29	0,61955 0,53057 0,41156 0,37870 0,31255 0,31255 0,31450 0,29367 0,27716 0,25109 0,22274 0,2012 0,14527 0,14527 0,05143 0,05143	0,61955 0,32057 0,41156 0,35722 0,27659 0,20628 0,15221 0,03571 0,05571 0,02950 0,01322 0,00525 0,00525 0,00569	0.39215 0.35704 0.35704 0.35223 0.20203 0.26628 0.24160 0.24160 0.21772 0.24490 0.19081 0.17597 0.15949 0.12950 0.12950 0.09142 0.06572	0.22576 0.20520 0.18936 0.16924 0.16924 0.10956 0.07909 0.02039 - 0.02113 0.0232 0.13033 -0.16550 -0.19387 0.20241 -0.20244 -0.20728 -0.16568	0,4150 0,3990 0,3605 0,3033 0,2750 0,2470 0,2470 0,1924 0,1671 0,1643 0,1642 0,1642 0,1577 0,1427 0,1211 0,1030 0,4955
0,95 1,00	0,29	0,02444	0,00291 0,00159 0,0101 0	0,03923 0,01970 0,09666 0	-0,09726 -0,04334 -0,00950 0	0,0597 0-0290 0,00620 0

На припеденной выше таблицы изгибающего момента можно сделать следующие выводы. При всех рассмотренных значениях с наибольший можент всегда имеет често в основании бруса В начале возмущения большой эффект имеет место в верхних частях бруса.

В верхней части бруса получается сравнительно большая величина изгибающего момента, что может иметь решающее эначение

для сооружений из материалов илохо сопротивляющихся растяжению. Этим можно объяснить форму разрушения верхних частей сооружения во время землетрясения. На рис. 2 показана отибающая эпюра



моментов. Интересно отметить, что в сечении 0.7 изгибающий момент в 5 раз больше, чем изгибающий момент в том же сечени, когда и основание получается максимальный момент. В последней графе таблицы приведены значения изгибающего момента по И. Л. Корчинскому [3], т. е. расчет произведен по наиболее опасной форме колебания. Эти данные показывают, что наибольшее расхождение достигает 70%.

Сейсмический толиок. Если в основании сооружения имеет место сейсмический толчок, то как было отмечено выше он вызывает статический толчок, то как было отмечено выше он вызывает статический эффект относительно фундаментальной функции $Y_I(x)$, если соответствующий период свобод-

ных колебаний T, намного менее длительности действия толчка. Если уномянутое выше условие выполняется для основной гланной координаты и отвечающей ей фундаментальной функции 1, то оно подавно будет выполняться и для всех остальных фундаментальных функций и отвечающих им главных координат. На этом основании считая сейсмическое ускорение y_0 постоянным в уравнение (1.7) и интегрируя по частям, для нормальных координат q_1 получим:

$$q_{j} = -\frac{3}{p_{j}^{2}} \left[\frac{4y_{0}}{4+\alpha^{2}} \left[1 - e^{-\frac{1}{2}p_{j}t} \left(\frac{2}{2} \sin p_{j}t + \cos p_{j} t \right) \right]$$
 (1.19)

В целях упрощения формулы (1.19) приведем выражение в скоббах к виду

$$\frac{2}{2}\sin p_{i}t + \cos p_{i}t = A\sin(p_{i}t + b_{i}). \tag{1.20}$$

где А и « некоторые постоянные. Они определяются из уравнения:

$$\frac{1}{2} - A\cos \delta = 0,$$

$$1 - A\sin \delta = 0,$$
(1.21)

откуда волучим:

$$A = \pm \frac{1}{2} \left[-\frac{1}{2} + \frac{1}{4} \right]. \tag{1.22}$$

$$A = \arctan \left(\frac{2}{2} \right)$$

$$q_{j} = -\frac{2}{p_{j}^{2}} = \frac{-p_{j} \pm t}{\sin(p_{j}t + q_{j})}$$
 (1.23)

Так как при $t=0,\ q_i=0,\ {
m to}\ A$ и i имеют определенные знаки.

Для полного значения изгибающего момента по формуле (1.10), получим:

$$M = -\frac{qr^2}{g} \cdot \frac{4r_0}{x_0 + 4} \left[\sum_{i \neq j} \gamma_{i}(x) - \sum_{i} Ae^{-\frac{i}{2}\pi^{j}t} \gamma_{j} \sin(p_{j}t + \delta_{j}) \right] + (1.24)$$

Введем обозначение

$$\mathbf{z}(x, t) = \sum_{i} A e^{-it} \mathbf{y}_{i}(x) \sin(p_{i} t + s). \tag{1.25}$$

Непосредственным дифференцированием (1.19) получим, что нормальные координаты q_i достигают своих максимальных значений при

Следовательно при сейсмическом толчке, вмея ввиду затухлине колеблина, для нахождения максимальных напряженных состояний, следует особо исследовать малый промежуток времёни в окрестности $t=\frac{T_1}{2}$.

Для промежутков времени от 0.45 T_1 до 0.55 T_4 получены максимальные значения коэффициента $\mathbf{z}(\mathbf{x},t)$. Эти даниме приведены в тябл. 3. Коэффициент \mathbf{z}_0 непосредственно вычислен из уравнения для

Tagauna 2

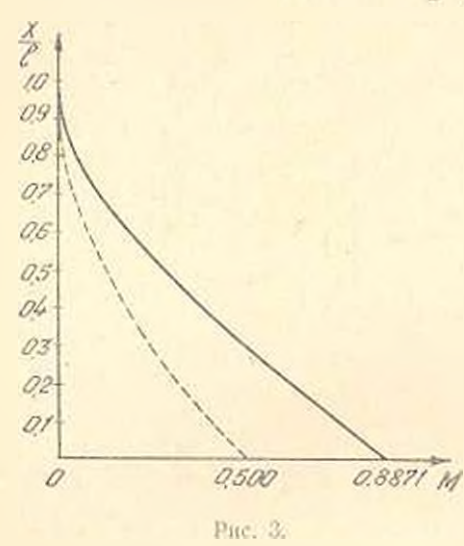
= X I	<i>t T</i> ₁	2 (5 (1)	4	14	21 - 2	$\frac{t = \frac{T_1}{2}}{x(x, t)}$	1
0,00 0,05 0,10 0,15 0,20 0,25 0,30 0,35 0,40 0,45 0,50 0,65 0,60 0,65 0,70 0,75 0,50 0,50 0,50 0,50 0,50 0,75 0,50 0,75 0,70 0,75 0,75 0,70 0,75 0,70 0,75 0,70 0,75 0,70 0,75 0,70 0,75 0,70 0,75 0,70 0,75 0,75 0,70 0,75	0,51 0,53 0,53 0,53 0,50 0,49 0,49 0,49 0,48 0,48 0,18 0,18 0,18 0,19 0,19 0,19	0,3935 0,3646 0,3561 0,3096 0,2940 6,2599 0,2353 0,2132 0,1595 0,1677 0,1152 0,1622 0,0526 0,0536 0,0463 0,0310 0,0167 0,0094 0,0022	0.4930 0.4500 0.4061 0.3655 0.2531 0.2470 0.2175 0.1779 0.4495 0.1001 0.0798 0.0472 0.0472 0.0215 0.0215 0.0014 0.0054	0,5000 0,4510 0,4050 0,3610 0,3610 0,2510 0,2150 0,1500 0,1510 0,1510 0,1510 0,1510 0,1510 0,013 0,0613 0,0313 0,0313 0,0313 0,0313 0,0310 0,0113	0,5571 0,5116 0,5125 0,6070 0,5129 0,4923 0,4923 0,4237 0,3677 0,3173 0,2652 0,2237 0,1520 0,1440 0,1109 0,0781 0,0781 0,0223 0,0223 0,0223	0,3903 0,3560 0,3317 0,3092 0,2595 0,2351 0,2120 0,1652 0,1110 0,4199 0,0953 0,0755 0,0400 0,0434 0,0258 0,0077 0,0020 0	-0.3522 -0.3351 -0.3179 -0.3011 -0.2829 -0.2643 -0.2431 -0.2025 -0.1572 -0.1572 -0.1108 -0.0990 -0.0077 -0.0194 -0.0328 -0.0028

изгибающего момента бруса, находящегося под постоянной распределенной нагрузкой $\frac{q}{x}$ у₀, т. с. по формуле

$$M = \frac{1}{2} \left(1 - \frac{x}{l} \right)^2. \tag{1.26}$$

Сопоставляя значения z_0 и a_0 заключаем, что ряд γ_I быстро сходится к сумме

$$\sum \gamma_{\ell}(x) = \frac{1}{2} \left(1 - \frac{x}{\ell} \right)^{4} \tag{1.27}$$



На рис. З показана отибающая энюра моментов чри голчке, причем пунктирная линия соответствует статическому загружению.

Нтяк, при сейсмическом голчке расчетный изгибающий момент выражается формулой (1.24): он гля некоторого участка стержия даже больше удвоенного статического, котя при расчете по отдельным формулам, изгибающий момент, во всяком случае, меньше удвоенного статического. Следовательно влияние членов ряда, соответствующих высшим формам колебаний достаточно велико.

§ 2. Савиговые колебания

При учете только слинга смещение y(x, t) удовлетворяют уравнению

$$\frac{\partial b}{\partial x^2} = \frac{q}{g} \frac{1}{kF(i \ \sigma t^2)} = 0. \tag{2.1}$$

гле F — площадь поперечного сечения, G — модуль сдвиги, е k — ко-эффициент, зависящий от формы поперечного сечения.

Подстановкой $y_{\ell}(x,|t)=Y_{\ell}(x)|q_{\ell}(t)$ для функций $Y_{\ell}(x)$ получается

$$V_{j}(x) = A_{j} \sin \frac{2j-1}{2} - x$$
 (2.2)

Круговая частота p_i определяется формулой

$$\rho_I = \frac{2i-1}{2I} \pi \left[-\frac{RFGg}{q} - \frac{12.31}{q} \right]$$

Вормальные координаты $q_f(t)$ удовлетворяют уравнению:

$$q_1 - p_1^2 e^{ix}$$
 y_0 . (2.4)

где

$$\beta_j = \frac{4}{\pi(2j-1)}$$
 (2.5)

Сейсмический удар. Для сейсмического удара в основании повторяя аналогичные рассуждения и преобразования для $q_{T}(t)$ получим:

$$q_{j}(t) = -\frac{3}{2} t \sin p_{j} t.$$
 (2.6)

Поперечная сила, отвечающая полному деформированному соетоянню, определяется по выражению

$$S = kFG \sum_{i=0}^{\infty} \frac{\partial y_i(x_i)}{\partial x_i}.$$
 (2.7)

Подставляя соответствующие значения $Y_i(x)$, $q_j(t)$ и γ_j и (2.7) восле некоторых преобразований получим:

$$S = -\frac{qt}{2} v \sum_{i \in [n]} p_{i(i)}(x) e^{-\frac{i}{2} p_{i}t} \sin p_{i}t, \qquad (2.8)$$

тде

$$y(x) = \frac{1}{(2/-1)^2} \cos \frac{2j-1}{2} \pi \frac{x}{l}$$
 (2.9)

Зявчение для первой пяти форм спободных колебаний для кождой двадцагой доли длины бруса приведен в габл. 4.

Tabanya 4

,x 1	Yı)a	73	ä	, 3
0,00	0,91057	0,09008	0,03212	0.01654	0,01001
0,05	0,50507	0,05757	0,02995	0,01110	0.00761
0,10	0,80060	0.05024	0,02292	0.00750	0.00156
8,15	0,75810	0,08519	0.01241	-0.00130	0.00523
0,20	0,77094	0,05293	()	0,00972	0.00952
0.25	0,74883	0,03446	- 0,01241	0.01528	0.00925
0,30	41,72223	0,01401	0,02292	0,01631	0.00455
0,35	0,69111	0,00700	- 0.02995	0.01259	0.00234
0.40	0,65575	-0.02793	-0,03242	-0.00511	0,00510
0.45	0.61637	0,01706	0.02995	0.00396	0.00999
0,50	0,57315	0,07309	0.02292	0.01120	0,00709
0,55	0,52639		-0.01241	0.01609	0.00079
0,60	0.47642	0,08565	d	0.01573	0.00559
0.65	0,42352	- 0,05978	0.01241	0.01074	-0.00973
0,70	0,36767	0,09895	0.02292	0.00259	-0.00992
9,75	0,31015	0.0S321	0,02995	- 0.0633	0 00393
0,50	0.25051	-0,07255	0,03242	0.01340	0.00309
0,55	0,18920	- 0,05949	0,02995	-0.01649	0.00553
0,911	0.12633	-0,61000	0.02292	-0.01474	0,00999
0,95	0,06359	0,02102	0.01211	0.00564	0,00,350
1,00	U	- 0	0	0	U

На основании (2.3)

$$T_{i} = \frac{2\pi}{p_{i}} = \frac{4l}{2l-1} \left[-\frac{q_{i}}{kl} \right]$$
 (2.10)

следова гельно

$$T_f = \frac{T_4}{2f - 1} {(2.11)}$$

Учитывая (2.10) и (2.11) для понеречной силы получим:

$$S = -\frac{ql}{g} \frac{2\pi}{T} = \sum_{i=1}^{n} (2i - 1) + (2i + c - \frac{\pi}{2} - \frac{1}{r_1} - \frac{1}{r_2} - \frac{2\pi}{r_1} + \frac{2\pi}{r_2} + \frac{2\pi}{r_1} + \frac{2\pi}{r_2} + \frac{$$

нлн

$$S = -\frac{qI}{g}\frac{dx}{T_1} \Rightarrow (z, t) .$$

гле

$$\Re(x, t) = \sum_{j=1}^{\infty} -(x)(2j-1)e^{-\frac{\pi}{2}\frac{2n}{T_1}}(2j-1) \exp\frac{2\pi}{T_1}(2j-1)$$
 (2.13)

В интервале 0,20 « с 0,30 для коэффициента \$(x, t) получены максимальные значения для каждой двадцатой доли длины бругса. Эти данные припедены в табл. 5.

Tab.mua 5

-							
.*	7	3 (x, t)	$\Delta = \frac{T_0}{4}$	$i = \frac{T_2}{1}$	$t = \frac{T_{\mathbf{a}}}{4}$	$l=\frac{74}{4}$	По одной
7	T ₁	1(2, 1)	3 4. 11	9 .c. 1	3 (20, 1)	3 (x, 1)	ជុំ ហ្គា អ8 ,
0,00 0,05	0,25	0.63247 0.62602	0,63247 0,62602	0,60031 0.61147	0,72314 0,65130	0,6658 6 0,61614	0,76150 0,75900
0 10 0,15 ₍₎ .20	0.25 0.20	0,61037 0,63307 0,61066	0 (31037 0,54451 0,39767	0,63550 0,64975 0,63492	0.59060 0.4290 0.30920	0,45222 0,20417 0,13116	0,75120. 0,7409 0,723 <u>90</u>
0,23 0,30 0,35	0,20 0.22 0.25	0.63113 0.64250 0.62591	0,59394 0,61011 0 625 11	0,54791 0 42141 0,26525	0,149* 0,0302 0,0020	0,0047 0 05539 0,05466	0,70420 0,6770 0,61990
0,40 0,45 0,50	0,25 0,25 0,18	0,63103 0,62141	0,63105 0,62003 0,59623	0,12190 0,01373 0,03959	0,02290 0,0422 - 0,0061	0,01870 0,02129 0,04162	0,6150 0,5793 0,5399
0,55 0,60 0,65	0.20 0.20 11,21	0,63475 0,63531 0,61591	0,52135 0,53921 0,56795 0,59276	0,01132 0,01150 0,02295 0,03000	0,0110 0,0115 0,0091 0,0012	0,03443 0,00922 -0,01983 -0,03196	0,19480 0,44620 0,39910 0,3425
0,70 0,75 0,80 a.85	0,24 0,25 0,25 0,25	0,59171 0,01638 0,61059 0,56038	0 61089	0,03270 0,00775 0,01576	0,0012 0,0027 0,0023	-0.02140 -0.00276 -0.00276	0,3110 0,2356 0,17840
0,90 0.95 1,00	0.25	0,12099	0, 22946 0 22946	-0,03127 0,02269 0	0,000,0 0,000,1 0	0,02919 0,021026 0	0,119 20 0,06100 0

На численных результатов, приведенных в табл. 5 видно, что величина поперечной силы в верхней части сооружения одинакового порядка с нижним, но так как на нижнюю часть сооружения действуют большие вертикальные нагрузки (вес), чем на верхнюю, то

4200

06108

Q6383

03

продольные стены верхних этажей должны повреждаться больше, чем стены нижних.

На рис. 4 показана отновющая этпора поперечных сил.

В протиноположность изгибу и начале воз- д мушения наибольший эффект имеет место в основании. Сопоставляя значение поперечных сил по да пяти формам колебаний со значениями по наиболее опасной форме, значения которых приведены в последней графе табл. 5. видно, что в случае ванита имеет место большие расхождения, особенно, в верхних частях.

Сейсмический толчок. При сейсмическом 0.4 толчке поперечная сила выражается формулой

$$\sum_{i=1}^{5} A e^{-xp_j} = \gamma_I(x) \sin(p_j t + \delta) = 3(x, t). \tag{2.15}$$

Исследованием промежутка времени $0.45\ T_1$ до $0.55\ T_1$ получены максимильные значения коэффициента 3 (х, т) приведенных в табл. 6 Таблина 6

ž	$\frac{t}{T_1}$	5 (x, t)	7.1	Pa	91 1 3	$t = \frac{1}{3(x, t_1)}$	$\frac{t-\frac{T_3}{2}}{9(x,1)}$	$t = \frac{T_3}{2}$ $\bar{g}(x, t)$
0,001 0,05 0,10 0,20 0,25 0,30 0,45 0,40 0,45 0,50 0,50 0,50 0,50 0,5	0,50 0,50 0,50 0,50 0,50 0,49 0,49 0,49 0,50 0,49 0,49 0,49 0,49 0,49 0,49 0,49 0,4	0.5031 0.7961 0.7761 0.7456 0.7456 0.6674 0.6255 0.5939 0.5449 0.4995 0.4114 1.3857 0.3201 0.2749 0.2295 0.1395 0.1395 0.1395	0,95960 0,94730 0,91292 0,96254 0,93462 0,74637 0,69246 0,61999 0,58949 0,55320 0,50533 9,45105 0,40062 0,34715 0,2676 0,19877 0,15270 0,15250 0,0254	1.00 0.95 0,90 0.85 0.80 0.75 0,65 0.56 0.30 0.40 0.35 0.30 0.25 0.20 0.11 0.25	1,7627 1,7434 1,69592 1,60914 1,51292 1,41377 1,31926 1,22779 1,14039 1,05270 0,96143 0,58545 0,76632 0,66725 0,57020 0,17626 0,34327 0,29120 0,1961 0,0954	- 0,3479 0,3195 0,3500 - 0,3510 0,3510 0,3136 - 0,3123 - 0,3106 - 0,3106 - 0,3106 - 0,3259 - 0,3117 0,2525 - 0,259 - 0,3117 0,2525 - 0,2436 0,1973 0,1474 0,0365 - 0,279	0,5080 -0,5070 -0,6090 -0,6095 -0,6095 -0,6046 -0,5040 -0,5742 -0,5135 -0,5023 -0,4532 -0,4532 -0,2457 -0,1989 -0,1520 -0,1520 -0,1011 -0,0525	-0.7154 -0.7173 -0.7217 -0.7244 -0.7220 -0.7090 -0.6939 -0.6472 -0.6016 -0.2312 -0.4090 -0.4476 -0.3377 -0.3469 -0.2997 -0.2505 -0.2003 -0.1497 -0.0389
1,00		0	U	()	0,0004	0 270	()	0,0194

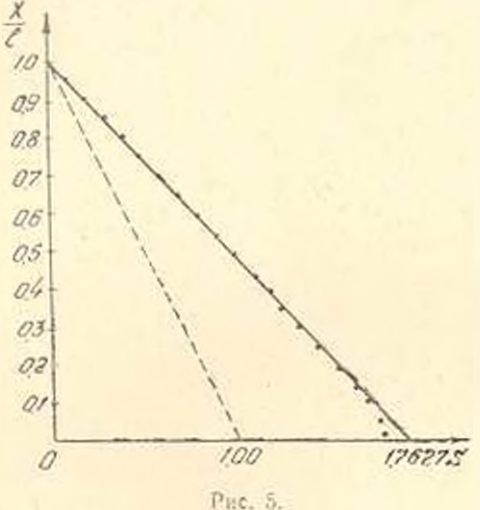
Коэффициент пепосредственно вычислен из уравнения для поперечной силы бруса, находящегося под постоянной распределенной нагрузкой $\frac{1}{g}$ $V_{\rm e}$, т. е. по формуле

$$S = \frac{q}{x} l y_0^*(x - l), \qquad (2.16)$$

Сопоставлением значений β_0 и β_1 прилем к выводу, что ряд γ_I в случае сдвига сходится к сумме

$$\sum \gamma_I(x) = 1 - \frac{x}{I} \tag{2.17}$$

что можно показать и непосредственным сумынрованием по методу Крылова [4]. На ряс. 5 показана отновношая эпкора поперечных сил



причем пунктирная линия соответствует статическому загружению.

Таким образом и результате исследовано распределение изгибающих моментов и поперечных сил в консольном брусе постоянного сечения при колебаниях под действием сейемических удара и толчка.

Результаты вычислений показали, что илияние членов ряда, соответствующих высшим формям колебаний достаточно пелико Поэтому при рассмотрении тех же залач приближенным мето-

Поступпло 20 VI 1957 г.

дом получается расхождение в среднем около 30%, али нагибающих моментов в сторону преуменьшения, а для поперечной силы приближенный метод двет результаты в 2 и более раза меньше. Во всех случаях в верхней части стержия получается сравнительно большая величина изгибающих моментов и поперечных сил, что может иметь решающее значение для разрушения сооружений из материалов плохо сопротивляющихся растяжению и срезу

Сейсмический толчок и удар вызывают свободные колебания сооружения. Колебание сооружения, в основном! будет зависеть от его жесткости. Действие толчка и удара на сооружение, в первую очередь, может вызвать разрушение жестких конструкций.

Инатилут стройматерилаов и сооружений АП Армянской ССР

b. b. 60.918806

ՍԵՅՍՄԻ ՀԱԲՎԱԾԻ ՈՒ ՀՐՄԱՆ ԱԶԳԵՑՈՒԹՅԱՆ ՏԱԿ ՁՈՂԻ ՏԱՏԱՆՈՒՄՆԵՐԸ՝ ԷՆԵՐԳԻՍՅԻ ՑՐՄԱՆ ՀԱՇՎԱՌՈՒՄՈՎ

Ամփոփում

շողվածում ուսանհասիրություն են ենթիարկվում սեստել Հարվածի և աղդեցության ատկ ձոդի ծոման ու ստերի աստանումները՝ Էնհրդիափ ցրման հաշվառումուն

Սելոմիկ շարվածը ընտ խաղարհում է կարճ ժումանակամիջոցում բափոկանաչափ մեծ արտղախկամը, որը առաջ 1. խորհր դետի շարժման արացուխյան մեջ։

Մայրի լածումը արվում է ֆունդամենտալ ֆունկդիաներով -արքի վերլուծ-« մեխողով։ Սակալն, նկատի անձնալով տատանման մարումը ներգիայի դրման չետևանքով, ինօրրի լուսումը սահմանափակված է շարրի ժանդամով ատասնամների դեպբում։ Ձորի լարարանչրոր կարվածրում դունված են ծուղ մոմենտի և կրարող աժի մարսիմալ արժերները, որոնը ստացվու են տարրիր ժամանակհերուս։

Բոլոր դևոլ թերում խկալին արժերները ցույց են տալիս, որ տատանման բարձր կարգի ձևերին համապատասիանող անդանների ազդեցախանը բաքականաչան մեծ է։ Այդ պատճառով այդ նույն խնդիրները մոտավոր մեբողներով բննարկելիս ձուպ մոմենաի համար սխալը ստացվում է 30%, իսկ կարող ուժի արժերը մոտավոր մեխաններով 2 և ավելի անդամ վարը է

Սերաքիկ Տրմատ մամանակ ձոցի լուրաքանչյուր կարված բում մարզմո-Հենաի և կորոց ուժի հաշվատումը կարելի է անհրաժե — հրատիկամբ կաապրել կրկնապատիկ ուսարիկ մե ազաք։

Հուլի մերնի մասում ստացվում են ծուղ սոմենաի և կարող ուժի հաժանատարար մեծ արժեղներ, որոնցով կարելի է բացատրել ավերիչ երկրաբարժերի ժամանակ չեն թերի վերևի մասից բալթարկելը։ Սերոմիկ հարվածր և հրամը առաջացնում են արև սեփական աստանումներ։ Հուլի ստաահերը հիմնականում կախված են նրա կոչուս իլանից։ Հայվածից և հրաժից առաջին չերինին բալջարիում են կոչու կոնսարակցիաները։

ЛИТЕРАТУРА

- 1. Назаров А. Г. Сейсмические толчки и удары и их действие на сооружение, АН ГрузССР, Труды бюро антисейсмического строительства, Тбилиси, 1945
- 1 Назаров А. Г. Метод инженерного анализа сейсмических сил. Изд. АН АрмССР. В Ереван, 1956.
- 3 Корчинский И. Л. Расчет сооружений на сейсмические воздействия. Гос. изд. лит. по строит. и архитектурс, М., 1954.

5 Mis. TH. 34 6, 57.

- 4, Крылов А. Н. Собрание тру ton, т. III, часть I, Изл. АН СССР, М.- Л., 1949.
- 5. Тимощенко С. П. Теория колебании в инженерном деле. М. 11 1955.
- Рабинович И. Л., Синицын А. Л., Теренин Б. М. Расчет сооружений на действие кратковременных в мгновенных сил. Часть первая, изд. ВИА, М., 1956.
- Рассказовский В. Т. Колебання гибких сооружений, вызванных действием краткевременных интерционных нагрузок, Известия АН УЗССР. № 6, 1956.
- 8. Груды Заканказского виститута сооружений, Выпуск третий. Тифлис. 1931.
- 9. Сегал Б. И. Семендяев К. Л. Пятизначные математические таблицы. АН СССР. М.—Л., 1950.
- Крылол А. Н. О некоторых анфференциальных уравнениях математической физики. М.—Л., 1950.

инженерная сеисмология

С. А. ПИРУЗЯН

К ВОПРОСУ ВЛИЯНИЯ МИКРОГЕОЛОГИИ НА ВЕЛИЧИНУ СИЛЫ СОТРЯСЕНИЯ ПО ДАННЫМ ГЕГЕЧКОРСКОГО ЗЕМЛЕТРЯСЕНИЯ 1957 г.

Эпицентр Гегечкорского землетрясения от 29 янвяря 1957 г. по предварительным данным находится примерно в 15 км. североносточнее районного центра гор. Гегечкори Западной Грузии, в районе известковой горы Асхи, на южных склонах Мегрельского хребта.

Гегечкорское землетрясение было одним из сильных за последние несколько лет на территории Кавказа.

В район вемлетрясения для обследования его последствий выехала экспедиция* Института строительного дела АН ГрузССР.

Экспедицией были обследованы следующие населенные пункты района, в той или иной степени претерпевшие разрушительные поледствия землетрясения: гор. Гегечкори, села — Балда, Гачедили (Гочкадили. Дидичкони I, Чайсовхоз (Дидичкони II). Салхино, Тамакони, Колхоз им. Куйбышева и Диди-Инчхия (северное продолжение Гегечкори). Отмеченные села входят в эпицентральную область с площадью примерно 150 км². В подавляющем большинстве, сельские дома деревиные, возвеленные на столбах-опорах высотой 1,5—2 метра. Таная конструкция, как известно, отличается большой гибкостью. Этим и объясняется сравнительно малая поврежденность сельских построек
при достаточно большой силе землетрясения.

Сила сотрясения в населенных пунктах определялась по повреждениям и разрушениям каменных домов на основании шкалы ГОСТ 6249—52. Было обследовано свыше 60 характерных зданий, на основании анализа повреждений которых величину силы сотрясения в упомянутых выше населениых пунктах можно оценить следующим образом: в гор. Гегечкори— VI—VII баллов, причем на северном его продолжении (ближе к эпицентру) на мощной галечной террасе реки Абаша она не превзошла VI баллов, а в самом городе имело величину порядка VI—VII баллов, в селении Гачедили—VII—VIII баллов, ближе к VIII, в селении Салхино VII—VIII баллов, в селении Дидичкони II—VIII—VIII баллов, ближе к VIII—VIII баллов, в селении Дидичкони II—VIII—VIII баллов, ближе к

[•] Экспедиция проводила полевые работы с 20 по 29 февраля. В работах принимали участие к. т. и. Джабуа, А. Сафарян, Р. Лординпаридзе, Ш. Напотваридзе, пр. Л. Махатадзе, Р. Пачуашвили, Н. Сагателова, Л. Бакрадзе и автор настоящей статьх

VII, в колхозе им. Куйбышева—VII—VIII баллов, в селения Тамакони—VII баллов*.

Настоящая заметка содержит некоторые результаты наших личных наблюдений по выяснению инженерио-геологических и микрогеологических условий зданий, расположенных в эницентральной зоне землетрисения и претериевших сотрясения различной силы. Полное же описание результатов экспедиционного обследования Гегечкорского землетрясения мы надеемся прочесть в работах других участников экспедиции в ближайшее время.

Согласно ехеме теоморфологических ландшафтов Грузии академика А. П. Джавахишвили, эта часть Мегрелии, вместе с частью Имеретив и Абхазии входит в зону межгорных цизин Грузии [1], в комплеке типов рельефа межгорной тектоинческой депрессии с жестким основанием. Рельеф здесь холмистый, предгорный, сильно расчлененный эррозией, гретичной пологоскладчатой структуры, с сильным развитием по окраниям постплиоценовых морских и речных террас. Это колжистое предгорые по своему тектоническому строению представляет собой одну из крупнейших синклипальных депрессий южного склона большого Кавказа, весьма сильно усложненную тектонически по северной и южнои периферической частям.

Морфологическим выражением интенсивных водноэррозновных и аккумуляциовных процессов, протекавших в описываемом рабоне пол воздействием энейрогенических движений илейстоценового времени, служат многочисленные террасы, развитые в долинах и вообще в более пониженных частях района. В описываемом районе речные террасы в большинстве случаев поствюрмского в более молодого возраста. Они протягиваются вдоль рек Техури, Абаша, Сачхуро, Цхенис-Цкали и др.

Сейсмические волим распространились от Мегрельской дуги на юго-восток, г. е. со стороны горного рельефа в направлении к долинному, проходя на своем пути через описанный выше предгоряо-холмистый рельеф, отличающийся широким развитием по окраинам почти
сливнихся древнях террас. С этим отчасти и связано быстрое затухание разрушительного эффекта землетряссиия. Уже в 30—35 км от
инцентра в предгорной равнийе имеем уменьшение интенсивности
землетрясения на 2—3 балла

Многие исследователи, обследовавшие последствия разрушительных землетрясений, начиная с В. Г. Абиха [2, 3, 4 и пр.], в своих отчетах и трудах указывали на большое влияние трунгово-геоморфологических условий на степень разрушения построек. Роль микрогеологии в распределении силы сотрясения почвы теперь считается общепризнанным.

Некоторые данные, выявленные в результате обследования последствий этого землетрясения в Западной Грузии, еще раз ваглядно

Оценивались повреждения от суммарного эффекта грех VII VIII-баллыных сейсмических толчков 24, 26 и 29 января. Последний был наиболее сильным.

показали, какое большое значение имеет правильный выбор места постройки с точки зрения груптов, морфологии рельефа и гидрогеологии для обеспечения ее сейсмостойкости.

Ниже остановимся на ряде характерных фактов, подтверждающих вышесказанное.

а) Дом райкома партии в городе Гегечкори получил значительные повреждения, оцениваемые в VII, а может быть и более баллов, а рядом с иим (в 8—10 метрах) здание гостиницы не получило почти викаких остаточных деформаций. Оба эти здания капитальные, двухыважные, стены из кирпичной кладки. По качеству постройки они одинаковы: дом райкома партии построен в 1955 г., имеет железобетонные элементы и перекрытие. С точки эрения гооморфологии и гидрогеология эти дома также находятся в одинаковых условиях—широкая терраса рекв Абаша с глубиной стояния грунтовых вод 4—5 ж.

Для выяснения причины резкого различия в степени поврежденпости этих зданий были вскрыты их фундаменты. Оказалось, что дом
райкома партии имеет маленькую глубину фундирования—0,70 м и,
что самое главное, основание фундамента опирается на пластичную
ілину, подстилаемую плотным гвлечинком. Фундамент прорезал толщу пластичной глины не до конца, осталась прослойка толициной в
20 см, которая и сыграла решающую роль в увеличении амплитуды
смещения или ускорения при землетрясении. Здание же гостиницы
фундировано на плотном аллювиальном галечинке и поэтому при горизонгальном сейсмическом толчке оно претерпевало сотрясение меньшей интенсивности.

Влиящие тех же пластичных глин сказывалось в увеличении разрушительного эффекта в зданиях школ N_2 1, N_2 и почты города Гегечкори.

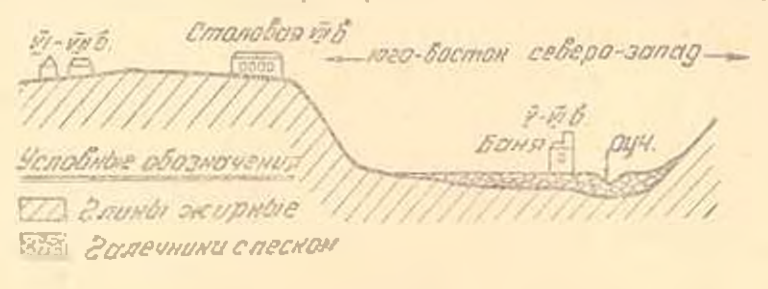
б) Известно существенное влияние теоморфологических факторов на распределение сил разрушительных землетряссиий [4, 8].

В процессе обследования землетрясения мы сталкивались с факнии, подтверждающими упомянутое положение. Из них можно указать, навример, на Мартвильский монастырь и городскую больницу, расположенные рядом на высоком холме 1250—300 м1, резко выраженного на ровном рельефе города и отрезанного крутыми склонани с трех сторон. Несмотря на хорошее качество постройки этих здаший и на то обстоятельство, что они основаны на коренных, довольно влотных мергелях, повреждения их значительны и сила сотрясения этого участка оценивается не менее VII баллов. Особенно паглядную картину предстанляет Мартвильский монастырь, который булучи построенным в VII веке до наших двей не имел новреждений. При этом землетрясении на куполе монастыря появилась большая сквозная трещия, рассекающая купол на две части.

Подобный факт влияния морфологии рельефа на увеличение разрушительного эффекта сейсмического толчка был зафиксирован севернее села Гачедили на 2—3 км, где на холмике, отрезанного со всех сторон глубокими селевыми оврагами, в делювиальном гливистом покрове, около дома крестьянина Чичия, образовалась трещина влоль обрыва длиною до 20 м в шириной от 3—4 см до 0,5—0,1 см. Дом Чичия тоже получил существенные повреждения—трещицы в стенах, пыпала штукатурка, вывалилась стенняя нечь, упала дымовая груба.

В отмеченных выше двух случаях отдельно стоящий холм себя вел как монолитное сооружение большого размера, вершина которого при землетрясении получила большее смешение и ускорение, нежели его подошва.

Другой наглядный пример зависимости распреледения интенсивности землетрясения от формы рельефа нами наблюден в сельнии Дидичкови II (Чайсовхоз), на примере зданий бани и столовой (фиг. 1).



Фил. 1.

Столовая совхоза стоит на бровке оврага Построена в 1955 году. Кладка стен гуфовая, системы "Мидис", голщина стен 50 гм, раствор кладки изпестковый, среднии. Повреждения значительны, по которым силу сотрясения можно оценить больше VII баллов.

Как вилно на сейсмогеологическом разрезе, стены столовой основаны на комковатой, жирной, латеритоподебной глине, глубина фунавмента 0.7 ж.

Банх изходится внизу, на дне оврага, недалеко от ручья. Здание бани не получило никаких повреждений: даже башия, возвышающаяся над перекрытием бани на 3—4 — не получила остаточных деформаций. Баня фундирована на галечнике. Сила сотрясения здания бани явно оценнялется меньше VI баллов. Различие в поврежденности инсывшемых зданий объясияется по-первых формой рельефа и во-вторых—грунтами основания фундамента.

в) Сильное увеличение сейсмического эффекта в зависимости от гидрогеологического фактора было констатировано в селе Гляедили, на примере Дома культуры. Это вполне современное, капитальное двухэтажное здание (строительство закончено в 1956 году) в течение нескольких секунд пришло в полную негодность (фиг. 2). Унала часть перекрытия, янивл угол поперечной и продольной стен, а также большая часть поперечной стены, почти все степы в углах отошли. На другой стороне улицы, напротив Дома культуры, стояла трансформаторная булка, которая совершенно развалилась. По этим двум понреждениям силу сотрясения свободно можно оценить больше VIII баллов.

Вскрытие фундамента Дома культуры показало, что уровень трунтовой воды находится на глубине 0.70 м. т. е. выше основания Втидамента, и что фундамент опирается на пластичные, сильно увлажненные глины. Это и служило причиной интенсивного разрушения увомянутых зданий.

 г) Следующее явление, на котором мы хотим остиновиться и которое отчетливо выявилось при обследовании, это влияние мощной завечной террасы на существенное уменьшение интенсивности сотря-



Фис. 2.

сения при сейсмическом толчке. Это положение доказывается рядом фактов, выявленных и селях Гегечкорского района, из которых ин опишем один наиболее яркий пример. На северном продолжении Е Гегечкори (село Дили-Инчхия), на мощной галечной террисе, прерычающейся на юге узкой долиной реки Инхчия, наблюдалось резкое ученьшение поврежденности построск по сравнению с повраждениями в селах, расположенных севернее Гегечкори (ближе к эпицентру) и выже южнее на 2—3 км, в самом гороле Гегечкори. Комплекс зданий Винзавола, ряд жилых домов и Дом культуры получили так мало повреждений, что их сотрясение трудно оценить даже в VI баллов.

Упомянутая герраса имеет мощность порядка 20 м, груптовая залегает на глубине больше 8—10 м.

На существенное уменьшение интейсивности сейсмических колебаний в мощных галечных накоплениях в свое время указывали И. А. Гаелнивили и А. П. Сафарян [5]. В данном случае их высказывание подтвердилось.

Затухание сейсмической энергии в четвертичных аллювиальных виносах в настоящее время считается спорным. В верхних слоях современных отложений, при прохождении через них сейсмических воли, по всей вероятности, происходит трансформация периодов этих воли от длинных к более коротким или наоборот: вследствии влияния пре-

обладающего периода собственных колебаний местности или данного грунта.

Как показывают последние исследования, слой мощностью порядка несколько десятков метров, отличающийся своим литологическим составом та следовательно и упругими характеристиками), в среде подстилающего и нокрывающего слоев, играет существенную роль в изменении амилитулы колебания и связанного с ним разрушительного эффекта [8, 9].

 д) Помимо изложенного, для сейсмостойкости сооружений большое значение имеет гакже направление прихода сейсмических воли.

В зависимости от направления сейсмического толчка тот или иной микрогеологический фактор может повлиять на величину интенсивности сейсмических колебаний или же может остаться инертным.

Сказанное можно наглядно иллюстрировать, сопоставляя две примерно одинаково мощные речные террасы в селе Гачедили и северной части Гегечкори.

В первом случае дом колхозника Гогия, стоящий на крае обрыва, разграничивающего с этой стороны террасу, развалился, а другие дома, находящиеся подальше от обрыва, получили существенные повреждения.

Было установлено (судя по направлению падения дымоходной трубы и другим повреждениям), что головная сейсмическая волна имела направление, примерно перпендикулярное к протяжению террасы. И поэтому волна, проходя через маленькую толщу галечной террасы (по ширине), не претерпевала каких-либо существенных изменений в смысле уменьшения разрушительного эффекта, а отвесный край террасы с воздвигнутым на нем домом получил максимальное сотрясение (эффект обрыва).

Во втором случае, на галечной террасе, протягивающейся севернее Гегечкори на несколько километров, как было упомянуто выше, не имеются почти никаких повреждений. Двухэтажное здание котельной внизавода, стоящее в 6—8 м от отвесного края террасы, несмотри на разнохарактерность кладки, не получил ин единого повреждения. Интенсивность его сотрясения явно оценивается меньше VI баллов.

По-видимому головная сейсмическая волна прошла вдоль галечной террасы по всему ее протяжению, в направлении примерно с севера на юг. Это обстоятельство изменило частотную характеристику и уменьшило первоначальную силу воздействия сейсмических колебаний на сооружения, воздвинутые на этой террасе. В пользу направления прихода сейсмического толчка вдоль протяжения этой террасы косвению говорит и тот факт, что здания бани и маслопрома, находящиеся на продолжении террасы, в своевременной долине реки Инхчия, на месте, где последняя примерно под прямым углом прорезывает террасу, не получили почти никаких повреждении. Если бы волна прошла вдоль русла реки (перпендикулярно геррасе) эти здания вряд ли избежали существенных повреждений (надо иметь ввиду неблаго-

приятный фактор нахождения зданий на припойменной террасе-грунты уплажнены).

Краткие выводы

- 1. С достаточнов гочностью максимальную силу Гегечкорского землетоясения можно оценить в VII VIII баллов.
- 2. При проведении сейсмического микрорайонирования по возможности надо учесть вероятные направления прихода сейсмических воли (расположение известных или потенциальных очагов землетрясений по отношению к территории населенного пункта).
- 3. Мадомонный (до 0,5 м) силой податливого или пластичного грунта под основанием сооружения приводит к увеличению сейсморазрушительного эффекта землетрясения на 1-2 балла.
- 4. Отвесные обрывы и отдельно стоящие холмы, при прочих равных условиях, увеличивают интенсивность сейсмических колебаний на 1-2 балла.
- 5. При высоком уровне стояния грунтовых вод (глубиной до 1 м) разрущительный эффект землетрясения увеличивается примерно на 2 балла.
- 6. Надпойменные речные галечные террасы, мощностью порядка 20 ж и глубиной зеркала грунтовых вод больше 10 ж при сейсмических явлениях уменьшают силу сотрясения на 1 балл.

Пользуясь случаем, приношу благодарность руководителю экспедиции 111. А. Джабуа и А. Н. Сафаряну за ценные советы и практическую помощь в период полевых работ. Институт стройматериалов и сооружений

Alt Армянской ССР

Поступнао 20 VII 1957 г.

II. II. ΦΕΡΒΕΣΒΙΙΝ

ՏՆՑՄԱՆ ՈՒԺԻ ՎՐԱ ՄԻԿՐՈԴԵՈԼՈԳԻԱՅԻ ԱԶԳԵՑՈՒԹՅԱՆ ՀԱՐՑԻ ՇՈՒՐՋԸ ԳԵԳԵՉԿՈՐԻՒ ԵՐԿՐԱՇԱՐԺԻ ՏՎՑԱՆԵՐՈՎ

Huhnhaed

Հոդվածում ասումնասիրվում է անդանքի միկրագևոյոցիայի, ինչպես նաև գևոմորֆոլոգիական ու Տիդրոդևոլոցիական առանձնաշատկախկանների արցեցությունը ռելաքիկ ուժերի ինտենարվության բակոչման վրա՝ երկրաշարdh dudwhing:

Դեպեչիորիի հրկրաշարժը Կովկասի սաշժաններում վերային տարիները տեղի աննցած ամենաուժեց երկրաբարժերից մեկն և Բավարար մատ թյումը նրա մարսիմալ ուժը կարևլի է դնամատել \III-\III բայլ։

Վրացական ՍՍՌ Գիտութքյունների ակացեմիայի Շինարարական գործի ինսախատան արգավականցի կազմում հեղինակը մասնակցել է երկրաշարժից ատ ժամ Գեպեչկորիի շրջանի 9 թնակավայրերի հետարատ ան աշխատան ընհրին։ Բոյոր այդ բնակավայրերը ժանաժ են երկրաբարժի Լպիցենարայ դոնայի մեջ, որը արդրիա է մոտավորապես 150 ջառ կմ. մակերևաց տարածախկան։ Երկրաբարժի ումը ընտկավայրերում որոշվել է հիմնականում բարև բննակերունների մնտաված բների ու թանդված բների դնահատմամո՝ FOCT 6249-52 ազյուսակի հիման վրա։

Նարադրված են չեղինակի անձնական դիտողությունների որոշ արդլունքները, որոնք, չիմնավորված լինելով մանրամասն նկարագրված վատաական նրաթով, ապացու հն. որ երկրաշարժի սկանասակերիչ էրեկար ավելանում և և 2 բայլի սահմանննկում և եթե դրանաային ունեն բարձր
մակարդակ (մինչև և մ. իտրաթիլամբ), եթե չինա թյանները կառուցված են
դարավուլերի եղբին կամ ասանձին կոնդնած բյուբների դադաիին և եթե
հատապված քի չիմ քամ ստիս է պրտատիկ, թեկա դ և փոքր չդորաթ
(մինչև 0,3 մ.) անդի ավող դրանա։ Հատետ թյունների մեծ նշվամ նաև,
որ դ ճալաքարային անրրասը 10 և ավելի մետ նշվամ նաև,
որ դ ճալաքարային անրրասը 10 և ավելի մետր խորաթիան վրա
դրունաային ջրերի չորիցների առկարաթյան դեպքում, վուրըացնում է սեւտմիկ աստանումների ինաննարկա թյանը առնվար և բայլաց հեր երևույթի
այա որ, չավանարար, սելանի այանարին ար հեր աստանում և սկզբնական պարբորաթիան մեծացումն է հրդ ալիբները անցնում հն ճայարարային տերրա-

Մարդծվում է, որ տելունի միկյություսիտոցում իրականացնելիս, ըստ հնարավորության պետը հայքի առնել երկրա-արժերի հայտնի և պրաենցիան օրակնների դասավորությունը ընտհրավարբե տերեսարիայի նկառանամբ. թանի որ մոտեցող գլխավոր տելունիկ ալիբների ազգաքիրոնից կախված այս կամ այս միկրադեպորիական դործոնը կարող է աղդել երկրա-արձե ամը փոփոխման (ենտայման կամ փորթացման) վրա, կամ կարող է իներտ մնուր

JHTEPATYPA

- 1. Джасалитынан А. И. Геоморфологические раноны Грузниской ССР. Изд. АН СССР, М., 1947, .1.
- 2. Абил Г. В. Земастрясение в Шемахе и Эрэруме в мае 1859 г. Записки КОИРГО, кинжко V, Тифанс, 1862.
- 3. Medoedes C. В. Опенка сейсмической базавности и зависимости от грунтовых усдовий. Труды Геофизического института № 14 (141) All СССР, 1952.
- 4. Сафарии А. И. К попросу сейсинчиости коренных скальных пород. Труды Института строительного дела АН ГрузССР, т. V. 1955.
- Гаелишев, и И. А. в Сафарян 1. П. Ваняние микрогеологии на сейсностойкость сооружений по данным Анхабадского земяетрясения от 5-6 октября 1948 г. Тру им Пиститута строительного дела АП ГССР, 1949 г.
- Сафарян А. И. Микросейсмические условия и групты в селениях, расположенных в 8 балльной зоне Ахалкалакского и Табацкурского ремлетрясений 1899 и 1940 гг. Институт строительного дела АН ГрузССР, Тбилиси, 1953.
- Кан А. З. К вопросу об учете грунтовых условий при сейсмическом микроройонировании. Труды Геофизического института. № 30 (157) М., 1955.
- Пучков С. В., Кац А. Э. Опыт инструментального сейсмического микрорайонирования грунтов. Труды Геофизического института, № 30 (157). М., 1955.

СТРОИТЕЛЬНАЯ ТЕХНИКА

К. А. МНДЖОЯН, И. А. ТЕР-АЗАРЬЕВ

СРАВНИТЕЛЬНЫЙ АНАЛИЗ ШТРІ ПСОВОЙ И ЛИСКОВОЙ РАСПИЛОВКИ ТУФОВ

Замечательные декоративные качества туфов Армянской ССР в сочетании с высокими показателями физико-механических своиств, дежают их весьмо ценным материалом для изготовления облицовочных

В настоящее время технология изготовления илит несьма примитивна и осуществляется либо на маятинковых станках со интрипсаив, с врисынкой абразивного материала, либо ни маятинковых стянках с полотнами, оснащенными твердым сплавом

Принципы получения илит на миятинковых станках, будучи разумными при распиловке твердых пород, оказываются кономически недостаточно целесообразными при распиловке туфов. Получившая, в последние годы, роспространение распиловка на станках, полотна которых оснащены гвердым силавом (1), правда, несколько увеличивают производительность, но вследствие особенностей конструкции станков и их кинематики не обеспечивают работу в зоне оптимальвых режимов резвиня. С этой гочки эрения лисковая распиловка мягких пород является более разумной и прогрессивной.

С целью совоставления методов штривсовой в дисковой распидовки, как е точки зрения производительности, так и с точки зрения определения условии экономической целесообразности того или инкго принципа в целом, в заборагории обработки камия Института стройматериалов и сооружения были постраныя специальные эксперименты, в основном при резании фельзитового туфа с пределом прочности на сжатие = 100 кг/см2. Принципнальное различие способов штринсовон и диско ой распиловки заключается в гом, что в первом случае распиловка производитея при помощи штринсов и кварцевого песка, и условиях непрерывной подачи воды, а во втором случас дисками, зубки которых армированы твердым спланом.

Часовая производительность при штринсовой распиловке выражается следующей формулой:

$$Q_{m} = \frac{60 \cdot n_{AB} \cdot S_{AB} \cdot 1}{100} = C_{1} \cdot n_{AB} \cdot S_{AB} \cdot \kappa^{2} / 4ac, \quad .$$

где п., - число двойных ходов в минуту;

S_{л.х} - подача на 1 двойной ход в мм;

1 — длина распиливаемого блока в ж.

Часовая производительность при дисковой распиловке определяется по формуле:

Qx
$$\frac{60 \cdot n \cdot S}{10} \cdot \frac{1}{(1+y)} = C_n \cdot n \cdot S$$
 $M \cdot yac$

где п-число оборотов диска в минуту:

S — подача на 1 оборот диска в м.н.;

1 — длина камня;

 $y = [HD-H^2 - врезание в мм;$

Н - высота распиливаемого камия в мм;

D - диаметр диска в мм.

Как видно из приведенных формул, производительность в обоих случаях зависит от числа двойных ходов или числа оборотов и соответствующей им величины подачи.

В случае штрипсовой распиловки, увеличение числа двойных холов представляется затруднительным, ввиду наличия больших качающихся масс, а величина подачи в сильной степени ограничена тем, что при ее увеличении, вследствие возрастания удельных давлений между штрипсом и камнем, режущий песок, не производя резание, раздробляется, что резко увеличивает энергоемкость пронесса и уменьшает срок службы штрипсов. Таким образом, производительность при штрипсовой распиловке несьма ограничена, с одной стороны, конструкцией станка и с другой стороны—спецификой самого принципа штрипсовой распиловки.

При дисковой распиловке как число оборотов диска, так и подача могут быть легко увеличены до их оптимальных значений с соответствующим увеличением производительности.

На основании полученных экспериментальных данных (2, 3, 4) ниже в таблице 1 приводятся оптимальные режимы резания при штринсовой и дисковой распиловке фельзитового туфа ($z = 100 \ \kappa z/e \, s^2$).

Для возможности сравнения обоих иссле юванных принципов, в таблице 2 приводятся основные техникоэкономические воказатели в условиях резания в зоне оптимальных скоростей.

Как вилно на данных габлицы 2, почти по всем основным показателям премущество на стороне дисковой распиловки. Тем не менее, для окончательного суждения, рассмотрим укруппению, расходы, связанные с эксплуатацией и применением того или пного принципа.

Себестоимость одного квадратного метра черной плиты в рублях, в общем виде, можно выразить следующим уравнением:

$$C=3+C_\kappa+C_\nu+C_a-C_\epsilon+C_\nu+C_\nu$$
 ,

гле 3 — зарплата; C_{κ} — стоимость камия; C_{ν} — стоимость инструмента; C_{a} —стоимость амортизации станков; C_{τ} — стоимость электроэнергии; C_{ν} — стоимость вспомогательных материалов; C_{ν} — накладные расходы.

Результаты ориентировочных подсчетов элементов себестоимости 1 м² черной плиты, в долях от зарилаты при штрипсовой распиловке приведены в таблице 3. Как видно из приведенных данных, при дисковой распиловке себестоимость черных плит удешевляется ва 30%. Анализ приведенных дляных позволяет сделять следующие выводы: производительность дисковой распиловки, по сравнению со

Тиблица 1

Режимы резаимя	Штрипеоная распиловка	
Число двойных ходов изи оборотов в минуту	500 700 45 45 63	21—29,5 1300 80—110
Пределы оптимальных подач и	1-2	69-600

Таблица 2

Наименопацие поклиателей	Для при интрипсо- ной рас- ния.		Примечание					
Толицина (виврина) режущего виструмента в мм	4 25 6° 0,006 48,5 1,56 41,7 400 2,24 41,5 30 36,0 0,08	18 7 7 20 0,020 110.0 105 5.5 29.5 10.0 1.5 10 —	У лиска D — 1200 мм: число зубов и лис ли- ини Z=40 Фактические расходы увеличены и лва раза г. к. после определенного износа инструмент выбрасывается. Ляя дисков учитывалось предание равное 40°/6 от данны камия.					

В произволственных условиях ширина пропила составляет 8—12 мм.

Таблица 3

Элемент себестоимости	Метол рас	пиловки
	штрипсовый	дисковый
3	0.1	0,16
Ск	2,36	2,75
Си	0,04	0.05
Ca	0,49	0,11
C ₃	0,11	0,05
Cu	0,05	-
Си	0.6	0,1
ИТОГ	0: 1,65	3,22

штрипсовой распиловкой, больше в 4.5 раза, при этом в первом случае перспективы увеличения производительности не ограничены за счет увеличения подачи; себестоимость плит при дисковой распиловке значительно меньше себестоимости плит, штрипсовой распиловки; расход электроэнергии на единицу продукции при дисковой распиловке вдвое меньше чем при штрипсовой распиловке, несмотря н некоторое увеличение ширины пропила; применение дисковых распиловочных станков приводит к лучшему использованию производственных плошадей за счет меньших габаритных размеров дисковых станков; при дисковой распиловке исключается применение присыпки и воды; дисковые распиловочные станки по сравнению со штрипсоными просты по кинематике и конструкции; при дисковой распиловке черные плиты получаются с меньшими отклонениями по толщине при лучшем качестве новерхности.

К числу недостатков дисковых станков следует отнести: ограниченность высоты получаемых плит (увеличение высоты связано с двукратным увеличением днаметра лиска): относительную сложность переточек зубков: завышенный объем отходов за счет ширины пропила.

Опыт показал, что получение плит из туфовых блоков высотой до 50 см с пределом прочности до 600 кг/см² целесообразнее осуществлять методом дисковей распиловки.

Пиститут стройматериалов и споружений АН Армянской ССР

Поступило 10 V 1957 г.

4. U. Haisabua, D. H. She Genebil

ՏՈՒՖԵՐԻ ՇՏՐԻՊՍԱՅԻՆ ԵՎ ՍԿԱՎԱՌԱԿԱՅԻՆ ՍՂՈՑՄԱՆ ՀԱՄԵՄԱՏԱԿԱՆ ՎԵՐԼՈՒԾՈՒՄԸ

Ավփոփում

Հայկական IIIII տուֆերի հիանալի դեկորտաիվ հատկախյունները, որոնջ դուդորդվամ են ֆիդիկամեխանիկական բարձր ցուցանիչների հետ, դարձնում են նրանց չատ արժեքավոր նյուխ երևադատման ստրեր ստանալու համարա

Սղոցման չարիպոտյին սկզրունքը, որը մեծ հաջողությամբ կիրառվում է ամուր ապարներից սալեր ստանալու համար, չատ անարդյունավետ է դասնում տաֆեր սղոցելիու Մինչդես սղոցման սկավառակային սկղրանքն այս դեպքում կարող է չատ արդյունավետ և պրորրեսիվ լինել։

Հողվածում բերված են այս հրիա սկզրունքների փորձնական հետազոսուխյունների արդյունքները, որոնց վերլուծումը խուլլ է տալիս հետևյալ հետեուխյուններն անել, ելնելով չահագործվող ջարիպսալին և նախագծվող սկավառակային հաստոցների տեխնիկական տվյուններից։

- 1. Սկավառակային ողոցման արտադրողականությունը համեմատած ջարիպոային ողոցման հետ 4,5 անդամ ավելի բարձր է, ըստ որում առաջին դեպքում արտադրողականության թարձրացման հեռանկարները, մտտուցման մեծացման հաշվին, անստեմանափակ են։
- 2. Սկավասակային ողոցման գևպքում սալերի ինքնարժերն զգալիորեն ավելի ցածր է, քան շարիպսային սգոցումով ստացված սալերինը, իսկ էներդիալի ծախութ վերագրված արտագրանքի մեկ միավորին, առաջին գեպքում մոտ 2 անգամ ուվելի փոքր է։
- 3. Սկավասակային շատառցների կիրոսումը չնարավորություն կատ ավևլի արդյունավետ օգտագործել արտագրական մակերեսները, որովչետե նրանց չափերը չամեմատած շարիպտույին չաստոցների չնա, ավելի փորը են։
- 4. Սկավառակային հաստոցներն ըստ իրենց կինսեմատիկայի և կոնստրակցիայի չատ ավելի պարզ են, քան չարիպսային հաստոցները։ Բացի դրանից առաջին դեպքում ռայերը կարող են ստացվել ավելի մեձ ճչդրտա-Ձյամը և մակերևույնի բարձր որակով։
- 5. Սղոցման սկավասակալին սկզրունքով աշխատող հաստոցների ինրուխյունների խվին պետք է դասել ողոցվող սալերի բարձրուխյան սահմանափակուխյունը, կարող գործիքի պարրերական սրման անհրաժեշտուխյունն ու բարդուխյունը և սղոցվածքի լաքսուխյան որոշ մեծացումը։

Ալուգիսով, սեղժման դեպքում մինչև 600 կզ/ռև՝ ամրուքվան սահման անեցող տաֆերից մինչև 500 մմ բարձրանքամբ սարեր ստանալու համար ողոցման սկավառակալին սկցրունքի կիրառումն ավելի նպատակահարմար է.

ЛИТЕРАТУРА

- 1. Немуровский А. А. Мартынюк Е. А. Пиление илисстияков и мраморов твердосплавными пилами. М., 1955.
- Миджови К. А. Виброредание и штринсовая распиловки (на армянском изыке).
 Ереван, 1957.
- 3. Касын М. В., Миджоян К. А. Штринсоная распиловка мраморов, "Строительные конструкции, изделия и материалы" №. 6. 1955.
- 4. Отчеты Лаборатории обработки камия Пиститута стройматериалов и сооружений АН Армянской ССР да 1954—1955 гг., Ереваи.
- Проектное задание станка для распилопки гуфоных блоков, КВ Министерства местной промышленности Арм, ССР, Ереван, 1955.

ականուն գրատությանական

Х. № 6, 1957 Серия технических наук

СТРОИТЕЛЬНАЯ ТЕХНИКА

К. А. МНДЖОЯН, И. А. ТЕР-АЗАРЬЕВ

СРАВНИТЕЛЬНЫЙ АНАЛИЗ ШТРІ ПСОВОЙ И ЛИСКОВОЙ РАСПИЛОВКИ ТУФОВ

Замечательные декоративные качества туфов Армянской ССР в сочетании с высокими показателями физико-механических своиств, дежают их весьмо ценным материалом для изготовления облицовочных

В настоящее время технология изготовления илит несьма примитивна и осуществляется либо на маятинковых станках со интрипсаив, с врисынкой абразивного материала, либо ни маятинковых стянках с полотнами, оснащенными твердым сплавом

Принципы получения илит на миятинковых станках, будучи разумными при распиловке твердых пород, оказываются кономически недостаточно целесообразными при распиловке туфов. Получившая, в последние годы, роспространение распиловка на станках, полотна которых оснащены гвердым силавом (1), правда, несколько увеличивают производительность, но вследствие особенностей конструкции станков и их кинематики не обеспечивают работу в зоне оптимальвых режимов резвиня. С этой гочки эрения лисковая распиловка мягких пород является более разумной и прогрессивной.

С целью совоставления методов штривсовой в дисковой распидовки, как е точки зрения производительности, так и с точки зрения определения условии экономической целесообразности того или инкго принципа в целом, в заборагории обработки камия Института стройматериалов и сооружения были постраныя специальные эксперименты, в основном при резании фельзитового туфа с пределом прочности на сжатие = 100 кг/см2. Принципнальное различие способов штринсовон и диско ой распиловки заключается в гом, что в первом случае распиловка производитея при помощи штринсов и кварцевого песка, и условиях непрерывной подачи воды, а во втором случас дисками, зубки которых армированы твердым спланом.

Часовая производительность при штринсовой распиловке выражается следующей формулой:

$$Q_{m} = \frac{60 \cdot n_{AB} \cdot S_{AB} \cdot 1}{100} = C_{1} \cdot n_{AB} \cdot S_{AB} \cdot \kappa^{2} / 4ac, \quad .$$

где п., - число двойных ходов в минуту;

S_{л.х} - подача на 1 двойной ход в мм;

1 — длина распиливаемого блока в ж.

Часовая производительность при дисковой распиловке определяется по формуле:

Qx
$$\frac{60 \cdot n \cdot S}{10} \cdot \frac{1}{(1+y)} = C_n \cdot n \cdot S$$
 $M \cdot yac$

где п-число оборотов диска в минуту:

S — подача на 1 оборот диска в м.н.;

1 — длина камня;

 $y = [HD-H^2 - врезание в мм;$

Н - высота распиливаемого камия в мм;

D - диаметр диска в мм.

Как видно из приведенных формул, производительность в обоих случаях зависит от числа двойных ходов или числа оборотов и соответствующей им величины подачи.

В случае штрипсовой распиловки, увеличение числа двойных холов представляется затруднительным, ввиду наличия больших качающихся масс, а величина подачи в сильной степени ограничена тем, что при ее увеличении, вследствие возрастания удельных давлений между штрипсом и камнем, режущий песок, не производя резание, раздробляется, что резко увеличивает энергоемкость пронесса и уменьшает срок службы штрипсов. Таким образом, производительность при штрипсовой распиловке несьма ограничена, с одной стороны, конструкцией станка и с другой стороны—спецификой самого принципа штрипсовой распиловки.

При дисковой распиловке как число оборотов диска, так и подача могут быть легко увеличены до их оптимальных значений с соответствующим увеличением производительности.

На основании полученных экспериментальных данных (2, 3, 4) ниже в таблице 1 приводятся оптимальные режимы резания при штринсовой и дисковой распиловке фельзитового туфа ($z = 100 \ \kappa z/e \, s^2$).

Для возможности сравнения обоих иссле юванных принципов, в таблице 2 приводятся основные техникоэкономические воказатели в условиях резания в зоне оптимальных скоростей.

Как вилно на данных габлицы 2, почти по всем основным показателям премущество на стороне дисковой распиловки. Тем не менее, для окончательного суждения, рассмотрим укруппению, расходы, связанные с эксплуатацией и применением того или пного принципа.

Себестоимость одного квадратного метра черной плиты в рублях, в общем виде, можно выразить следующим уравнением:

$$C=3+C_\kappa+C_\nu+C_a-C_\epsilon+C_\nu+C_\nu$$
 ,

гле 3 — зарплата; C_{κ} — стоимость камия; C_{ν} — стоимость инструмента; C_{a} —стоимость амортизации станков; C_{τ} — стоимость электроэнергии; C_{ν} — стоимость вспомогательных материалов; C_{ν} — накладные расходы.

Результаты ориентировочных подсчетов элементов себестоимости 1 м² черной плиты, в долях от зарилаты при штрипсовой распиловке приведены в таблице 3. Как видно из приведенных данных, при дисковой распиловке себестоимость черных плит удешевляется ва 30%. Анализ приведенных дляных позволяет сделять следующие выводы: производительность дисковой распиловки, по сравнению со

Тиблица 1

Режимы резаимя	Штрипеоная распиловка	
Число двойных ходов изи оборотов в минуту	500 700 45 45 63	21—29,5 1300 80—110
Пределы оптимальных подач и	1-2	69-600

Таблица 2

Наименопацие поклиателей	Для при интрипсо- ной рас- ния.		Примечание					
Толицина (виврина) режущего виструмента в мм	4 25 6° 0,006 48,5 1,56 41,7 400 2,24 41,5 30 36,0 0,08	18 7 7 20 0,020 110.0 105 5.5 29.5 10.0 1.5 10 —	У лиска D — 1200 мм: число зубов и лис ли- ини Z=40 Фактические расходы увеличены и лва раза г. к. после определенного износа инструмент выбрасывается. Ляя дисков учитывалось предание равное 40°/6 от данны камия.					

В произволственных условиях ширина пропила составляет 8—12 мм.

Таблица 3

Элемент себестоимости	Метол рас	пиловки
XRLOR 8	штрипсовый	дисковый
3	0,1	0,16
Ск	2,36	2,75
Си	0,04	0,05
Ca	0,49	0,11
Сэ	0,11	0,05
Cu	0,05	-
Си	0,6	0,1
ИТОГ	O: 1,65	3,22

штрипсовой распиловкой, больше в 4.5 раза, при этом в первом случае перспективы увеличения производительности не ограничены за счет увеличения подачи; себестоимость плит при дисковой распиловке значительно меньше себестоимости плит, штрипсовой распиловки; расход электроэнергии на единицу продукции при дисковой распиловке вдвое меньше чем при штрипсовой распиловке, несмотря н некоторое увеличение ширины пропила; применение дисковых распиловочных станков приводит к лучшему использованию производственных плошадей за счет меньших габаритных размеров дисковых станков; при дисковой распиловке исключается применение присыпки и воды; дисковые распиловочные станки по сравнению со штрипсоными просты по кинематике и конструкции; при дисковой распиловке черные плиты получаются с меньшими отклонениями по толщине при лучшем качестве новерхности.

К числу недостатков дисковых станков следует отнести: ограниченность высоты получаемых плит (увеличение высоты связано с двукратным увеличением днаметра лиска): относительную сложность переточек зубков: завышенный объем отходов за счет ширины пропила.

Опыт локазял, что получение плит из туфовых блоков высотой до 50 см с пределом прочности до 600 кг/см² целесообразнее осуществлять методом дисковей распиловки.

Институт стройматериалов и споружений АН Армянской ССР

Поступило 10 V 1957 г.

4. U. Haisabua, D. H. She Genebil

ՏՈՒՖԵՐԻ ՇՏՐԻՊՍԱՅԻՆ ԵՎ ՍԿԱՎԱՌԱԿԱՅԻՆ ՍՂՈՑՄԱՆ ՀԱՄԵՄԱՏԱԿԱՆ ՎԵՐԼՈՒԾՈՒՄԸ

Ավփոփում

Հայկական IIIII տուֆերի Տիանալի դեկորտաիվ հատկախյունները, որոնջ դուդորդվամ են ֆիդիկամեխանիկական բարձր ցուցանիչների հետ, դարձնում են նրանց չատ արժեքավոր նրուխ երևադտանան սալեր ստանալու համար։

Սդոցման չարիպոտյին սկզրունքը, որը մեծ հաջողությամբ կիրառվում է ամուր ապարներից սալեր ստանալու համար, չատ անարդյունավետ է դառնում տաֆեր սղոցելիու Մինչդես սղոցման սկավառակային սկղրանքն ալս դեպքում կարող է չատ արդյունավետ և պրորրեսիվ լինել։

Հողվածում բերված են այս հրիա սկզրունքների փորձնական հետազոսուխյունների արդյունքները, որոնց վերլուծումը խուլլ է տալիս հետևյալ հետեուխյուններն անել, ելնելով չահագործվող ջարիպսալին և նախագծվող սկավառակային հաստոցների տեխնիկական տվյուններից։

- 1. Սկավառակային ողոցման արտադրողականությունը համեմատած ջարիպոային ողոցման հետ 4,5 անդամ ավելի բարձր է, ըստ որում առաջին դեպքում արտադրողականության թարձրացման հեռանկարները, մտտուցման մեծացման հաշվին, անստեմանափակ են։
- 2. Սկավասակային ողոցման գևպքում սալերի ինքնարժերն զգալիորեն ավելի ցածր է, քան շարիպսային սգոցումով ստացված սալերինը, իսկ էներդիալի ծախութ վերագրված արտագրանքի մեկ միավորին, առաջին գեպքում մոտ 2 անգամ ուվելի փոքր է։
- 3. Սկավասակային հասառցների կիրոսումը հնարավորություն կատ ավելի արդյունավետ օգտագործել արտագրական մակերեսները, որովհետե նրանց Հափերը համեմատած շարիպսային հասասցների հետ, ավելի փորբ են։
- 4. Սկավառակային հաստոցներն ըստ իրենց կինսեմատիկայի և կոնստրակցիայի չատ ավելի պարզ են, քան չարիպսային հաստոցները։ Բացի դրանից առաջին դեպքում ռայերը կարող են ստացվել ավելի մեձ ճչդրտա-Ձյամը և մակերևույնի բարձր որակով։
- 5. Սղոցման սկավասակալին սկզրունքով աշխատող հաստոցների ինրուխյունների խվին պետք է դասել ողոցվող սալերի բարձրուխյան սահմանափակուխյունը, կարող գործիքի պարրերական սրման անհրաժեշտուխյունն ու բարդուխյունը և սղոցվածքի լաքսուխյան որոշ մեծացումը։

Ալուգիսով, սեղժման դեպքում մինչև 600 կզ/ռև՝ ամրուքվան սահման անեցող տաֆերից մինչև 500 մմ բարձրանքամբ սարեր ստանալու համար ողոցման սկավառակալին սկցրունքի կիրառումն ավելի նպատակահարմար է.

ЛИТЕРАТУРА

- 1. Немуровский А. А. Мартынюк Е. А. Пиление илисстияков и мраморов твердосплавными пилами. М., 1955.
- Миджови К. А. Виброредание и штринсовая распиловки (на армянском изыке).
 Ереван, 1957.
- 3. Касын М. В., Миджоян К. А. Штринсоная распиловка мраморов, "Строительные конструкции, изделия и материалы" №. 6. 1955.
- 4. Отчеты Лаборатории обработки камия Пиститута стройматериалов и сооружений АН Армянской ССР да 1954—1955 гг., Ереваи.
- Проектное задание станка для распилопки гуфоных блоков, КВ Министерства местной промышленности Арм, ССР, Ереван, 1955.

ՀԱՅԿԱԿԱՆ ՍՍՌ ԳԻՏՈՒԹՅՈՒՆՆԵՐԻ ԱԿԱԴԵՄԻԱՅԻ ՏԵՂԵԿԱԳԻՐ ИЗВЕСТИЯ АКАДЕМИИ НАУК АРМЯНСКОВ ССР Х, № 6,

Տեխնիկական գիտութ, սեբիա

НАУЧНЫЕ ЗАМЕТКИ

Л. И. БАРОН, Е. А. СИМОНЯН

УГЛЫ ТРЕНИЯ ЖЕЛЕЗНОЙ РУЛЫ РАЗНОЙ КРУППОСТИ ПО БЕТОНУ

В нашен работе [1] были приведены результаты экспериментального исследования углов трения отбитой руды различного гранулометрического состава по дереву и железу. Указаниые данные имеют существенное значение для правильного проектирования погрузочнотранспортных машин и устрейств, в особенности для установления целесообразных углов наклона дини люков.

В современных конструкциях люков наряду с деревом и металлом в последние годы все большее применение стал получать бетои.

Между тем в горнотехнической литературе приводятся неприемлемые для проектирования общие рекомендации относительно углов трения руды по бетопу. Так, в справочнике по обогащению полезных нскопаемых [2, стр. 19], в тоблице 3 даны углы трения дробленной отгрохоченной (40) и свежедобытой руды (45) по бетону, без учета ее гранулометрического состава.

Экспериментальные исследования углов трения отбитой кварцито-магнетитовой руды по бетону были осуществлены авторами" на той же подземной опытной установке Института горного деля АН СССР /рудник им. 14. М. Губкина на Курской магнитной апомални), на которой проводились опыты, издоженные в работе [1].

На деревянное динще модели люка была уложена железобетонная плита толщиной 50 мм. Плита, изготовленияя из бетона марки .170", имела внутреннюю армировку из металлических прутьев. В качестве вяжущего вещества был использован цемент марки "500".

В ходе экспериментов определялись углы трения для однородных илассов и смесей. Выпуску подвергалась руда шести однородных классов крупности — II—VII [1, табл. 1].

В качестве смеси, как и и предыдущих опытах, быди приняты три двухкомпонентные [1, табл. 3] и одна многокомпонентная (табл. 1) смеси, составленные из однородных по крупности классов.

На кажный опыт в воронку модели люка так же, как и в предыдущих экспериментах, загружали порцию руды объемом 123 дм3.

[•] Опыты по определению углов трения озбитой руды по бегону проподились сопивство с Г. В. Голопской, а подготовка руды в экспериментам — сопивство с А. С. Воронюком.

^{6.} Изв. TH, № 6, 57.

7	20			Ца	
2 .	CAL	м	ш	440	

Состав рудинчной смесн						
Номера классов по таблице I [1]	1	11	п	IV	V	VI
Объемное содержа- ние смеси в ⁰ / ₀ Вес одной порини в кг	30 43	30 50	16 30	12 25	7	5

Результаты опытов по определению углов трения руды различного гранулометрического состава по бетону приведены в табл. 2.

Каждое из приведенных значений углов трения представляет собой среднее из двух трех определений (повторных опытов). И в дан-

Таблица 2 Результаты опытов по определению углов трения отбитой руды по бетону

	Значение углов трения (град.) для:								
однородных классоп (размеры в им)						смесей			
-160 + 8 0	-80-1-40	-40 - 20	20 + 8	-8 +5	< 5	No 1	№ 2	Nº 3	• Жоничной•
29,5	30,5	32.0	32,5	35,0	36,5	28,0	30,0	32,5	27,5

ном случае опыты подтвердили непосредственную зависимость угла трения от крупности кусков: чем куски мельче, тем этот угол больше. В исследованном диапазоне крупности кусков для однородных классов разница между значениями величины углов трения у крайних классов (наиболее крупного — 160 + 80 мм, и наиболее мелкого < 5 мм) составляет 7° .

Характерно, что интенсивное уменьшение величины углов грения происходит в диапазоне наиболее мелких однородних классов (при крупности кусков руды < 20 мм) и сравнительно меньше при более крупных кусках — 160 + 20 мм). Аналогичная зависимость наблюдается для значения углов грения руды по дереву и железу [1, фиг.3].

Следует отметигь, что с уменьшением крупности заполнителя, как и при предыдущих экспериментах [1, стр. 73], угол трения возрастает. Для двухкомпонентных смесей № 1—3 он выше, чем для "рудничной смеси".

Как показали эксперименты, при движении смеси, угол ее трення по бетону меньше, чем соответствующий угол для заполнителя смеси [табл. 2]. Большой интерес представляет возможность определения средневзвешенных значений углов трения отбитой руды [1, стр. 73 и 75] по бетону.

^{*} Многокомпонентная смесь состояла на однородных классов крупности приблизительно в такой пропорции, в какой она содержалась в рядовой отбитой руде из проходческих забоев. Поэтому она названа "моделированной рудинчной смесью" или кратко "рудинчной смесью".

Коэффициент нариации расчетных показателей относительно данных опыта составил — $4.4^{\circ}/_{\circ}$ при расчетах по объемным содержаниям и $4.5^{\circ}/_{\circ}$ — по весовым.

Подсчет средневзвешенного значения величины угля трения, как видим, дал и в этом случае вполне приемлемый по точности количественный результат.

Как известно из механики сыпучих тел, коэффициенты трения покоя для сыпучих и кусковых материалов больше коэффициентов трения движения. Ввилу того, что люковая погрузка руды, как правило, производится из заполненного люка, при проектировании таких погрузочных устройств следует учитывать коэффициент трения покоя. Это связано с тем, что угол наклона динца должен обеспечить выпуск всей массы находящейся на пем рулы.

Выволы

- 1. Определены значения углов и коэффициентов трения кварцигомагнетитовой руды разной крупности по бетону. Значения (полученные на крупной модели: отличаются от величин, рекомендуемых в литературе.
- 2. Донолнительно полтверждена возможность использования предложенного авторами [1] метода расчетного определения средневавешенных значений углов и коэффиниентов трения для сыпучих смесей разной крупности по величине соответствующего параметра для каждого из компонентов смеси.

Ниститут горного дела АН СССР. Институт геологических наук АН АрмССР

Поступнао 3, VIII.1957.

է, Ե. ԲԱՐՈՆ, Ե. Ա. ՍԻՄՈՆՑԱՆ

ԵՐԿԱՔԱՅԻՆ ՀԱՆՔԱՆՅՈՒԹԵՐԻ ՏԱՐՔԵՐ ՄԵԾՈՒԹՅԱՆ ՔԵԿՈՐՆԵՐԻ ՔԵՏՈՆԻ ՀԵՏ ՇՓՄԱՆ ԱՆԿՅՈՒՆՆԵՐԸ

Ամփոփում

Մեր Նախորդ Հոգվածում [1] արված են դանադան մեծավվան Հանքանյավվերի և փայան ու երկավվել միջև շվոքան անկչունների է բադերիմենտալ հետադոտավվունների արգյունքները։

Վերջերո ժամանակակից լրոկերում փալտից և մետադից բացի միաժամանակ մեծ կիրոտուխյուն է դանում նաև րետարւ

Տարրեր ժեծության հանրարարի և րետոնի ժիջև չփժան անկլունների որոշժան վարձերի արդյունըները ընթված են (2) աղլուսակում։ ղեպքում փորձերի արդակար մեկ անդան ևս վկարում են «Ունան դապի հատկան հարա մայների մեսին հանկարում և

Քնարոշ է, որ շփոնան անկլունների մեծախլունների ինտեսիվ նվագամը կատարվում է համասես ամենափորը իսքրերի սահմաններամ (համ ըստելութի կտորների մեծությունը < 20 մմ) և այդ անկյունը համեմատարար փոքր և այկ իրությունը համեմատարար փոքր և այկ իրությունը համեմատարար փոքր և այկի խոշոր (20 մմ մինչև 160 մմ) կտորների մոտ

հանան օրինսագումիու թուն դիսովում է նաև հանդանյանի և փայրսի ա

երկանեն միջև շփման անկլա նների արժե բների համար

եկտաի ունենայով, որ լյուկային բարձումն որտես կանոն կատարվում է լյուկից, նրանց նախաղծման դեպքում անշրաժեչա է ամնել նյունի հանդիսա վիճակի շվանա գործակիցը։

Դու կախման է այն թանից, որ լյուկը հատակի թև ան անկլունը պետը է ա _____ մեջ գանվող հան քանյուքնի ամրայջ դանդվածի դուրս հա նումը։

JIHTEPATYPA

1. Варон Л. И., Симония Е. А. Экспериментальное исследование углон трения отбитой руды разной крупности по дерепу и по железу. Папестии Акалемии наук, Арм.ССР, т. VIII, № 3, 1955, стр. 67—79.

2. Справочник по обогашению полезных исканаемых, т. 1V, Металлургиздат, М.,

1950.

НАУЧНЫЕ ЗАМЕТКИ

М. С. ПОХСРАРЯН

О НЕРАЗМЫВАЮЩИХ СКОРОСТЯХ ПОТОКА

Решение ряда попросов динамики русловых процессов требует правильного определения перазминающей скорости потока, т. е. изибольшей средней скорести, ири которой еще не происходит перелвижение частиц групта, слатающих русло потока. Определением этой скорости, когди частина находится на плоскости дна, но в случае квадратичного закона совротивления, занимались профессора М. А. Великапов. 11. 11. Леви, В. Н. Гончоров. П. Г. Шамов. П. Я. Орлов и другие. На основе резульзится четырех серий опитов с мелкозерниельми песками В. С. Кнороз [1] предлагает формулы в записимости от числа Рейнольдея Одиако при малых размерах твердых частии автор сам признает необходимость уточнения своей формулы. В дальнейшем проф. И. В. Егназаров [2,3] путем установления заинсимости коэффициента сопротивления русла от числа Рейнольдев отнесенного в скорости грения и днаметру частиц, получает обобщенное выражение перазмывающей скорости для всех зои движения потока и для всех условий обтеквния частиц, т. е. для всех фракций прямого широкого потока.

Более общий случай, когда частица лежит на откосе канала, расемотрен Б. А. Пыникиным [4]. Последним исключена вз рассмотрения подъемная сила и вертикальные составляющие поперечной циркуляции, хотя как известно они играют нажную роль и установлении условий устойчивости частицы на откосе и на дне. Кроме того, формула Пынкина верна голько в квадратичной области сопротивления.

Нами в дальнейшем рассматривается равновесие несвязной частицы диаметром и, лежащей на отвосе с малым продольным уклоном и с учетом влияния поворота нотока (циркуляция), с испольвонянием результатов исследования И. В. Егиазарова, т. е. с обобщением на все зоны движения. Угол между горизонтом и откосом в даннов точке обознячим через и (рис. 1а), Как общий случай принимаем, что движение циркуляционное, при этом паправление течения в данной точке составляет угол э с горизонтальной обрязующей откоса и 90 — 4 с вертикалью. Рассмотрим следующие силы, действуюпине на частину:

а) лобовую силу W, имеющую направление скорости

$$W = c_s \frac{\gamma}{g} \cdot \frac{\tau d}{4} \cdot c_{\text{aon}} \tag{1}$$

где c_x — коэффициент добового сопротивления при трогании частицы, у—удельный вес воды, $v_{\rm дов}$ —скорость у частицы или донная скорость;

б) силу веса члетицы P_t со своими составляющими P_u и P_t (рис. 16);

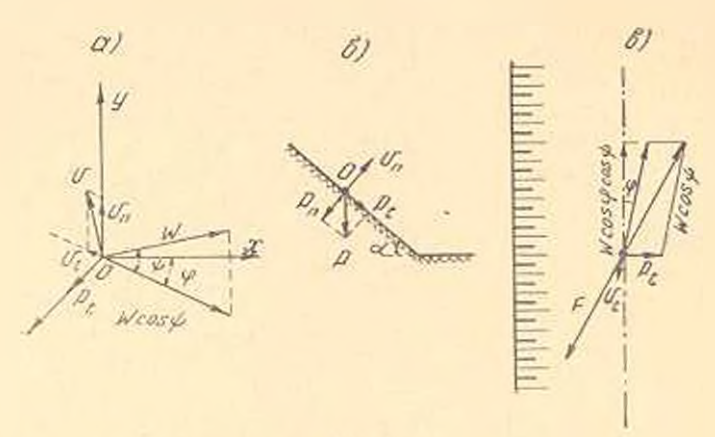


Рис. 1.

$$P = (\gamma_1 - \gamma) \frac{\pi d^3}{6}, \quad P_n = P \cos \alpha, \quad P_t = P \sin \alpha$$
 (2)

в) подъемную силу V, перпендикулярную лобовому сопротивлению, которая имеет следующий вид:

$$V = c_s \frac{1}{k} \cdot \frac{-a^2}{k} \cdot a^2$$
(3)

гле с. - коэффициент подъемной силы;

г) силу трения F. равную равнодействующей горизонтальных сил, лежащих на самом откосе. Она направлена против течения и представляется как произведение коэффициента трения при трогании и нормальных сил

$$F = f_0^1 (P_n - V \cos \phi), \tag{4}$$

Составим условне равновесня этих сил, которым обусловлено и равновесие частицы. На основании рис. 16) это условие будет:

$$|(W\cos\psi - V\sin\psi)\cos\psi|^2 + [(W\cos\psi - V\sin\psi)\sin\phi - P_*]^2 - F^2$$
, (5)

Подставляя в (5) выражения (1)—(4) и после элементарного преобразования получим биквадратное уравнение относительно донной скорости, решение которого дает:

$$v_{\text{aun}} = \sqrt{\frac{2g}{3c_x}d\left(\frac{\gamma_1}{\gamma} - 1\right)} \cdot (-A \pm \frac{1}{2}A^2 - B)$$
 (6)

где

$$A = \frac{\left(\cos\psi - \frac{c_y}{c_x}\sin\psi\right)\sin\varphi \cdot \sin\alpha + \frac{c_y}{c_x}f_0^{1^2}\cos\psi \cdot \cos\alpha}{\left(\cos\psi - \frac{c_y}{c_x}\sin\psi\right)^2 - f_0^{1^2}\frac{c_y^2}{c_x^2}\cos^2\psi}$$

$$B = \frac{\left[\left(\cos\psi - \frac{c_y}{c_x}\sin\psi\right)^2 - \int_0^1 \cos^2\phi + \int_0^1 \cos^2\phi + \int_0^1 \cos^2\phi + \int_0^1 \cos\phi + \int_0^1 \cos$$

Последним уравнением определяется в циркуляционном потоке (наличие углов с и ф) начало трогания частицы лежащей на откосе с углом «.

Рассмотрим частный случай общей формулы (6). Когда поток беспиркуляционный и частица находится на дне широкого прямолинейного русла, т. с. углы $\alpha = \infty = 0$, нз (6) получается, что

$$v_{\text{dos}}^{1} = \sqrt{\frac{2f_{0}^{1}}{3c_{x}\left(1 + f_{0}^{1}\frac{c_{y}}{c_{x}}\right)}} \sqrt{gd\left(\frac{\gamma_{1}}{\gamma} - 1\right)}$$

$$(7)$$

Обозначая первый множитель через одну букву из последней формулы получим формулу проф. Г. П. Шамова [5] для донных скоростей. Далее, после соответствующих преобразований из (7) получится формулы Орлова [6] и Эри. Наконец, если по фолмулам (6) и (7) написать коэффициент уменьшения неразмывающих скоростей $K = \frac{\sigma_{\text{так}}}{T_{\text{tot}}}$ и в нем приравнять нулю вертикальный угол Φ и коэффициент подъемной силы $\sigma_{\text{у}}$, получится формула Пышкива [4].

Отметим, что первый множитель правой части формул (6) и (7) переменная величина, зависящая от числа Рейнольдса и от формы обтеквиня частицы. Для квадратичной зоны сопротниления этот множитель можно принять постоянным и определить по существующим экспериментальным данным.

Для получения выражения неразмывающих скоростей необхолимо перейти от донной к средней скорости потока. Для перехода от донной скорости частицы к средней целесообразно ввести отношение скоростей [2]

$$t_{-} = \frac{v_0}{v_0} \tag{8}$$

В широком призматическом русле распределение продольной скорости одинаково для всех вертикалей, следовательно коэффициент 5

оствется постоянным при переходе от одной вертигали к другой. Аналогично этому принимая, что в каналих с откосами распределение продольной скорости по своему характеру изменения однообразио, считаем, что обеспечивается постоянство - для нашего случая.

Далее, с учетом (8), в условиях прямого канала без откосов из (7) получим формулу проф. Егназарова для средней скорости

$$\tilde{v}_0^1 = \sqrt{\frac{f_0}{\lambda_0}} \cdot \sqrt{g_0(\frac{1}{2} - 1)} \tag{9}$$

где коэффициент гидравдического сопротивления потока. $f_{\rm o}$ новое обозначение, ямеющее следующий вид

$$f_0 = \frac{2\lambda_0}{3 v_x \xi_0^2} \cdot \frac{f_0^1}{1 + f_0^1 \frac{c_y}{c_x}}$$
 (10)

Для прямого канала, но с откосами, общая формулг (6) превратится в следующую:

$$\frac{v_0}{\lambda_0} \cdot \int gd\left(\frac{i_1}{\gamma} - 1\right) \cdot \frac{gd\left(\frac{i_1}{\gamma} - 1\right)}{\left(\frac{c_y}{c_x}\cos\alpha\right)^2 + \left(1 + f_0^{12}\frac{c_y}{c_x}\right)\left(\cos^2\alpha - \frac{1}{f_0^{12}}\sin^2\alpha\right)}$$
(11)

 $\sqrt{\frac{-\frac{c_y}{c_x}\cos\alpha\pm\sqrt{\left(\frac{c_y}{c_x}\cos\alpha\right)^2+\left(1+f_0^{l^2}\frac{c_y}{c_x}\right)\left(\cos^2\alpha-\frac{1}{f_0^{l^2}}\sin^2\alpha\right)}}{1-f_0^{l}\frac{c_y}{c_x}}}$ (11)

В частном случае формула упроцается, когда отновление $\frac{c_1}{c_3}$ очень мало. Тогда

$$\bar{v}_0 = \sqrt{\frac{f_0}{\lambda_0}} \cdot \sqrt{gd\left(\frac{\gamma_1}{\gamma} - 1\right)} \cdot \sqrt{\cos^2 \alpha - \frac{1}{f_0^{\frac{1}{2}}} \sin^2 \alpha}$$
 (12)

Третие множители правых частей (11) и (12) дают возможность отыскания устойнивой формы живого сечения русла, как на прямом, гак и на закруглениом участке. Нетрудно заметить, что эти множители всегда вещественные, гак как угол размываемого откоса \mathbf{z} всегда меньше угла естественного откоса $\mathbf{3}$, через который выражается $f_0^1 = \operatorname{tg} \mathbf{3}$. Предельный случай $\mathbf{z} = \mathbf{3}$ получается только на стенке -у уреза воды, что приводит к равенству нулю скорости у уреза.

В формулах (9) и (11) коэффициент f_a [2, 3] представлен в зависимости от коэффициента трения, от гидравлического сопротивления потока, от отношения коэффициентов лобового воздействия и подъемной силы. Изменение f_a при разных числах Рейнольдса отнесенное

к зерну инноса, как теоретически, так и экспериментально (с учетом общириых опытных данных различных авторов) разработано проф. Егназаровым, что схематически представлено на рис. 1 работы [3]. При налични последнего рисунка пользование формулами (9) — (12) становится значительно легче.

Таким образом, полученные нами формулы дают решение задачи для всех значений числа Рейнольдса. Они являются обобщенными и из них как частные случин могут быть получены остальные существующие формулы.

Возно-энергетический институт All Армянской ССР.

Поступило 24 VIII 1956

и. и. мамичиеваль

ՀՈՍԱՆՔԻ ԶԷՎԱՑՈՂ ԱՐԱԳՈՒԹՑՈՒՆԵԵՐԻ ՄԱՍԻՆ

Udhndined

հազմելով ցիրկուլյացիոն առանալ մնացած գոլուիլուն ունեցող
արաանակիր արականին հարարության արագուհյուն ցույց է հան իր
գտնվի հավատարակոության և Ապա կատարիում է անդում հարակային արագություններից հայարող արադությանը։ Այնու և և օդավելով թերություն չունեցող, ուղղագիծ և այս բատարների վաղող արա
արև իր համար արև հայտարիության և իր իր արացած արդյունընեթից, ևր կողմից ստացված բանաձները ընդունրացնում ենչը Ռեյնոլդսի
թիկ բոլոր արժերների համար։ Վերջինում Ռեյնոլդսի թիվը վերա
վում է մասնիկի արամագծի և նրա տեղա-արժման արայությանը։ Ցույց
հում է մասնիկի արամագծի և նրա տեղա-արժման արայությունը։ Ցույց
արտանալոււթյունից կարելի է ստանալ մնացած գոլություն ունեցող

ЛИТЕРАТУРА

- 1. В. С. Кнороз "Гидротехническое строительство", № 8, 1953.
- 2. 11. B. Ezuasapon Hancerna OTH AH CCCP. № 2, 1956.
- 3. И. В. Егиазаров ДАН СССР, 1956, т. 103, № 4.
- 4. Б. А. Пышкин ДАН Украинской ССР, № 2, 1954.
- 5. И. Г. Illамов Групы ГГИ 36 (90), 1952.
- 6. И. Я. Орлов Жури. "Гидротехника и мелиорания". № 11, 1950.

«ՀԱՅԿՍԿԱՆ ՍՍՌ ԳԱ ՏԵՂԵԿԱԳՐԻ» (տեխճիկական դիտությունների սերիա) X ՀԱՏԿՐԻ ՔՈՎԱՆԴԱԿՈՒԹՅՈՒՆԸ

		30-69
		8եխճիկական Ֆիզի կա
ષ્.	U,	հուդավերդյան, Մի բանի չինանյուների ապատ տատանումների համակու- Այտն որոշելը ունիսոնով լաողությամբ
		2 ի դր ա վ լ ի կ ա
Ξ.	IF,	Արվագյան, Տուրրուլենտ շոսանրների շատկությունները քրատարի պատերից
11	L	անգատվելու տեղամասերում Անանյան Ընդյայնական ցիրկուլյացիայի խնդրի մոտավոր լուծումը հռան-
		կյումաձև Գրատար ոլորանևերում
4,.	<u>*</u> ,	Մինադելյան, Գ. Ա. Համբարձումյան, Հարի վաճանի առկայության ղեպրում կարձ խողովակից արտահոսվող ծրի ելթի դործակցի մեծության հարցը 6—12
		շինարարական մ`ևիսանիկա
łŁ.	91	Նագարով, Գինդ մարմինների մեխանդեկական նմանութեյան և ջինարարական կոնսարուկցիաների ու կառուցվածքների սեյոմակայունութեյան մեջ նրա կի- րասման մասին (Հաղորդադրութեյուն Հ)
		անվեներական սելուլոյությու
b.	ŧ,	burshimit. Սերաքիկ հարվածի ու հրման աղդեցության տակ ձողի տատանում-
0	1.	Ները՝ Էնհրդիայի ցրման հարվառումով
I'.	ч,	արիկ գիտումների արգյունյիներ
P.	Ц.	Կարապետյան, <i>Սպեկտրյալ կորի ընտրումը չներերը և կառուցվածչները սեյս</i> -
II.	۹.	ժիկ ուժերի աղդեցության տակ հաշվելու դևպրում և հրարաբական և հրարաբական հարարական և հրարաբական
		-գի աղմ 01և մալիկումակահոլես գելենգնաից, այի ու դդեմակաիությունակ
11	11	րառման մասին (Հագորգագրություն 1)
IJ,	Uk,	«իրուգյուն, Ֆեցմած ուժի վրա միկրոդեոլոդիայի ազդեցության հարցի շուր- «ը Գեպեչկորիի երկրաչարժի ավյալներով
		Okuknpataqhu
II.	Ф.	Տիմոֆեն. Սեանա յճի ժետևորոլոդիական ռևժիմի հետադոտության ժառին 1-3
		ել ե կ ա ր ա ա ե ի ն ի կ ա
=.	S.	Ազանց, Քառաբևեռուկի պարաժետրերի և նրա սեղժակների վրա լարժան վեկ-
ß,	11,	արդեների միջև հղած տանրի անկյան նաշվարկի մեթոդը 6 33 Գրոկլյան, Ն. Գ Հանջուդագով, Ս. Մ. Կարապետյան, Ա. Ս. Բորոսյան, Փո- փոխական նոսանրի պրակի վրա էներդիայի կորուսաների հետադոտման
Tr.)ť	Suiddata afabdus
		Կարապետյան էլև թականացված տեղափոխնլի տեղակացուժներում ալիրա- յին երևույիների մի բանի հարցեր
		ալիրային ընութագրորը

ն, ն, Մերիթ-Լարգանյան	3
the title of the same and same and same	0
14. Կ. Անանդան, Անանա ընի պրորդեման պետը է լուծքի նոր ուղղուքյամբ	
1. Ա. Չիլինգարյան Լևոնային պետերը գերիվացիոն հիդրո-էլեկտրահայանների կառ- կաղի աստիմանների բաժաներու հարցի չուրչը	
1. Ա. Չիլինգարյան Լեսծույին փորդ գնահրի վրա գտնվող մի բանի Էներդակոի- դայիսն ախնժաների ֆիմնական պարաժնարերի որոշման չուրքը	9
52 եթ մ՝ ա ա ե ի ն ի կ ա	
11. 5), Մերիք-Հավահագության <i>Ապակու հայժան վաճնային ելեկտրավառարանների</i> Հաշվժան ժեքեորը	12
Դործիթաշինա թաւն	
ե. Ս. Բորիոհիչ, Սայիլոգրաֆի ժեխանիկական ժառի հաշվարկի ժի թանի շարցերը 1—3	11
- Հիդրոլող իա	
6. Ա. Շանբազյան Հայկական ՍՍՍԻ-ի չուսումնասիրված գևտերի համար օրական Այրերի ապահովվածության կորերի կառուցումը	13
Շինարարական կոնստրուկդիաներ	
ե. Ա. նամաուվագյան, <i>հրկրաբարժային աշժերի տակ հեծան-վրարաշների աժթա-</i> կցուժների աշխատանրի վերլուժուժը	
Շինսրաբական տեխնիկու	
II. II. Աբրյունյան, Թևական ըարևըն հեղըման փորձնական հետադրաումը	CT.
II. II. III. 18 - 18 - 18 - 18 - 18 - 18 - 18 - 18	
Կ. Ա. Վուրդունյուն, Քարերի կարժան գրևաժիկայի ժի բանի հարցերի ժա-	
P. H. Shp-Hample timping high hadiomelant the wanty or Pinite and high from purph	
կարման դեպրում	43
համեժատական վերլուծումը	75
Շ ի ն ա ն <u>լ</u> ուր b ր	
9. Ա. Հայագագործյուն, Երևարարի և ըարև շարվածրի հաժասևոտ իկան գործակցի մա-	41 4
ւրծ . Ա. Շեխոլյան, Շենդավիքի կավերի ֆիդիկո-թիմիական ճատկությունները	
Վ. Հ. Սահուկյան, Հրաբիային շլարները որպես Բենե բետոնի յցիչ 3	
U. U. Unanjuli Sunger powerhanie of power goegowith step dunter	1,9
Փայտանյությոգիտո թյուն	
Դ. Ա. Արզումանյան, Հայաստանի մի թանի ծառատեսակների փայտանյութի կայու- նությունը Contophora cerebella Schröt, անկի նկատմամր ,	83

		N:-4:
	Քիմիական ահիմնոլոգիա	
U,	Մանվելյան Ա. Ֆ. Մելիթ-Հակմնոգարյան, Կ. Ա Կոստանյան և Ս.Հ. ևալչացր Ապակու էլեկարանալման վառաբանների՝ ժերձէլեկտրողային չհրար ժառի	
	Բեսոնի ահ <u>խնոլոգիա</u>	
ų,	U. binequilipopoli, Udianaphi planabh kehpenyaphi mingangar de iepar tenad dair glompar d	_
	Հ նդհանուր հարցեր	
13	4. Կուսյուն Հայկական ԱՍՄԻ ԴԱ Տեխնիկական դիտուքյունների թաժանքում աշխատանրի որոշ արդյունըն թի ժառին՝ Հոկտեմիներյան Սորիալիոսակ Մեծ ռեսյյուգիայի 40-ամյակի տոքքիվ	wh
	Գ-իտական նարհը	
Ļ.	. Ի. Բուլուն, և և Արմագան երկաքային Հածրանյութերի տարրեր մեծումի,	
	ն Ա, Կարապետյան <i>Ռետինե ժնկու - ժով կարելի էլեկարական հատկանիչն</i> ։ - փոփոխու <i>թյունը Ջերժային ձևրադժան շետնանրով</i> . ,	165
11.	է Գ. Մանվեգյուն Ա. Ֆ. Մելիթ- Հախնադարյան Կ. Ա. Կոստանյան և, Հ. Երգնկյ և Ա. Հ. Նալչաջյան, <i>Ելեկտրակոլյացին ապակու եփուժը Արարատի կվա</i>	u je-
44	ցիաների ըազայի վրա	
- J+,	ե եւ Սունակյան, Գյուդատեստեսական գաջտային ադրեղատների ընտրման տեխ կո-երադյուատացիոն շիմնավորումը	
13	. Ա. Գոիսկարյան Հոսանրի չիկացող արադությունների մասին	

СОДЕРЖАНИЕ

Х тома "Известий АН Армянской ССР" (серия технических наук)

Ac-	стр.				
Техническая физика					
Б. М. Худавердян. Определение частоты свободных колебаний некоторых строительных материалов по унисону на слух	_3				
Гидравлика					
О. М. Айвазян. Свойства турбулентных русловых потоков на участках отрывного течения	—3				
Строительная механика					
А. Г. Назаров. О механическом полобии тверлых тел и его применении к исследованию строительных конструкций и сейсмостойкости сооружений (Сообщение 2)	- 3				
Инженерная сейсмология					
Б. К. Карапетин. Выбор спектральной криной для расчета здании и сооружений на сейсмическую нагрузку	- 9				
Б. К. Каранетин. Результаты сейсмометрических наблюдений ири массовых вэрыпах					
А. Г. Назаров. О механическом подобии тверхых тел и его применении к ис- следованию строительных конструкций и сейсмостойкости сооружений (Свобщение 1)	—15				
С. А. Пирузян. К попросу влияния микрогеологии на величину силы сотрясения по данным гетечкорского землетрясения					
с учетом рассениия энергии	53				
Метеорология					
М. П. Тимофесь, Об исследовании метеорологического режима вмера Севан. 1-	-3				
Электротехника					
1. Т. Адонц. Метод расчета параметров четырехполюсника и угла сдвига меж- ду векторами напряжений на его зажимах	-31				
Р. А. Грдзелян, Н. Г. Джанджугазов, М. М. Карапетян, А. С. Торосии. Измерительная схема или исследования потерь энергии на корону переменно-					
го тока					
М. М. Карапетян. Некоторые вопросы волновых процессов в переднижных электрофицировациых установках					
К. А. Мелик-Вартания. Чебышевский режим затухания в полосе непропуска- иня электрических фильтров					

	№стр.							
	Гидротехника							
Γ. Ψ.	К. Ананян. Проблема озера Сенан должна решаться по-новому 5—9 Г. Аруппонии. Аварийное регулирование гидротурбии как мера повышения динамической устойчивости гидроэлектрической системы 1—49 Л. Чилингарян. К вопросу разбивки горных подотоков ил ступени каскала деривационных ГЭС							
	Геплотехника							
A.	Ф. Мелик-Ахназарян. Метол расчета электрических стехловаренных ванных печей							
Ŀ.	С. Борисевич. Некоторые попросы расчета механической части осциалографа 1-31							
	Гидролегия							
ĮĮj	. 1. Шахбазин. Построение кривых обеспеченности суточных расходов зая неизученных рек Арыянской ССР							
	Строптельные конструкции							
	М. Чомахидзе. Железобетонный арочный мост с жесткой арматурой 5—55 В. Шахсуварин Анализ работы стыков балок-пастияов на сейсынческую нагрузку							
	Стронтельныя гехинка							
К. С. И.	А. Абрамян. Экспериментальное исследование скалывания естественных камней							
	Стронтельные материалы							
В. А.	А. Ацагориям. О коэффициенте одноролности строительного камия и каменной кладки							
r								
	А. Арзумания. О сравинтельной стойкости дренесным некоторых дренесных пород Армении к иленчотому домовому грибу 5-93							
	Химическая технология							
М.	Г. Манвелян. А. Ф. Мелик-Ахназарин, К. А. Костанян, С. О. Палча- джян. О привлектродном слое стекла и стеклонаренных электрических печах							

		м-стр.
	Тезнология бетопа	
В.	. М. Аудивери им Вторичи и тисраевие астиего бетона при его обводи	етик . 2— 51
	Общие попросы	
М.	1. В. Насыни О некоторых из за работи отзеления технических наук имнекой ССР к сорыма из Великой Октябры и де социалистически полюции	ton pe-
	Научные заметив	
Л.	. И. Баров, Е. А. Сиво, им Услы гр-имя желе шол раз рызнов пру по беголу	
	1. А. Капапетия 11 пенине скит секих граз сристик - велей с 1 иой изолишен реззитате из тезлопого старсияя	4 69
2781	лин, С. О. при ви. Верка «тектроколбочного стекла на бате «	ipapas -
М.	I, С. Похерария. О нероменяя ши скоростя потока	15 - 85
	. Н. Сипкян. Техников спакатация на об сполони: вборя сельско	



FILUUTUANAPSOAV

	69
Շինաբաբական մեկանիկա	
Ա. Գ. Նազարով, Գինդ մարմիսների մեկտնիկական նմանության և ինտրարական կանսարուկցիանների ու կտուշցվածըների ռեյոմականության մեն նրա կի- ըտոման մասին լՀագորդադրություն Հ)	ä
Վ Հ. Միրայելյան, Գ Ա Համբարառայան Հարթ վաշանը առկայություն դեպրում կարճ խողովակից արտաշավող չրը երի գործակցի և Մյան շարցը	17
եչչնկարատերճիկա	
Հ. Տ. Ագուլ - առարհետացի պարաժնարերի և հրա սեցմակների վրա լարման վեն- ատրների միջև հղած սաշլի անվյաս շարվարկի մեքնոյը	7.7
ք ողարկվան դատում	43
ավբույույան մակարակուն	
է, Ե. Խութիրոն, Մեյանիկ շարվա ի ու օրմուն ազգեցուիկյան տակ մոցի աստատում հերը՝ Էսերդիայի դրման շաշվառումով	53 G,
ակվողվու մայազագանվե	
կ. Ա Միջոլան, Ի. Ա Տեր-Ազարու — Հարիազատյին և ակավատակային աղացման մաժեմատական վերբուժումը	70
L. Þ. Իարոն, Ա. B. Սիմուդյաս, <i>Երկանային</i> շանրունյունների տարրեր մեծունյան ըն ընտոնի նետ անկյունները	18
Ս. Ս. Փոխարարյան Հոսանբի չլվացող արագունքու - մասին «Հայկական ՄՍԲ ԳԱ Տեղեկադրի (տեխեիկական դնառւիքյունների սերիա) X շատորի	85
and the second s	01

СОДЕРЖАНИЕ

	Стр.
Стронтельная механика	3.4
А. Г. Глазаров. О механическом подобии твердых тел и его применении к ис- следопанию строительных конструкций и сейсмостойкости сооружений.	3
Гидравлика	
В. Г. Микаелян, Г. Л. Амбариумян. О коэффиниентах расхода при истечении из-под плоских щитов, перекрыпающих короткие трубы	17
Электротехника	
1. Т. Адонц. Метод расчета параметров четырехнолюсника и угла сдвига между некторами напряжений на его зажимах	33 43
Инженерная сейсмологии	
.Э. Е. Хачиян. Колебание бруса, под действием сейсмических удара и толчка с учетом рассеяния энергии	53 67
Строительная техника	
К. А. Миджоян, И. А. Тер-Азарыев. Сравнительный анализ витринсовой и ди- сковой распиловки туфов	75
Научные заметки	1
 И. Барон, Е. А. Симонян. Углы трения железной руды разной круппости по бетону М. С. Похерарян. О перазмывающих скоростих потока Содержание X тома "Известий АН Армянской ССР гсерия технических наук). 	81 85 94